

Luimar Donini

**Projeto de um Posicionador para  
Caracterização de Diagramas de Irradiação de  
Antenas**

**Alegrete - RS**

**30 de junho de 2016**



Luimar Donini

## **Projeto de um Posicionador para Caracterização de Diagramas de Irradiação de Antenas**

Trabalho de Conclusão de Curso apresentado ao Curso de Graduação em Engenharia de Telecomunicações. Área de Concentração em eletrônica, da Universidade Federal do Pampa (Unipampa - RS), como requisito parcial para obtenção do grau de **Bacharel em Engenharia de Telecomunicações**.

Universidade Federal do Pampa – Unipampa

Curso de Engenharia de Telecomunicações

Orientador: Prof. Me. Edson Rodrigo Schlosser

Alegrete - RS

30 de junho de 2016

Ficha catalográfica elaborada automaticamente com os dados fornecidos  
pelo(a) autor(a) através do Módulo de Biblioteca do  
Sistema GURI (Gestão Unificada de Recursos Institucionais) .

D952p Donini, Luimar

Projeto de um Posicionador para Caracterização de Diagramas  
de Irradiação de Antenas / Luimar Donini.

174 p.

Trabalho de Conclusão de Curso(Graduação)-- Universidade  
Federal do Pampa, ENGENHARIA DE TELECOMUNICAÇÕES, 2016.

"Orientação: Edson Rodrigo Schlosser".

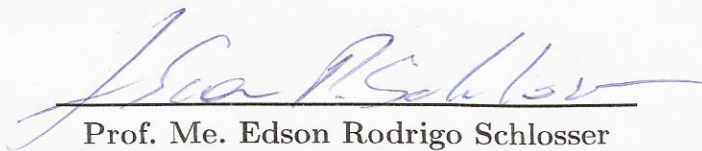
1. Antenas. 2. Posicionadores. 3. Diagramas de irradiação.  
I. Título.

Luimar Donini

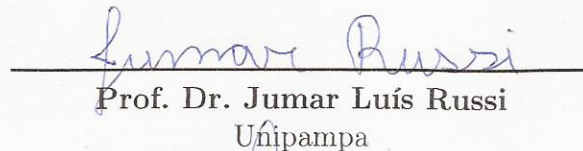
## Projeto de um Posicionador para Caracterização de Diagramas de Irradiação de Antenas

Trabalho de Conclusão de Curso apresentado ao Curso de Graduação em Engenharia de Telecomunicações. Área de Concentração em eletrônica e automação, da Universidade Federal do Pampa (Unipampa - RS), como requisito parcial para obtenção do grau de **Bacharel em Engenharia de Telecomunicações**.

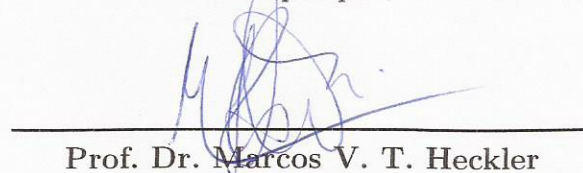
Trabalho aprovado. Alegrete - RS, 30 de junho de 2016:



Prof. Me. Edson Rodrigo Schlosser  
Orientador



Prof. Dr. Jumar Luís Russi  
Unipampa



Prof. Dr. Marcos V. T. Heckler  
Unipampa

Alegrete - RS

30 de junho de 2016



*“Para quebrar as regras,  
primeiro você deve dominá-las com maestria.”  
(Audemars Piguet)*





# Resumo

Sistemas para medidas de diagrama de irradiação de antenas são fundamentais para a caracterização e validação de protótipos projetados através de ferramentas de análise eletromagnética. Como parte deste sistema, um posicionador comercial possui custo bastante elevado, fato esse, que resultou na elaboração do projeto aqui descrito. Tal projeto implementa um posicionador de um eixo, automatizado, eficiente, de baixo custo e que permite o interfaceamento com outros dispositivos que englobam este sistema, além do usuário. O desenvolvimento do posicionador consiste na implementação de uma interface em ambiente *Matlab*, utilizada para o controle do posicionador e para ler e armazenar os dados medidos a partir de um analisador de espectro. A comunicação entre a interface e o *hardware* de controle é realizada através de *Ethernet* por protocolo TCP/IP (*Transfer Control Protocol/Internet Protocol*), diferente de outros modos de comunicação tais como USB, serial e paralela, que apresentam limitações muito restritas quanto à distância entre dois pontos de conexão. O controle é feito através de um Arduino, que é responsável por acionar os transistores de um *driver* de potência construído para acionamento do motor de passo. Para cada passo do motor, é realizada a medida do sinal recebido pela antena em teste, através do analisador de espectro, o qual é conectado com a interface e transmite os dados medidos para armazenamento e plotagem. A comunicação com o Arduino é realizada através de uma *Shield Ethernet*, a qual recebe comandos por uma página HTML (*HyperText Markup Language*) hospedada na própria *Shield* e disponibilizada para acesso externo. Após receber um comando de algum cliente HTML ou TCP/IP, a *Shield* repassa este comando ao Arduino, que, por sua vez, se encarrega de executar a função desejada. O *driver* de potência é necessário, uma vez que os pinos de I/O (*Input/Output*) de um Arduino não fornecem corrente suficiente para acionar as bobinas de um motor. O projeto aqui descrito poderá ser utilizado para sistemas de medição em câmaras anecoicas e em espaço livre.

**Palavras-chave:** antenas, posicionadores, diagramas de irradiação.



# Abstract

Systems for antenna radiation pattern measurement are fundamental for the characterization and validation of prototypes designed by electromagnetic simulators. As part of this system, a commercial positioner has very high cost, a fact that resulted in the elaboration of the project described here. Such a design implements a positioner with one axis, automated, efficient, low cost and that allows interfacing with other devices that include this system, besides the user. The development of the positioner includes an interface in Matlab, used for the control of the positioner and to read and store the measured data from a spectrum analyzer. The communication between the interface and control of hardware is performed via Ethernet TCP/IP (Transfer Control Protocol/Internet Protocol), unlike other modes of communication, such as USB, serial and parallel, which have distance limitations between two connection points. The control is made through an Arduino, which is responsible for activating the transistors of the stepper motor driver. For each motor step, the signal as received by the antenna under test is performed by the spectrum analyzer which is connected to the interface and transmits the measured data storage and plotting. Communication with the Arduino is performed through a Shield Ethernet, which receives commands from an HTML page (HyperText Markup Language) hosted on the own Shield and made available for external access. After receiving a command from any HTML or TCP/IP client, Shield passes this command to the Arduino, which in turn is responsible to perform the desired function. The Driver power is needed, since the pin I/O (Input/Output) a Arduino does not provide enough current to drive the coils of a motor. The project described here can be used for measurement systems in anechoic chambers and in free space.

**Key-words:** antennas, positioners, radiation pattern.



# Lista de ilustrações

Figura 1 – Esquema simplificado de um sistema de medição de antenas. . . . .	22
Figura 2 – Sistema de coordenadas esféricas. . . . .	25
Figura 3 – Diagrama de irradiação de uma rede linear de antenas de microfita. . .	26
Figura 4 – Sistema completo para medidas de antenas. . . . .	27
Figura 5 – Juntas rotativas (a)azimute-elevação e (b)elevação-azimute. . . . .	28
Figura 6 – Sistema automatizado por computador. . . . .	29
Figura 7 – Controle do posicionamento de um ímã permanente. . . . .	30
Figura 8 – Controle do posicionamento de um motor de passo híbrido. . . . .	31
Figura 9 – Motor de passo híbrido real. . . . .	32
Figura 10 – Esquema elétrico de um motor de passo unipolar . . . . .	33
Figura 11 – Esquema elétrico de um motor de passo bipolar . . . . .	33
Figura 12 – Giro de 360° em um motor unipolar em passo completo normal. . . .	34
Figura 13 – Giro de 360° em um motor unipolar em passo completo <i>wave</i> . . . . .	35
Figura 14 – Giro de 360° em um motor bipolar em passo completo. . . . .	35
Figura 15 – 4 passos em um motor unipolar em modo de meio passo. . . . .	36
Figura 16 – Esquema elétrico de um circuito de acionamento ponte <i>H</i> . . . . .	38
Figura 17 – Hardware de um Arduino UNO. . . . .	40
Figura 18 – IDE do Arduino. . . . .	41
Figura 19 – Topologias físicas de rede. . . . .	52
Figura 20 – Comparativo entre as camadas do modelo OSI e TCP/IP. . . . .	54
Figura 21 – Esquemático do circuito rebaixador de tensão para o Arduino. . . . .	58
Figura 22 – Medida da tensão de saída do circuito regulador de tensão. . . . .	59
Figura 23 – Circuito de potência para acionamento de motor de passo. . . . .	61
Figura 24 – Circuito dos sensores <i>hall</i> . . . . .	62
Figura 25 – Ligações do sensor de temperatura LM35. . . . .	62
Figura 26 – Esquemático completo do circuito desenvolvido. . . . .	64
Figura 27 – Layout para a confecção da placa de circuito impresso. . . . .	65
Figura 28 – Placa do circuito finalizada e acoplada ao Arduino. . . . .	66
Figura 29 – Fluxograma geral do algoritmo do Arduino. . . . .	67
Figura 30 – <i>Layout</i> da página HTML de controle do sistema giratório. . . . .	71
Figura 31 – Interface <i>Matlab</i> de controle do sistema de medição. . . . .	78
Figura 32 – Estrutura giratória. . . . .	83

Figura 33 – Estrutura giratória após montagem. . . . .	84
Figura 34 – Ilustração do sistema de medição completo, após montagem. . . . .	86
Figura 35 – Antena sendo validada na câmara anecoica do IFI. . . . .	87
Figura 36 – Antena sendo validada em campo próximo em um NFS. . . . .	88
Figura 37 – Interface com os parâmetros de configuração. . . . .	89
Figura 38 – Antena transmissora utilizada no sistema de medição - 2,595GHz. . .	90
Figura 39 – Sistema de recepção. . . . .	91
Figura 40 – Comparativo entre diagramas de irradiação obtidos por diferentes modos de medida no plano azimutal. . . . .	92
Figura 41 – Comparativo entre diagramas de irradiação obtidos por diferentes métodos - plano de elevação. . . . .	92
Figura 42 – Antenas transmissora e receptora para testes à 5,8 GHz. . . . .	93
Figura 43 – Diagrama da rede de antenas filamentosas em teste - vista superior. .	93
Figura 44 – Diagrama da rede de antenas filamentosas em teste - vista lateral. . .	94
Figura 45 – Diagrama da rede de antenas filamentosas em teste - vista frontal. . .	94
Figura 46 – Diagrama em blocos de um analisador de espectro por banco de filtros.	104
Figura 47 – Diagrama em blocos de um analisador de espectro heteródino ou por varredura. . . . .	105
Figura 48 – Diagrama em blocos de um analisador de espectro por FFT. . . . .	107
Figura 49 – Analisador de espectro heteródino. . . . .	109
Figura 50 – Parte frontal do gerador de sinais E4438C da Keysight. . . . .	111
Figura 51 – Parte traseira do gerador de sinais E4438C da Keysight. . . . .	116

# Lista de tabelas

Tabela 1 – Modo normal. . . . .	34
Tabela 2 – Modo <i>wave</i> . . . . .	34
Tabela 3 – Sequência de acionamento das bobinas de um motor de passo em modo de meio passo “ <i>Half-Step</i> ”. . . . .	36
Tabela 4 – Especificações de uma placa Arduino UNO Rev. 3. . . . .	42
Tabela 5 – Comandos obrigatórios em instrumentos com SCPI. . . . .	48
Tabela 6 – Estimativas de custo para o sistema desenvolvido. . . . .	91





# Sumário

<b>1</b>	<b>Introdução</b>	<b>17</b>
1.1	Organização deste trabalho	19
<b>2</b>	<b>Revisão Bibliográfica</b>	<b>21</b>
2.1	Campos de antenas	22
2.2	Diagramas de irradiação	23
2.3	Instrumentos de medição	24
2.4	Motores de passo	26
2.4.1	Motores unipolares	30
2.4.2	Motores bipolares	31
2.4.3	Modos de acionamento de motores de passo	32
2.4.4	Acionamento de motor de passo	37
2.5	Arduino	38
2.6	Analisadores de espectro	42
2.7	Geradores de sinais	44
2.8	SCPI ( <i>Standard Commands for Programmable Instruments</i> )	45
2.9	Redes <i>Ethernet</i> e protocolo TCP/IP	49
2.9.1	Protocolo TCP/IP	52
<b>3</b>	<b>Desenvolvimento</b>	<b>57</b>
3.1	Circuito de alimentação	57
3.2	Circuito de potência	60
3.3	Circuito dos sensores	62
3.4	Circuito completo em PCB	63
3.5	Programação do Arduino	63
3.6	Interface Matlab	77
3.7	Estrutura giratória	82
<b>4</b>	<b>Montagem do Sistema e Resultados</b>	<b>85</b>
<b>5</b>	<b>Conclusão</b>	<b>95</b>
	<b>Referências</b>	<b>97</b>
	<b>Apêndices</b>	<b>101</b>
	<b>APÊNDICE A Tipos de analisadores de espectro</b>	<b>103</b>
	<b>APÊNDICE B Detalhes do gerador de sinais E4438C</b>	<b>111</b>

<b>APÊNDICE C Código do servidor Web</b> . . . . .	<b>119</b>
--	------------

# 1 Introdução

Um sistema para medida de diagramas de irradiação de antenas em campo distante é basicamente composto por um gerador de sinais, antena transmissora, antena receptora (protótipo), posicionador e analisador de espectro. Atualmente, o posicionador deste sistema apresenta elevado custo de aquisição, atingindo um valor de milhares de reais. A finalidade de cada instrumento citado pode ser descrita de forma simplificada como: o gerador de sinais é utilizado para gerar uma onda senoidal em determinada frequência e amplitude; a antena transmissora é responsável por transmitir esse sinal através da irradiação de ondas eletromagnéticas. Posteriormente, um protótipo localizado a uma distância de campo distante (BALANIS, 2009) é utilizado para receber o sinal transmitido, e a amplitude desse sinal é lida através de um analisador de espectro conectado na antena receptora. A amplitude do sinal está intimamente ligada ao alinhamento entre as antenas transmissora e receptora e à polarização. O ganho da antena receptora (protótipo) depende das características construtivas e varia conforme o seu posicionamento no espaço tridimensional. Em projetos práticos, faz-se necessária a caracterização da antena em termos de ganho em determinada direção, sendo assim, indispensável o uso de um posicionador, que é o equipamento responsável por rotacionar a antena receptora. Este projeto implementa um posicionador de 1 eixo, automatizado, de baixo custo e com interfaceamento do controle do posicionador e da medida realizada pelo analisador de espectro. No campo de análise e síntese de antenas, existem diversos métodos numéricos que levam à obtenção das características de irradiação da antena, tais como a ferramenta da *CST* e da *Ansys*. Assim sendo, se faz necessária a validação do protótipo após o projeto e construção, de forma a identificar possíveis erros decorrentes do processo de fabricação. Em (BROWN; GOORA; ROUSE, 2011) encontra-se um projeto completo de um sistema para medidas de ganho e padrão de irradiação de antenas, construído com motor de passo, microcontrolador, amplificador de baixo ruído (LNA), filtros e outros componentes. Tal projeto assemelha-se em muito com o descrito neste trabalho, uma vez que foi construído para ser de baixo custo e atender a requisitos de desempenho satisfatórios. O sistema descrito em (BROWN; GOORA; ROUSE, 2011), também utiliza interface com software de controle do sistema e leitura de dados.

Geralmente, as medidas com antenas são feitas com a antena em modo de recepção, e o procedimento de medição, em campo distante, consiste em iluminar a antena em teste

por ondas de amplitude e fase uniformes (ondas planas). Para se chegar a uma precisão confiável de onda plana, a antena em teste deve ser posicionada a uma grande distância da antena transmissora (campo distante). Deve-se levar em conta, entretanto, as possíveis fontes de degradação da iluminação da antena em teste, tais como: reflexões no solo e em objetos próximos e curvatura da frente de onda irradiada devido às finitas distâncias de separação. Embora necessárias, técnicas experimentais de medição possuem muitas deficiências, tais como alto custo, condições climáticas fora de controle em medidas ao ar livre, limitação de tamanho para medidas internas, entre outras. Com o progresso acelerado de sistemas de defesa aeroespaciais, métodos de medidas mais precisos são necessários. Para tanto, foram desenvolvidos instrumentos e técnicas aprimoradas, como câmaras anecóicas piramidais, campos de medida compacto e de extrapolação, técnicas de amostragem de campo próximo, aprimoramento de técnicas de polarização e de medidas com varredura de frequência, técnicas de amostragem de campo próximo, medidas indiretas das características de antenas e sistemas automatizados de medidas. Em geral, os parâmetros que se quer obter para a caracterização do desempenho de um sistema de antenas são: diagrama (amplitude e fase), ganho, diretividade, eficiência, impedância, distribuição de corrente e polarização (BALANIS, 2009).

O sistema de medida e posicionamento de antenas aqui descrito, é composto de uma estrutura giratória confeccionada em aço, *hardware* de controle e alimentação, gerador de sinais e analisador de espectro. O circuito de controle é composto por um Arduino, *shield Ethernet* e por um circuito desenvolvido para ser acoplado aos dois primeiros (Arduino e *shield*). O Arduino é quem fornece toda a lógica de controle do sistema através de seus pinos de I/O (*Input/Output*), e também é responsável por processar dados lidos de sensores. A *shield Ethernet* possibilita o controle remoto do Arduino através de uma rede LAN (*Local Area Network*) ou WAN (*Wide Area Network*). O circuito desenvolvido e detalhado na seção 3.1, é composto por um circuito de alimentação para o Arduino, transistores de potência (*drivers*) para acionamento de um motor de passo, sensor de temperatura e sensores de campo magnético (sensores *hall*) para posicionamento da estrutura (calibragem). Todo o sistema, inclusive o gerador de sinais e o analisador de espectro, é interligado por rede através de um roteador, podendo assim, controlá-lo (o sistema) remotamente através de um notebook, tablet ou até mesmo de um celular. O controle também pode ser feito de qualquer parte do mundo, bastando, para isso, integrar um modem devidamente configurado ao sistema.

O gerador de sinais e o analisador de espectro são controlados remotamente através de comandos SCPI (*Standard Commands for Programmable Instruments*), que podem ser

embarcados em outras linguagens de programação como *Matlab*, por exemplo. Assim sendo, todo o sistema pode ser controlado e configurado com apenas um computador ou dispositivo capaz de acessar uma rede *Ethernet*.

## 1.1 Organização deste trabalho

Este trabalho está organizado da seguinte maneira:

- Referencial teórico: Este capítulo abrange o funcionamento e a teoria por trás dos periféricos do sistema, tais como antenas, motores de passo, Arduino, geradores de sinais, analisadores de espectro, entre outros;
- Desenvolvimento: Neste capítulo são descritos todos os passos de projeto que foram utilizados para a criação do sistema de medidas. Trata-se de temas como a criação de um *driver* de potência para acionamento de motor de passo, e interfaces de controle;
- Montagem do sistema e resultados: Capítulo destinado à descrição da montagem do sistema, testes e análise de resultados. Isto é, interconexão em rede, de todos os dispositivos que compõem o sistema, configuração remota e controle da medida de diagramas de irradiação de antenas em teste;
- Conclusão: Com base nos dados apresentados, este capítulo faz uma breve síntese do que foi discutido no trabalho, fazendo-se conclusões sobre diversos fatores do sistema;
- Bibliografia: Capítulo destinado à referências bibliográficas do texto;
- Apêndices: Aqui são apresentados alguns códigos descritos e referenciados durante o texto, bem como, são detalhadas algumas funcionalidades de equipamentos que fazem parte do sistema de medição.



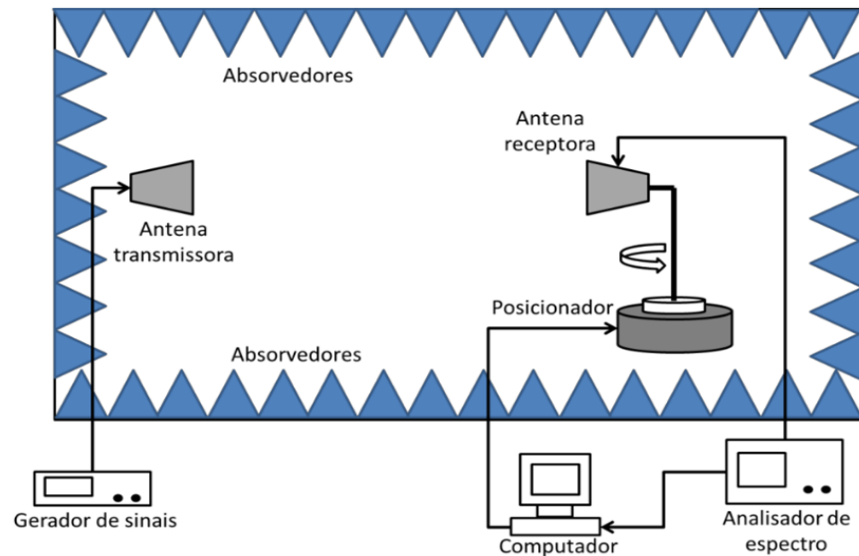
## 2 Revisão Bibliográfica

Todos os dispositivos utilizados na comunicação sem fio requerem antenas para transmitir e receber sinais através de ondas eletromagnéticas. Para esta aplicação, é necessário dispor de sistemas capazes de caracterizar todos os tipos de dispositivos irradiantes de potência que venham a ser utilizados em qualquer sistema de comunicação, denominados sistemas de medida de antenas. Alguns sistemas encontrados na literatura são: sistemas de medição no espaço livre e em câmaras anecóicas, ambos em campo distante, e sistemas de medição em campo próximo. No projeto apresentado em (BROWN; GOORA; ROUSE, 2011) o sistema foi validado fazendo-se medições em uma câmara anecoica e os resultados foram comparados com os obtidos através de um analisador de espectro comercial.

Existem, ainda, vários subsistemas que fazem parte das medições de antenas, tais como absorvedores, posicionadores e controladores, gerador de sinais, analisador de espectro, antenas e *softwares*. Os posicionadores citados podem apresentar diversos graus de liberdade (eixos), permitindo medir diagramas no plano azimutal ( $\phi$ ), elevação ( $\theta$ ) e também por polarização (BALANIS, 2009).

Um sistema completo para caracterização de antenas apresenta, em sua maioria, elevado custo de implementação, podendo-se investir na faixa de milhões de reais para implantar um sistema de medição em campo distante dentro de câmaras anecóicas (KRAUS; MARHEFKA, 2001). Um esquema simplificado de medição de antenas em uma câmara anecoica pode ser visualizado na Fig. 1, onde a antena transmissora irradia a onda proveniente do gerador de sinais. Na recepção (ainda em referência à Fig. 1), a antena receptora capta o sinal transmitido, cuja amplitude é detectada por um analisador de espectro. A amplitude detectada para cada posição da antena receptora, é, então, enviada a um computador para armazenamento e tratamento. Após o armazenamento da amplitude, o computador envia comandos para que a estrutura giratória (posicionador) rotacione para a próxima posição. Todo o processo é realizado novamente, até que todas as amplitudes (em  $360^\circ$ ) sejam recebidas. Com os valores das amplitudes de cada posição armazenados, a plotagem do diagrama de irradiação para a caracterização da antena pode ser feito através de algum *software* específico, alguma linguagem de programação, ou ainda, desenhado manualmente em uma carta polar (KUMMER, 1992).

Figura 1: Esquema simplificado de um sistema de medição de antenas.



## 2.1 Campos de antenas

Campos de antenas são onde os testes e avaliações de antenas são realizados. São classificados em campos exteriores e interiores, tendo cada um suas próprias limitações. Em campos exteriores, existe a interferência das condições climáticas; já em campos interiores, as limitações são devidas às restrições de espaço.

Existem basicamente dois tipos de campos de antenas: os campos de reflexão e os campos de espaço livre. Os campos de reflexão, se projetados cuidadosamente, podem criar interferência construtiva na região da antena em teste, ou seja, reflexões no solo se combinam construtivamente com os raios de visada direta. Já campos de espaço livre são projetados para minimizar ou até mesmo extinguir as interferências do ambiente que o circunda, e incluem campos elevados, campos inclinados, câmaras anecoicas, campos compactos e os chamados campo eletromagnético próximo e distante (BALANIS, 2009).

Os campos de irradiação definidos como campo próximo e campo distante são de especial relevância no projeto e análise de antenas, pois definem os tipos de distribuição de linhas de campo nestes dispositivos irradiadores. A região de campo próximo também é conhecida como região de indução ou de Fresnel, e diz respeito às linhas de campo mais próximas da antena, as quais deixam de existir imediatamente ao cessar a causa, isto é, quando cessa a corrente na antena ocorre a anulação por um semiciclo, e as linhas não



chegam a se fechar, portanto, não se propagam. O efeito de campo próximo é utilizado em projetos com um ou mais elementos “parasitas”, de forma a induzir nestes elementos a energia que seria desperdiçada. As linhas de campo que se fecham, propagam-se pelo espaço e continuam carregando consigo a energia irradiada. A este efeito se dá o nome de “campo distante” ou de Fraunhofer. O campo elétrico na região distante varia com o inverso do quadrado da distância, enquanto que na região próxima isto não acontece. As equações que delimitam as regiões de campo próximo e de campo distante são

$$R = 10\lambda \quad (2.1)$$

$$R = \frac{2L^2}{\lambda}, \quad (2.2)$$

onde  $L$  é o maior comprimento físico da antena,  $\lambda$  é o comprimento de onda e  $R$  é a distância de separação entre antena transmissora e receptora.

## 2.2 Diagramas de irradiação

Os diagramas de parâmetros de antenas, tais como diagramas de irradiação, polarização e ganho, são medidos na superfície de uma esfera de raio constante. Para tanto, é utilizado o sistema de coordenadas esféricas, como mostra a Fig. 2. Como o raio é constante, apenas as coordenadas angulares ( $\theta$  e  $\phi$ ) são necessárias para a identificação da posição. Logo, o diagrama de uma antena nada mais é do que a representação de suas características de irradiação em função de  $\theta$  e  $\phi$  para uma distância radial constante e em uma determinada frequência de operação, ou seja, é o mapeamento da distribuição de energia irradiada, levando em conta o campo tridimensional (POZAR, 2009). A obtenção do diagrama de irradiação de antenas se faz de duas maneiras: testes em campo aberto ou simulação computacional, e são geralmente medidos em dBi (ganho), expresso em relação a uma antena isotrópica.

Uma vez que medidas de diagramas tridimensionais são impraticáveis, estes são realizados por meio de diagramas bidimensionais, e podem ser medidos no modo de transmissão ou recepção. Para antenas recíprocas, a medição em modo de recepção é geralmente escolhida.

Para realizar uma medida confiável de diagrama de irradiação de uma antena em teste, deve-se escolher um local onde não haja interferências externas, tais como árvores, calhas, rufos, arames, linhas de transmissão de energia ou telefônicas, carros, entre outros.

Geralmente, levanta-se o diagrama com separações entre antenas transmissora e receptora, maiores do que 10 vezes o comprimento de onda relativo à frequência de teste. De um modo genérico, três passos devem ser realizados para a obtenção de um diagrama de irradiação

1. Gira-se a antena em teste de forma a descrever um círculo;
2. A intervalos regulares, toma-se a medida do campo irradiado de forma a obter-se um gráfico;
3. Os valores devem ser anotados ou em valores absolutos, ou em valores relativos ao seu máximo (normalizados).

O resultado da plotagem dos valores das amplitudes anotadas em função dos ângulos de rotação  $\theta$  e/ou  $\phi$  é chamado de diagrama de irradiação. A Fig. 3 mostra um diagrama obtido após a síntese de uma rede linear de antenas de microfita (TOLFO, 2016). Na Fig. 3, é possível notar que a direção de máximo apontamento (lóbulo principal) está em aproximadamente  $80^\circ$ . Os demais lóbulos são conhecidos como lóbulos secundários, e geralmente, é o que se deseja minimizar, através de técnicas de síntese de diagramas.

## 2.3 Instrumentos de medição

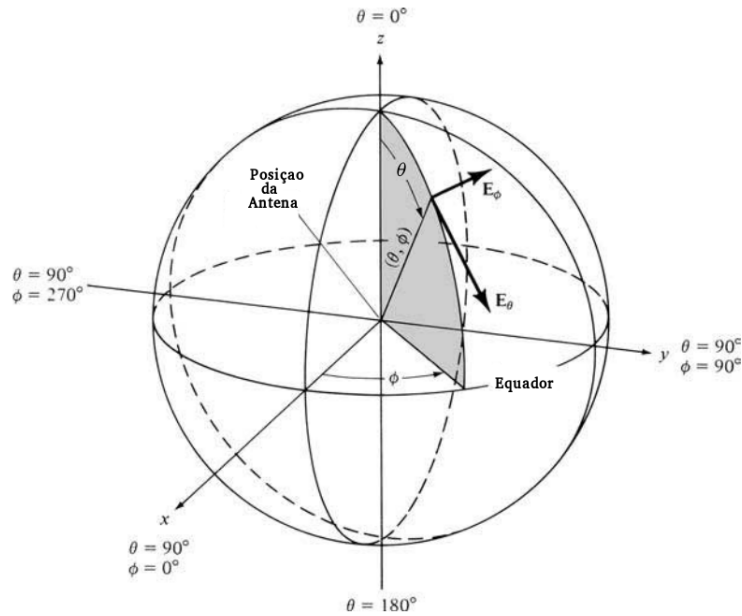
Para identificar os instrumentos necessários para efetuar medidas de antenas, devem ser levados em consideração seus requisitos funcionais. Em geral, tais instrumentos podem ser classificados em cinco categorias:

1. Antena-fonte e sistema transmissor;
2. Sistema receptor;
3. Sistema de posicionamento;
4. Sistema de plotagem;
5. Sistema de processamento de dados.

A Fig. 4 mostra um diagrama de blocos de um sistema que possui as características citadas anteriormente.

As antenas fonte devem ser cuidadosamente escolhidas, a fim de se obter um melhor resultado na medição. Em geral, o que se procura para os transmissores é: estabilidade de frequência, pureza espectral, nível de potência e modulação. Para conseguir um diagrama

Figura 2: Sistema de coordenadas esféricas.

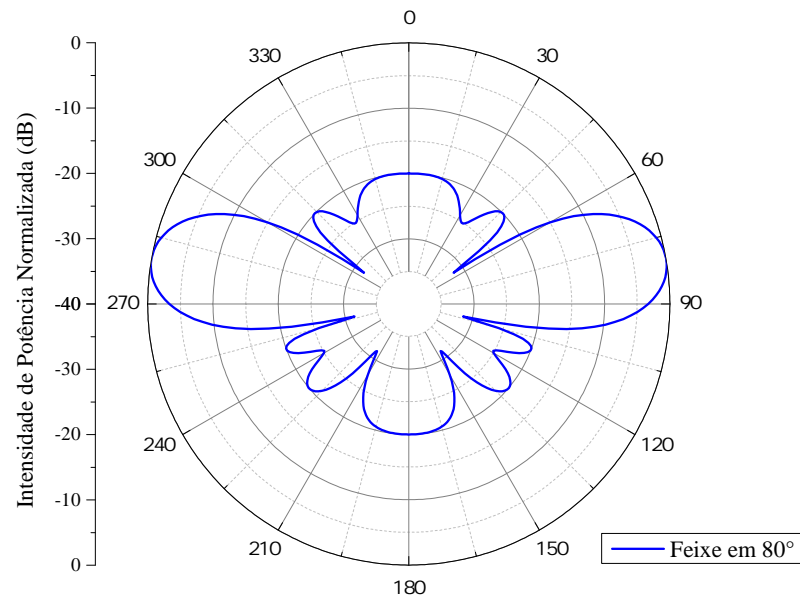


Fonte: Modificado de (BALANIS, 2009).

completo, a estrutura do sistema de medição deve ser capaz de girar em vários planos. Isso se consegue através de pedestais giratórios devidamente instalados, que podem girar tanto no plano azimutal quanto no plano de elevação. Duas juntas rotativas são mostradas na Fig. 5. Quanto aos tipos de plotagem, existem basicamente dois: os retangulares e os polares. Os mais utilizados são os polares, por permitirem uma melhor visualização da distribuição da irradiação da antena no espaço. Em geral, o sistema de plotagem é projetado para traçar o diagrama relativo, e é calibrado para traçar os diagramas de campo ou potência. Os diagramas de potência são calibrados em decibéis, e, para a maioria das aplicações, uma faixa dinâmica de 0 a -40 dB oferece resolução suficiente para examinar a estrutura dos lóbulos principal e secundários do diagrama.

Um sistema moderno para medida de diagramas de antenas e de seção radar (RCS), que utiliza um analisador de redes e é automatizado por computador, é mostrado na Fig. 6. À medida que a antena em teste é girada, a intensidade do campo recebido é medida por um analisador de espectro ou medidor de potência. Também é possível implementar um analisador de redes para medir a impedância de entrada associada ao parâmetro  $S_{11}$  da antena em teste e do meio de transmissão (parâmetro  $S_{21}$ ) entre a

Figura 3: Diagrama de irradiação de uma rede linear de antenas de microfita.



Fonte: Modificado de (TOLFO, 2016).

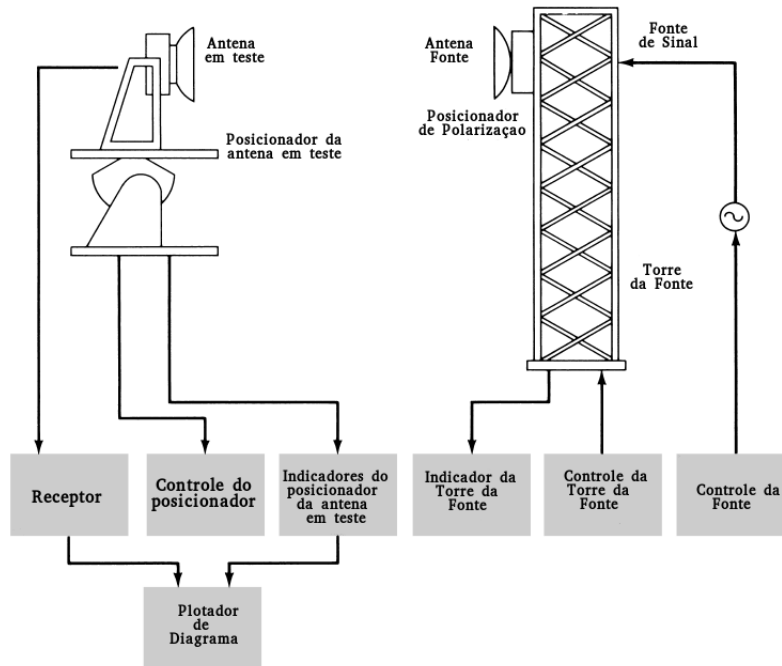
fonte e a antena em teste.

Em geral, em sistemas de comunicação ponto-a-ponto, deve-se combinar o tipo de polarização entre as antenas transmissora e receptora, bem como alinhar o ângulo de inclinação de ambas para um acoplamento máximo, e, conseqüentemente, uma máxima transferência de potência (FUSCO, 2009).

## 2.4 Motores de passo

Os motores de passo são dispositivos que convertem pulsos elétricos em movimentos mecânicos sequenciais, que geram variações angulares discretas. O rotor (ou eixo) de um motor de passo pode ser rotacionado em pequenos incrementos angulares, denominados “passos”, quando pulsos elétricos são aplicados em uma determinada seqüência nas bobinas do motor. A seqüência na qual esses pulsos são aplicados reflete diretamente na direção em que o motor irá girar. A velocidade com que o rotor gira é dada pela frequência de pulsos recebidos, e o tamanho do ângulo rotacionado é diretamente relacionado com o número de pulsos aplicados (BRITES; SANTOS, 2008).

Figura 4: Sistema completo para medidas de antenas.



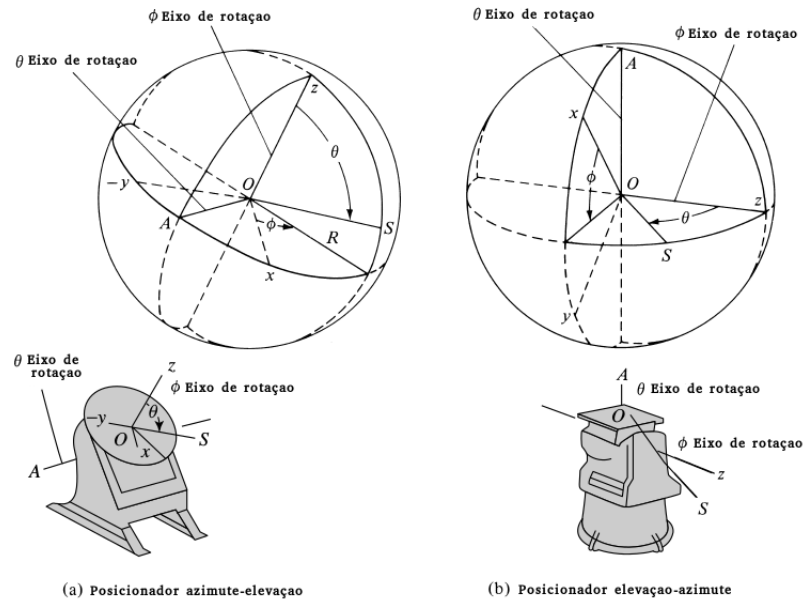
Fonte: Modificado de (BALANIS, 2009).

O funcionamento do motor de passo se dá pela interação entre campos magnéticos. Quando uma bobina é percorrida por uma corrente constante, tem-se como resultado a produção de um campo magnético uniforme no seu interior. Invertendo o sentido da corrente elétrica, inverte-se o sentido do campo magnético. Expandindo a ideia de uma bobina para uma combinação dessas, pode-se controlar a posição de um ímã permanente situado no meio das bobinas, como mostra a Fig. 7.

Existem três tipos de motores de passo

1. Motores de relutância variável (VR – *Variable Reluctance*): Este tipo de motor não possui um ímã permanente no rotor, de forma que este possa girar livremente sem nenhum torque na ausência de energia. Motores VR são pouco utilizados em aplicações industriais. Este tipo não é sensível à polaridade da corrente e necessita de um arranjo de *driver* diferente dos outros modelos. O termo relutância, utilizado para caracterizar este tipo de motor, é devido à propriedade que o material constituinte do dispositivo oferece ao fluxo magnético. Os motores VR se aproveitam do fato de uma peça de material

Figura 5: Juntas rotativas (a)azimute-elevação e (b)elevação-azimute.



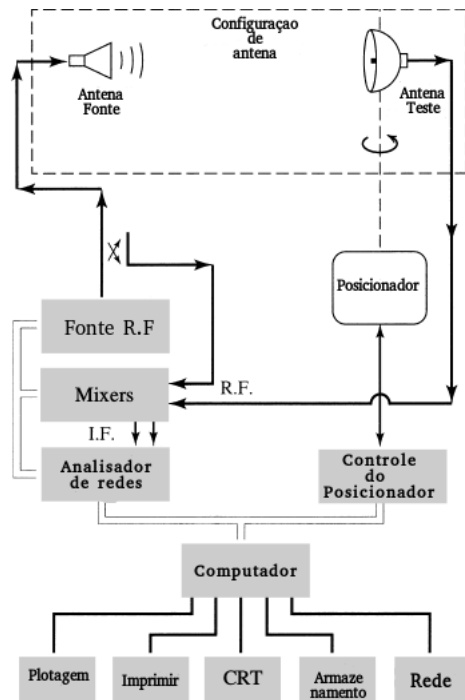
Fonte: Modificado de (BALANIS, 2009).

ferroso sempre se alinhar com a direção na qual a relutância é mínima, quando submetido a um campo magnético (SOUZA, 2012).

2. Motores de ímã permanente (PM – *Permanent Magnet*): É talvez o tipo de motor mais amplamente utilizado para aplicações não industriais. Ele é essencialmente um dispositivo de baixo custo, baixo torque e baixa velocidade, ideal para aplicações em campos como periféricos de informática. A construção do motor resulta em ângulos de passo relativamente grandes, porém, a simplicidade geral permite a produção em larga escala a custo muito baixo. O motor de vão axial, ou disco, é uma variação do projeto de ímã permanente que apresenta um melhor desempenho, em grande parte devido à inércia muito baixa do motor. No entanto, isto restringe as aplicações do motor às que envolvem baixa inércia caso seja exigido todo o desempenho do motor.

3. Motores híbridos (Hb - *Hybrid*): combinam as características dos dois primeiros tipos de motores, e são os mais utilizados na indústria e em aplicações profissionais. A maioria dos motores híbridos é de 2 fases, embora sejam utilizadas versões de 3 e 5 fases. Este tipo de motor apresenta as seguintes características principais: rotor e estator multidentados; o rotor, que é de ímã permanente, é constituído por duas partes

Figura 6: Sistema automatizado por computador.



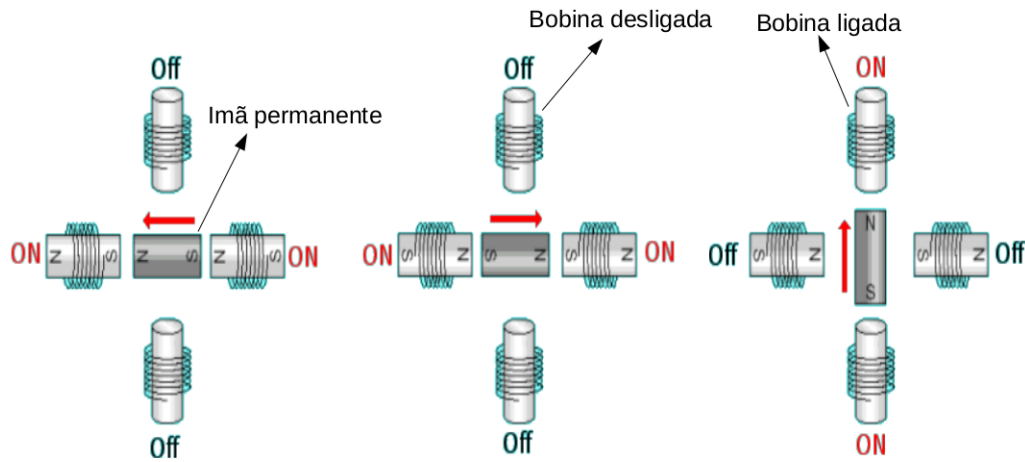
Fonte: Modificado de (BALANIS, 2009).

multidentadas, tem vários polos, e é magnetizado de maneira axial. Para exemplificar o funcionamento de um motor de passo híbrido, é apresentada e detalhada a Fig. 8.

Na Fig. 8(a), a bobina do topo (2b) está ativada, atraindo o dente superior do eixo. Em um segundo passo, a Fig. 8(b) mostra o acionamento da bobina da direita (1a), o que faz com que o quarto dente à direita da referência seja atraído pela bobina 1a. Quando a bobina 2a é ativada, o terceiro passo é dado, como mostra a Fig. 8(c). Por último, a Fig. 8(d) mostra a bobina à esquerda (1b) sendo ativada, rodando novamente o eixo. Quando a bobina do topo (2b) for ativada novamente, o eixo terá rodado em um dente de posição. Como existem 25 dentes no caso exemplificado, serão necessários 100 passos para uma rotação completa, e cada passo corresponde a  $3,6^\circ$ . A Fig. 9 mostra como é a parte externa (9(a)) e o interior (9(b)) de um motor híbrido real, respectivamente.

Existe ainda uma subclasse que classifica os motores em relação à existência ou não de uma derivação central. Estes são conhecidos como motores bipolares e unipolares. Basicamente, a diferença entre um e outro é que motores bipolares precisam de uma

Figura 7: Controle do posicionamento de um ímã permanente.



Fonte: Modificado de (GONÇALVES; PINTO, 2012).

inversão de tensão nas bobinas para controlar o sentido de rotação, ou seja, trabalha com dois pólos de tensão - daí o nome *bipolar*. Isto não acontece nos motores unipolares, em que a presença de uma derivação central permite a divisão da tensão entre as bobinas sem precisar inverter a polaridade (SOUZA, 2012).

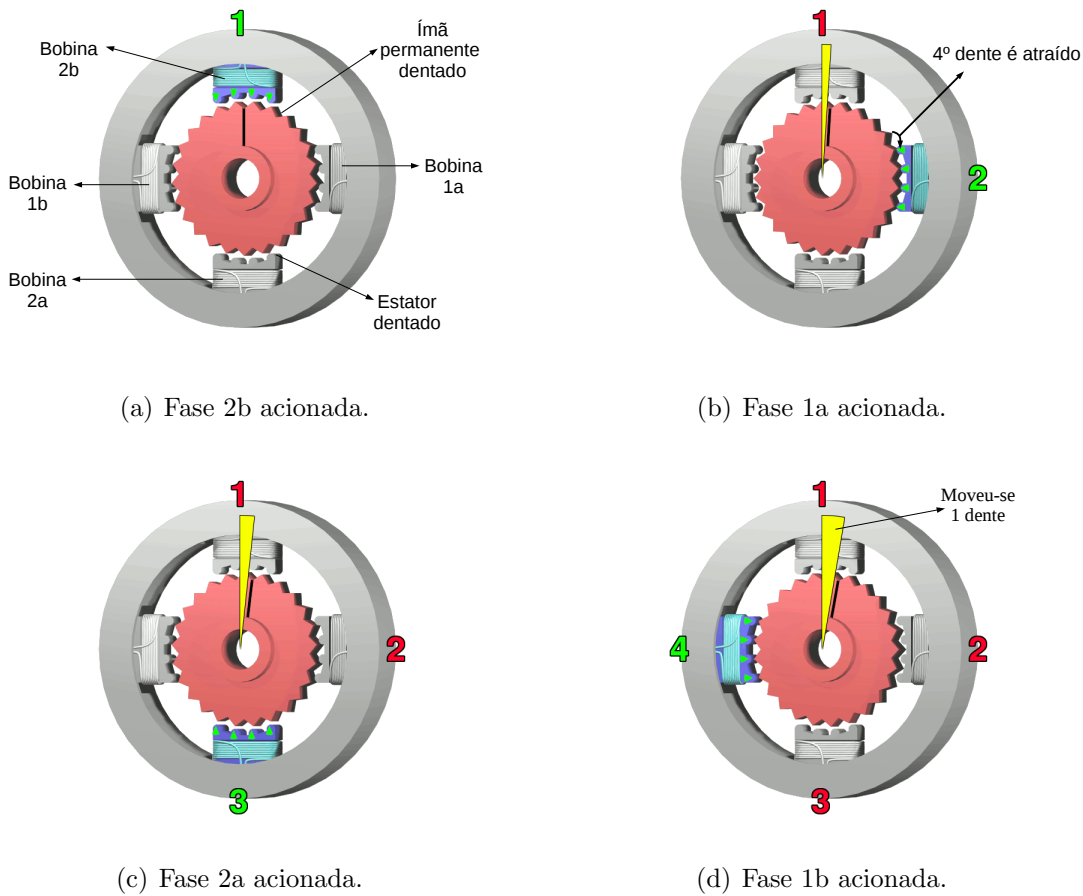
#### 2.4.1 Motores unipolares

Os motores de passo unipolares são facilmente reconhecidos pela derivação central em cada uma das bobinas. O número de fases é duas vezes o número de bobinas, uma vez que cada bobina se encontra dividida em duas. Na Fig. 10 tem-se a representação de um motor de passo unipolar de 4 fases (1a, 2a, 1b e 2b). A fase 1a vai da derivação central até a extremidade “a” na bobina 1, e a fase 1b vai da derivação central à extremidade “b”, nessa mesma bobina. As fases na bobina 2 se dão de forma análoga à bobina 1.

Normalmente, a derivação central das bobinas é ligada ao positivo da fonte de alimentação, e os extremos de cada bobina são ligados sequencialmente ao terra por um circuito apropriado (controlador e *driver*), conforme o modo de acionamento adotado, para assim produzir o movimento de rotação contínuo numa direção (SOUZA, 2012).



Figura 8: Controle do posicionamento de um motor de passo híbrido.

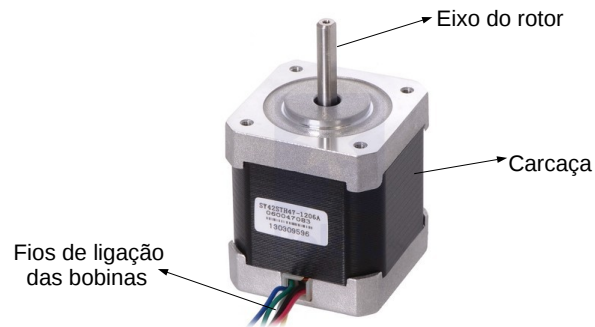


### 2.4.2 Motores bipolares

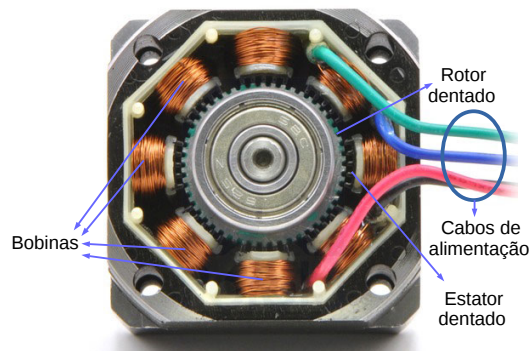
Os motores bipolares são constituídos por bobinas sem derivação central. Por esse fato, essas bobinas devem ser energizadas de tal forma que a corrente elétrica flua na direção inversa a cada dois passos, permitindo assim, o movimento contínuo do rotor, entre outras palavras, a polaridade deve ser invertida durante o funcionamento do motor. Conforme pode ser visto na Fig. 11, existem duas bobinas, 1 e 2. No caso do motor bipolar, agora o número de fases é igual ao número de bobinas que compõem o enrolamento do motor. Então, tem-se as fases 1a e 1b, 2a e 2b.

Os motores de passo bipolares são conhecidos por sua excelente relação tamanho/-torque: eles proporcionam um maior torque, cerca de 40% a mais, quando comparado a um motor unipolar do mesmo tamanho. Isso se deve ao fato de que quando se energiza uma fase, magnetizam-se ambos os polos em que a fase (ou bobina) está instalada. Assim,

Figura 9: Motor de passo híbrido real.



(a) Parte externa.



(b) Parte interna.

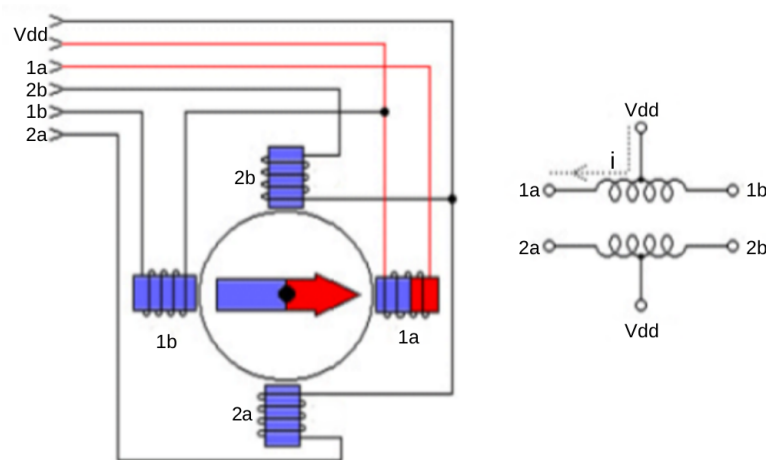
o rotor sofre a ação de forças magnéticas de ambos os polos, ao invés de apenas um, como acontece no motor unipolar (SOUZA, 2012).

### 2.4.3 Modos de acionamento de motores de passo

Um motor de passo pode ser acionado de quatro formas diferentes de acordo com o comprimento do passo, são elas:

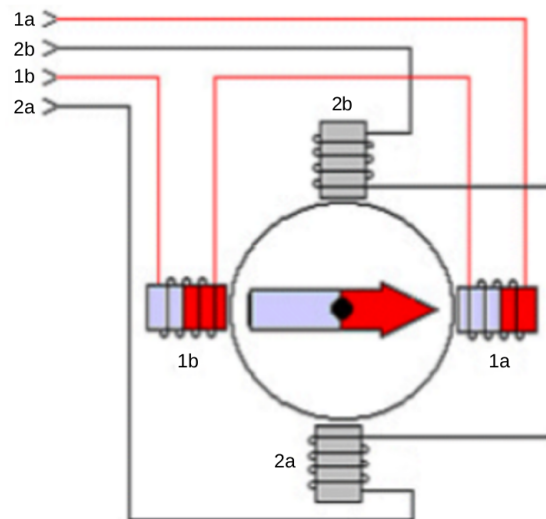
1. Passo Completo (“*Full Step*”): Este modo caracteriza-se pelo fato de que o motor desloca seu rotor em passo completo a cada pulso de acionamento que recebe em suas bobinas, a partir do circuito de potência. Nesse modo, existem ainda dois submodos: modo normal e modo *wave*. No modo completo normal, duas bobinas sequenciais do motor são alimentadas ao mesmo tempo, assim, esse modo possui maior torque e consumo

Figura 10: Esquema elétrico de um motor de passo unipolar



Fonte: Modificado de (GONÇALVES; PINTO, 2012).

Figura 11: Esquema elétrico de um motor de passo bipolar



Fonte: Modificado de (GONÇALVES; PINTO, 2012).

de energia do que o modo *wave*. No modo *wave*, apenas uma bobina é alimentada por vez. As Tabelas 1 e 2, respectivamente, mostram como é feito o acionamento nos modos normal e *wave*, e fazem referência ao motor unipolar da Fig. 10. No exemplo, assume-se

uma lógica positiva para o acionamento das bobinas, ou seja, o nível lógico “1” representa a presença de corrente, enquanto o nível lógico “0” representa a ausência desta.

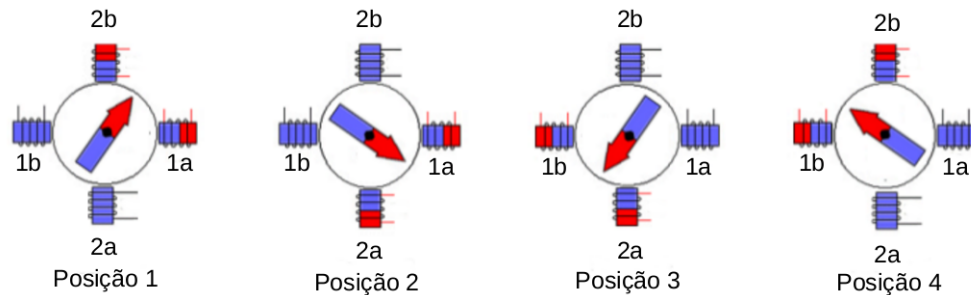
Tabela 1: Modo normal.

Passo	1a	2a	1b	2b
1	1	0	0	1
2	1	1	0	0
3	0	1	1	0
4	0	0	1	1
5	1	0	0	1
6	1	1	0	0
7	0	1	1	0
8	0	0	1	1

Tabela 2: Modo *wave*.

Passo	1a	2a	1b	2b
1	1	0	0	0
2	0	1	0	0
3	0	0	1	0
4	0	0	0	1
5	1	0	0	0
6	0	1	0	0
7	0	0	1	0
8	0	0	0	1

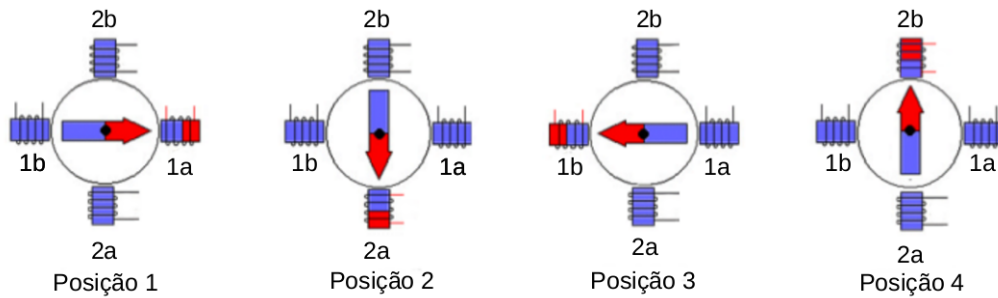
As Fig. 12 e 13 ilustram uma volta inteira ( $360^\circ$ ), de um motor unipolar em passo completo, para os submodos normal e *wave*, respectivamente. A Fig. 14 mostra uma volta inteira ( $360^\circ$ ) no modo passo completo para motores bipolares, onde percebe-se claramente a troca de polaridade entre as bobinas para gerar a sequência de giro do motor (SOUZA, 2012).

Figura 12: Giro de  $360^\circ$  em um motor unipolar em passo completo normal.

Fonte: Modificado de (GONÇALVES; PINTO, 2012).

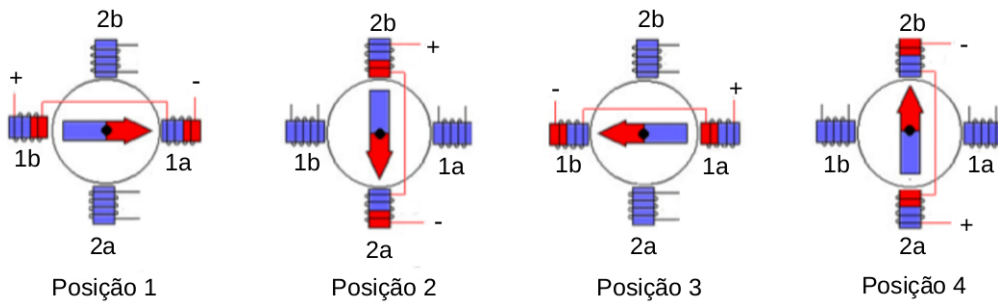
2. Meio-Passo (“*Half-Step*”): Outro tipo de acionamento possível consiste em energizar, alternadamente, uma e duas bobinas. Este processo permite deslocar o rotor em meio passo de cada vez, denominado Meio-Passo (“*Half-Step*”). Neste modo de acionamento o número de “passos” é duplicado, ou seja, o motor possui maior resolução

Figura 13: Giro de 360° em um motor unipolar em passo completo *wave*.



Fonte: Modificado de (GONÇALVES; PINTO, 2012).

Figura 14: Giro de 360° em um motor bipolar em passo completo.



Fonte: Modificado de (GONÇALVES; PINTO, 2012).

em termos de ângulo de rotação. Na Tabela 3 é apresentada a sequência de acionamento no modo *half-step* para o motor unipolar da Fig. 10.

Levando em conta o que já foi abordado anteriormente para os modos de acionamento, no modo “*Half-Step*” os passos serão alternadamente fortes e fracos (em termos de torque). Isso não significa uma limitação importante no desempenho do motor - o torque disponível é obviamente limitado pelo passo mais fraco.

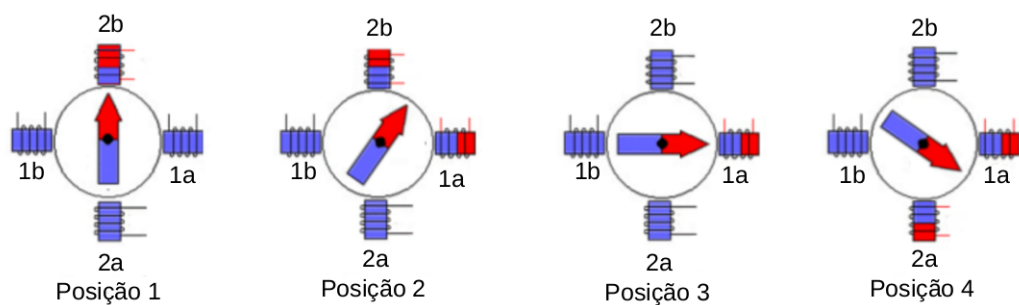
Certamente, o que se deseja é produzir um torque aproximadamente igual em todos os passos, e esse torque deveria estar ao nível do passo mais forte. Pode-se obter isso empregando um nível mais alto de corrente quando houver apenas uma fase energizada. Isso não provoca dissipação excessiva de potência do motor, implicando em aumento excessivo da temperatura da carcaça desse motor, pois a classificação de corrente do

Tabela 3: Sequência de acionamento das bobinas de um motor de passo em modo de meio passo “*Half-Step*”.

Passo	1a	2a	1b	2b
1	1	0	0	0
2	1	1	0	0
3	0	1	0	0
4	0	1	1	0
5	0	0	1	0
6	0	0	1	1
7	0	0	0	1
8	1	0	0	1
9	1	0	0	0
10	1	1	0	0
11	0	1	0	0
12	0	1	1	0
13	0	0	1	0
14	0	0	1	1
15	0	0	0	1
16	1	0	0	1

fabricante supõe que duas fases estejam sendo energizadas (a classificação de corrente se baseia na temperatura permissível na carcaça). Com apenas uma fase energizada, dissipar-se-á o mesmo total caso a corrente seja elevada em 40%. Empregando essa corrente mais alta no estado de apenas uma fase ligada, produz-se um torque aproximadamente igual nos passos alternados. A Fig. 15 mostra quatro passos de um motor unipolar em modo *Half-Step*, onde é possível notar um menor ângulo de precisão no giro do motor.

Figura 15: 4 passos em um motor unipolar em modo de meio passo.



Fonte: Modificado de (GONÇALVES; PINTO, 2012).

3. Micro-Passo (*Microstepping*): Verificou-se anteriormente que se duas fases forem

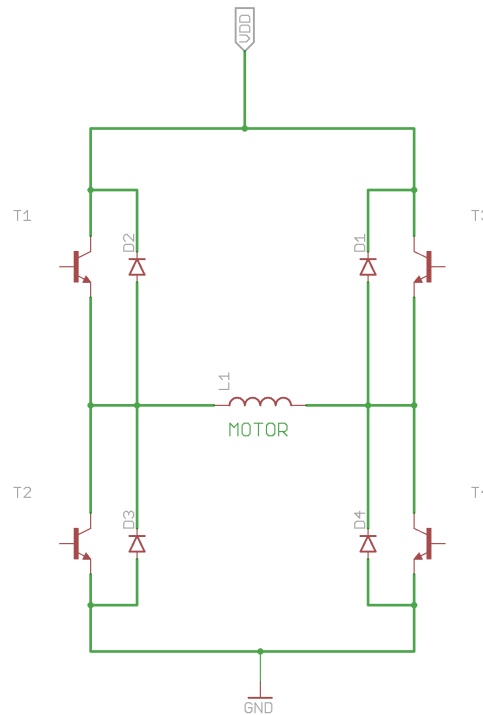
energizadas com correntes iguais, produz uma posição de passo intermediária a meio caminho entre as posições em que há uma fase única ligada. Caso as correntes nas duas fases sejam desiguais, a posição do rotor será deslocada em direção ao polo mais forte. Este efeito é empregado no *driver* de micro-passo, que subdivide o passo básico do motor estabelecendo uma escala proporcional da corrente nas duas fases. Dessa forma, o tamanho do passo é diminuído e a suavidade do movimento em baixas velocidades é sensivelmente melhorada. Os *drivers* de micro-passo de alta resolução dividem o passo do motor em até 500 micro-passos, propiciando 100.000 passos por revolução no caso de um motor de passo com 200 passos por volta (tipo mais comum no mercado). Nessa situação, o padrão de corrente nas fases é muito semelhante a ondas senoidais com um deslocamento de fase de  $90^\circ$  entre elas.

#### 2.4.4 Acionamento de motor de passo

Geralmente, deseja-se acionar um motor de passo através de algum dispositivo de controle, como um microcontrolador ou um Arduino. No entanto, esses dispositivos fornecem baixas correntes, e, se um motor de passo for acionado diretamente através de uma das saídas de um Arduino, por exemplo, a chance de queimar a saída é bastante grande. Para solucionar o problema, existem os chamados *drivers* de acionamento de motor de passo. Esses *drivers* são constituídos de transistores ligados às bobinas do motor, e podem ser construídos manualmente ou adquiridos em circuitos integrados. O mais conhecido dos *drivers* de acionamento é o circuito *Ponte H*, que tem a forma da letra *H* como mostra a Fig. 16.

Para acionar a parte esquerda da bobina, na Fig. 16, os transistores *T1* e *T4* devem ser acionados simultaneamente, e os transistores *T3* e *T2* devem permanecer “abertos”. Para acionar a parte direita da bobina, os transistores *T3* e *T2* são ligados simultaneamente, enquanto *T1* e *T4* permanecem desligados. Deste modo, é possível controlar a alimentação das bobinas de um motor de passo, além de garantir que uma corrente alta possa alimentar o motor com a escolha apropriada dos transistores. Os diodos no circuito da Fig. 16 são conhecidos como diodos “roda livre”, e são utilizados para a proteção dos transistores e do circuito. Quando uma bobina é desenergizada, a corrente não para de fluir instantaneamente, uma vez que uma bobina nada mais é do que um indutor, cujo efeito é armazenar campo magnético. Esta corrente pode ter picos muito elevados, e tende a descarregar no circuito. Com o diodo *roda livre*, a corrente restante, após uma bobina ser desenergizada, fica em um *loop* constante entre o transistor e o diodo, até ser dissipada completamente.

Figura 16: Esquema elétrico de um circuito de acionamento ponte H.



Fonte: Modificado de (GONÇALVES; PINTO, 2012).

Os transistores do circuito ponte H da Fig. 16, podem ser acionados através de circuitos lógicos, microcontroladores, Arduino ou qualquer outro circuito ou dispositivo que forneça um nível lógico alto em sua saída. A lógica de acionamento dos transistores pode ser controlada por *software*. Vale salientar, que o circuito ponte H não é o único circuito de acionamento de motores de passo, e, ele está aqui descrito, meramente para fins explicativos. O próprio método utilizado neste trabalho, difere do circuito ponte H. Neste projeto, é utilizado um circuito de potência contendo um transistor para cada fase das bobinas do motor de passo, e, a construção deste *driver* está descrita na seção 3.2.

## 2.5 Arduino

Arduino é uma plataforma de prototipagem eletrônica, criado por Massimo Banzi e David Cuartielles em 2005 com objetivo de permitir o desenvolvimento de controle de sistemas interativos, de baixo custo e acessível a todos.



O projeto foi criado pensando em pessoas leigas no assunto, mas que gostariam de desenvolver suas ideias, ou seja, não é necessário ter conhecimentos prévios em eletrônica ou programação para iniciar-se no mundo Arduino.

Com essa plataforma é possível também enviar e receber informações de praticamente qualquer outro sistema eletrônico. Assim, é possível construir, por exemplo, um sistema de captação de dados de sensores, como temperatura e iluminação, e posteriormente processar e enviar esses dados para um sistema remoto.

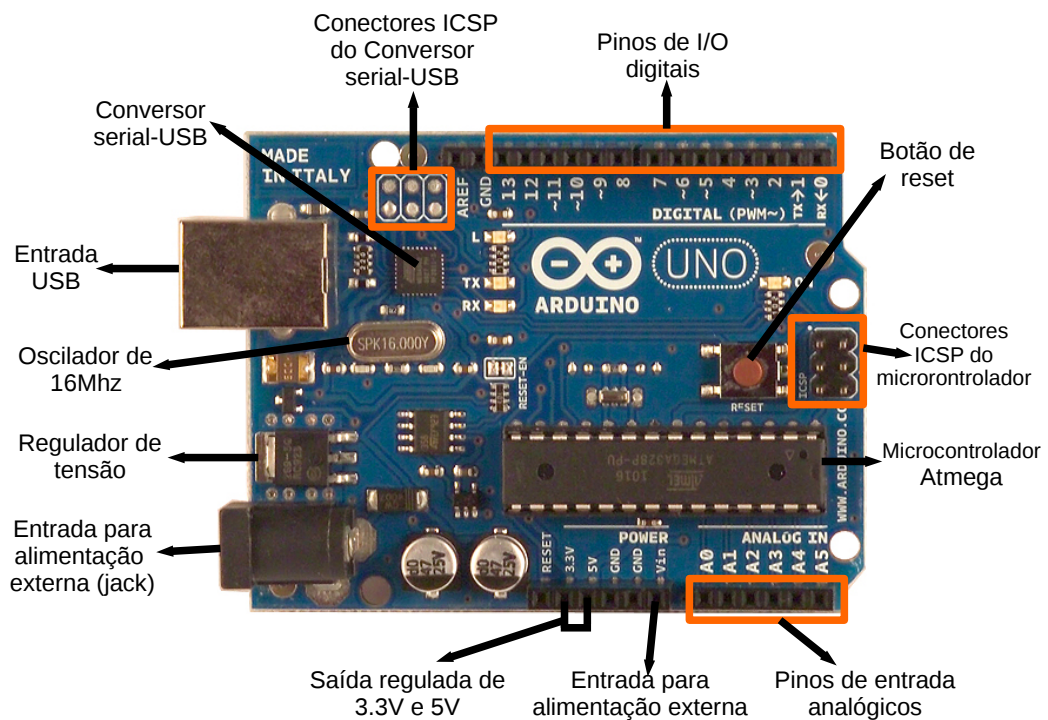
Outra característica importante, é que todo material (*software*, bibliotecas, *hardware*) é *open-source*, ou seja, pode ser reproduzido e usado por todos sem a necessidade de pagamento de *royalties* (direitos autorais) (FILHO, 2012).

A plataforma é composta essencialmente de duas partes: O *Hardware* e o *Software*. O *hardware*, com destaque em seus principais componentes, pode ser visualizado na Fig. 17, que trás como exemplo uma placa Arduino UNO.

O Arduino UNO mostrado na Fig. 17 possui uma placa de microcontrolador baseado no *ATmega328P*. Dispõe de 14 pinos digitais de entrada/saída (dos quais 6 podem ser usados como saídas PWM (*Pulse Width Modulation*), 6 entradas analógicas, um cristal oscilador de quartzo de 16 MHz, uma conexão USB, uma tomada (jack) de energia, dois conectores ICSP (*In Circuit Serial Programmer*) (CAMPOS, 2015a) e um botão de *reset*. Ele contém todo o necessário para apoiar o microcontrolador, basta conectá-lo a um computador com um cabo USB ou ligá-lo com um adaptador AC-CC ou bateria. A placa Arduino em si não possui qualquer recurso de rede (exceto na versão Arduino *ethernet*), porém é comum combinar o Arduino com extensões apropriadas chamadas de *shields*.

É importante salientar, que Arduino não é um microcontrolador, e sim uma plataforma de desenvolvimento que utiliza os microcontroladores da *ATMEL* (*atmega*). Para fins de diferenciação entre ambos, pode-se dizer que para um microcontrolador executar uma tarefa como, por exemplo, fazer uma leitura analógica, ativar um transistor que ativa um relé e acende uma lâmpada, acionar um motor ou se comunicar com algum módulo ou dispositivo, é preciso programá-lo. Para tanto, pode-se utilizar linguagens de programação como *Assembly*, C, C++ e em alguns casos até mesmo *Visual Basic*; a linguagem mais completa e recomendável é a linguagem C. Depois de programar o microcontrolador, é preciso montar o seu circuito: só para alimentar o microcontrolador será preciso um regulador de tensão, cristal oscilador, capacitor para desacoplamento, e uma fonte de alimentação. Para pessoas com pouca ou nenhuma experiência em eletrônica

Figura 17: Hardware de um Arduino UNO.

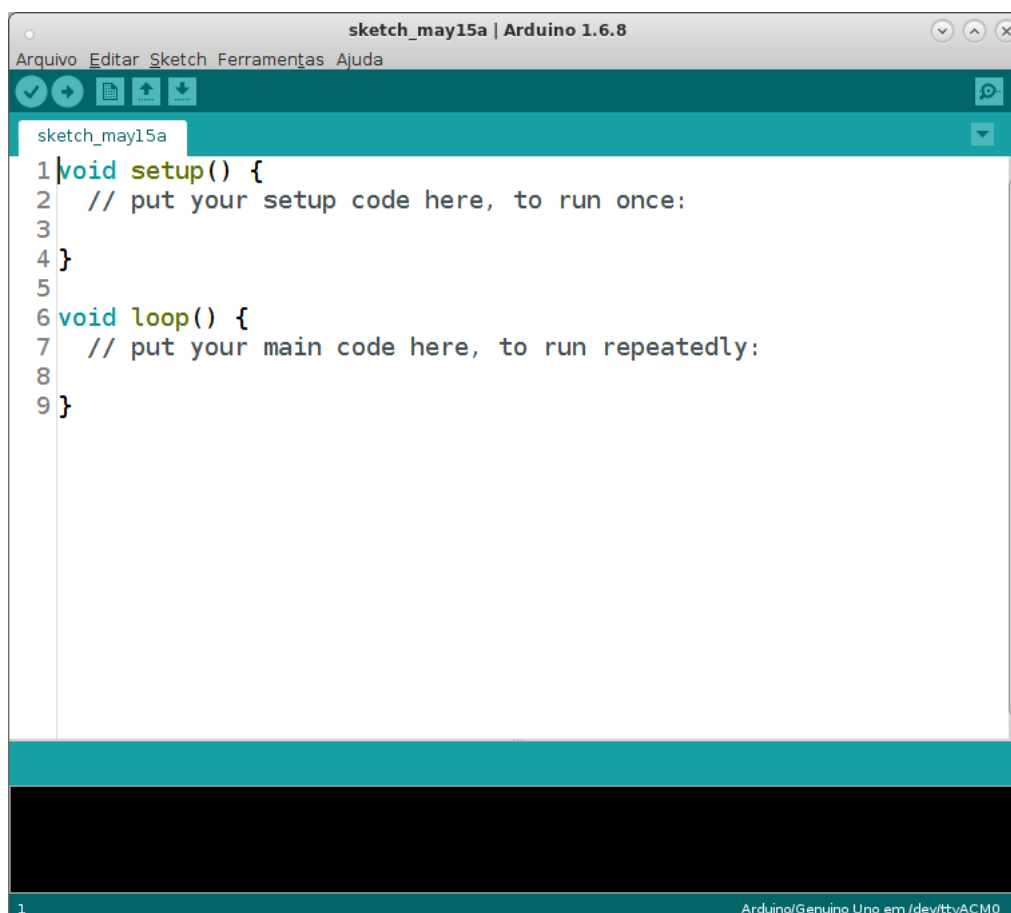


Fonte: Modificado de Soares (2013).

e programação, isso se torna um problema, pois além de ter que montar todo o circuito do microcontrolador em uma placa ou *protoboard*, ainda é preciso montar o circuito do projeto. Para resolver essa questão, o Arduino foi desenvolvido: para facilitar a prototipagem, não só de técnicos em eletrônica e programadores, mas também de pessoas comuns, que querem automatizar seus projetos mas não possuem muito conhecimento na área. O Arduino é uma plataforma de desenvolvimento composta pelo *Hardware* (Arduino UNO, Mega UNO, Duemilanove, Leonardo, Nano, etc) e uma IDE (*Integrated Development Environment* - ambiente de desenvolvimento integrado) onde é possível escrever o código em linguagem C/C++ e a própria IDE fará todo o processo de compilação e transferência do código do computador para o microcontrolador *Atmega*, o que torna todo o processo de programação e prototipagem muito mais rápido e simples (TACIO, 2013). Outra característica interessante do Arduino é a sua vasta documentação encontrada em fóruns, *blogs*, e *sites* em geral.

Outra grande vantagem do Arduino é que sua IDE é multi-plataforma (programada em Java), ou seja, pode ser instalada nos sistemas operacionais *Windows*, *Linux* e *MAC OS X*. Por ser uma IDE dedicada ao Arduino, ela possui nativamente diversos exemplos de código e opções, como por exemplo, passar o *bootloader* (ARDUINO, 2016b)-(ELETRONICO, 2014) de um Arduino para um microcontrolador *Atmega* novo e vários outros exemplos de utilização dos recursos do *Hardware*. A Fig. 18 mostra como é a IDE do Arduino, que está na sua versão 1.6.9 até a data da escrita deste trabalho.

Figura 18: IDE do Arduino.



```
sketch_may15a | Arduino 1.6.8
Arquivo Editar Sketch Ferramentas Ajuda
sketch_may15a
1 void setup() {
2   // put your setup code here, to run once:
3
4 }
5
6 void loop() {
7   // put your main code here, to run repeatedly:
8
9 }
1
Arduino/Genuino Uno em /dev/ttyACM0
```

Como já mencionado, a linguagem de programação adotada pela plataforma Arduino, é a linguagem C/C++, que é estruturada e possui uma sintaxe limpa, clara e objetiva. Para facilitar mais ainda, o Arduino já tem diversas funções prontas, como, por exemplo, para leitura e escrita de dados analógicos e digitais, além de comunicação serial (PPM, I2C, TTL, etc) e paralela. Sendo assim, não é preciso se preocupar com o *clock*

do microcontrolador e nem implementar protocolos de comunicação.

As duas funções na Fig. 18, **void setup()** e **void loop()**, são obrigatórias no Arduino. A função **void setup()** não retorna qualquer tipo de dado (*null*) e nem recebe qualquer argumento, essa função é utilizada para configuração dos pinos como I/O (*Input/Output* - Entrada/Saída), declaração de variáveis e outras configurações. A função **void loop()** também não retorna e nem recebe qualquer tipo de argumento; quando se roda um programa (*firmware*) no microcontrolador, é de interesse que este programa fique rodando para sempre, em um *loop* infinito. Para tanto, deve-se escrever as rotinas do *firmware* dentro da função *loop*, pois esta será repetida infinitamente.

O baixo custo da placa Arduino é também outra grande vantagem em relação a outras plataformas de desenvolvimento. A placa Arduino Uno, por exemplo, custa de R\$ 55,00 a R\$ 100,00, e a IDE é gratuita e *open source*. A Tabela 4 traz algumas especificações da placa Arduino UNO Rev. 3.

Tabela 4: Especificações de uma placa Arduino UNO Rev. 3.

Microcontrolador	ATmega328P
Tensão operacional	5V
Tensão de entrada (recomendado)	7-12V
Tensão de entrada (limite)	6-20V
Pinos Digitais de I/O	14 (dos quais 6 fornecem saída PWM)
Pinos de entrada analógica	6
Corrente DC por Pino de I/O	20mA (recomendado) - 40mA (máx.)
Corrente DC por pino para 3.3V	50mA
Memória Flash	32 KB (ATmega328P) - 0,5 KB para o bootloader
SRAM	2KB (ATmega328P)
EEPROM	1KB (ATmega328P)
Velocidade do <i>clock</i>	16 MHz
Comprimento	68,6 mm
Largura	53,4 mm
Peso	25 g

## 2.6 Analisadores de espectro

O analisador de espectro é um dispositivo eletrônico utilizado para a análise de sinais no domínio da frequência. Possui certa semelhança com um osciloscópio, uma vez que o resultado da medida é apresentado em uma tela, mostrando os dados de amplitude na vertical e os dados de frequência na horizontal. A grande diferença entre ambos, é que o osciloscópio mede amplitudes no âmbito temporal, enquanto o analisador de espectro trabalha no domínio da frequência.

Um analisador de espectro é essencialmente um receptor de rádio passivo, com uma interface gráfica (*display*) para a análise e medida do sinal no domínio da frequência. Esses dispositivos indicam, geralmente, a informação contida no sinal de forma direta, tais como a tensão, a potência, o período e a frequência. Analisadores de espectro são capazes de fazer uma grande variedade de medições, e isso significa que eles são uma ferramenta inestimável para os laboratórios de desenvolvimento de *design* de RF (*Radio Frequency*), bem como têm muitas aplicações para o serviço de campo especializado.

A maneira mais natural de olhar para formas de onda é no domínio do tempo - olhando como um sinal varia em amplitude enquanto o tempo avança. No entanto, essa não é a única maneira pela qual os sinais podem ser exibidos. A análise espectral de um sinal fornece informação adicional difícil de ser obtida numa análise temporal. Por exemplo, ao analisar-se um sinal senoidal levemente distorcido, em função do tempo dificilmente se percebe essa imperfeição. Na análise no domínio da frequência, pequenas distorções e imperfeições (que implicam em componentes de frequência diferentes) são facilmente identificadas, pois cada componente de frequência é visualizada separadamente.

As escalas de um analisador de espectro são, em geral, logarítmicas, o que facilita a leitura de sinais de baixa amplitude. Assim, a amplitude pode ser diretamente lida em dB (decibéis - unidade mais usual em sistemas de comunicação), e na escala horizontal, um amplo espectro de frequências pode ser visualizado simultaneamente.

Os analisadores de espectro também podem medir parâmetros de modulação, distorção e ruído: em sistemas de comunicação via rádio é fundamental a análise dos níveis de potência relativos à cada frequência, do grau e da qualidade de modulação, da largura de banda ocupada no espectro, entre outros parâmetros; sistemas supostamente lineares (amplificadores, transmissores e receptores de rádio, filtros, etc) apresentam sempre um certo grau de não linearidade, gerando conseqüentemente, distorções no sinal (harmônicas, intermodulação, emissões espúrias); todo circuito ou elemento ativo gera ruído, tipicamente em uma faixa larga de frequências. Medidas como figura de ruído e relação sinal/ruído são importantes na caracterização de sistemas eletrônicos ou dispositivos (BONFIM, 2003).

Basicamente, existem três tipos de analisadores de espectro, são eles: banco de filtros, FFT (*Fast Fourier Transform* - transformada rápida de fourier) e analisador por varredura ou heteródino. O detalhamento dos tipos de analisadores de espectro, bem como o modelo utilizado para este projeto, podem ser consultados no APÊNDICE A.

## 2.7 Geradores de sinais

Geradores de sinais, também conhecidos como geradores de funções, são aparelhos eletrônicos utilizados para gerar sinais elétricos de formas de onda, frequências (de alguns Hz ou KHz a alguns GHz) e amplitudes (tensões) diversas. São muito utilizados em laboratórios de eletrônica como fonte de sinal para teste de diversos aparelhos e equipamentos eletrônicos, como antenas, por exemplo.

Um gerador de sinais pode ser capaz de gerar sinais senoidais, triangulares, quadrados, e dependendo do modelo, até sinais dente-de-serra. Normalmente, geradores de sinais possuem um frequencímetro acoplado e diversos botões de ajuste e seleção, além de conectores para saída do sinal. Seu uso é muito ligado à utilização do osciloscópio, com o qual se pode verificar as suas formas de onda. Também é bastante utilizado em conjunto com analisadores de espectro, como em um sistema de medição e teste de antenas, por exemplo. Seu funcionamento é baseado em circuitos eletrônicos integrados, osciladores, filtros e amplificadores. As características fundamentais dos geradores de sinais são:

- **Tipos de sinais fornecidos:** Os sinais variam de modelo para modelo. Dentre os tipos de sinais mais comuns fornecidos por um gerador, os mais utilizados são os que apresentam formas de onda: senoidal, quadrada e triangular.
- **Faixa de frequência:** O gerador de sinais fornece, geralmente, sinais em uma frequência que vai de alguns KHz a vários MHz - geradores atuais podem chegar a mais 6 GHz. Os manuais dos fabricantes informam a faixa de frequência que o equipamento pode fornecer. Por exemplo, de 250 KHz a 3 GHz.
- **Tensão máxima de pico-a-pico na saída:** A tensão máxima de pico-a-pico é o valor máximo de amplitude do sinal que o gerador pode fornecer.
- **Impedância de saída (ou Resistência de saída):** A impedância de saída é a impedância que o gerador apresenta entre os terminais de saída. Os geradores podem ser de: alta impedância de saída, para circuitos a válvula; média impedância de saída, para circuitos transistorizados (geralmente, sua impedância é de 600  $\Omega$ ); baixa impedância de saída, para trabalhos em circuitos digitais (em geral, sua impedância de saída fica em torno de 50  $\Omega$ ). É importante conhecer as características do gerador de funções, porque isso permite obter a máxima transferência de potência entre gerador e carga.

O gerador de sinais utilizado para o presente trabalho, é o modelo E4438C - *ESG Vector Signal Generator* - da antiga Agilent Technologies, hoje conhecida como Keysight Technologies (consultar o APÊNDICE B para o detalhamento das funcionalidades do dispositivo mencionado). Esse gerador possui, entre muitas outras, as seguintes características:

- Frequência de saída de 250 kHz a 6 GHz;
- Controle de nivelamento automático (ALC);
- Calibração de energia no modo ALC-off;
- Oscilador de referência de 10 MHz com saída externa;
- Interfaces de comunicação GPIB, RS-232, e 10Base-T LAN;
- Modulação em fase;
- Modulação por pulso;
- Entradas de modulação externa para AM, FM e  $\Phi$ M;
- Configuração de modulações simultâneas;
- Baixa impedância de saída ( $50\Omega$ ), 0 a  $3 V_p$ ;
- Formas de onda selecionáveis: seno, onda quadrada, rampa, onda triangular, ruído, swept-seno, dual-seno e pulso;
- Taxas de modulação de frequência variável.

## 2.8 SCPI (*Standard Commands for Programmable Instruments*)

Na década de 1960, surgiram os primeiros instrumentos de medida comerciais controlados por computador. Entretanto, cada fabricante possuía seu próprio protocolo de comunicação para o instrumento e, é claro, uma interface proprietária. Em 1975, o *IEEE - Institute of Electrical and Electronic Engineers* - aprovou o padrão IEEE 488-1975, que define uma interface elétrica e mecânica padrão para conectores e cabos. Também padronizou o estabelecimento de conexão, endereçamento e protocolo geral para a transmissão de bytes individuais de dados entre os instrumentos e computadores. A norma foi atualizada para *IEEE 488.1-1987*, e embora tivesse resolvido o problema de

transmissão de dados (*bytes*) entre instrumento e computador, o IEEE 488 não especificou como esses dados deveriam ser escritos. Deste modo, cada fabricante inventava comandos diferentes.

No início da década de 1980, criaram-se padrões adicionais para especificar como interpretar os dados enviados via IEEE 488. Em 1987, o *IEEE* lança o IEEE 488.2-1987: códigos e formatos, protocolos e comandos mais comuns para uso com IEEE 488.1-1987. Esta norma define os papéis dos instrumentos e controladores de um sistema de medição e um esquema estruturado de comunicação. Em particular, IEEE 488.2 descreve como enviar comandos para instrumentos e como enviar as respostas aos controladores (computadores). Definiram-se alguns comandos usados com mais frequência, porém cada fabricante de instrumento poderia nomear quaisquer outros tipos de comandos e definir a sua função.

O IEEE 488.2 especificou como certos tipos de recursos devem ser implementados, se eles fossem ser incluídos em um instrumento. Ele geralmente não especifica quais recursos ou comandos devem ser implementados para um instrumento em particular. Assim, foi possível que dois instrumentos similares pudessem estar em conformidade com o IEEE 488.2 e, ao mesmo tempo, poderiam ter um conjunto de comandos totalmente diferentes.

Comandos Padrão para Instrumentos Programáveis (SCPI) é uma linguagem de comando para controlar instrumentos, que vai além do IEEE 488.2 e pode tratar de uma grande variedade de funções do instrumento de uma forma padrão. SCPI promove a consistência, do ponto de vista de programação remota, entre os instrumentos da mesma classe e entre instrumentos com a mesma capacidade funcional. Para um dado parâmetro como a frequência ou a tensão, SCPI define o conjunto de comandos específicos que estão disponíveis para essas funções. Assim, dois osciloscópios construídos por fabricantes diferentes podem ser usados para fazer medições de frequência da mesma maneira. Comandos SCPI são fáceis de aprender, auto-explicativos e podem ser usados por qualquer tipo de usuário. Uma vez familiarizado com a organização e a estrutura de SCPI, consideráveis ganhos de eficiência podem ser alcançados durante o desenvolvimento do programa de controle, independente da linguagem de programação utilizada.

O link de comunicação físico não é definido pelo padrão SCPI, embora originalmente criado para o protocolo GPIB (IEEE-488), ele também pode ser usado com RS-232, *Ethernet*, USB, VXIbus, HiSLIP, etc (ZHU; LI; LI, 2008).

Comandos SCPI são textos *ASCII*, que são enviados para o instrumento através da



camada física (por exemplo, **IEEE-488**). São uma série de uma ou mais palavras-chave, muitas das quais recebem parâmetros. Na especificação, palavras-chave são escritas como em “CONFigure”: toda a palavra-chave pode ser usada, ou pode ser abreviada apenas pela parte em maiúsculo. As respostas a comandos de consulta são tipicamente cadeias *ASCII*, no entanto, para grandes quantidades de dados, formatos binários podem ser utilizados.

Um instrumento pode realizar uma série de operações através de comandos SCPI ou responder a uma simples consulta, como a leitura de uma tensão, por exemplo. Consultas são enviadas a um instrumento acrescentando-se um ponto de interrogação ao fim de um comando. Alguns comandos podem ser utilizados tanto para operações, quanto para consultar um instrumento. Por exemplo, o modo de aquisição de dados de um instrumento pode ser definido usando o comando “ACQuire:MODE”, ou pode ser consultado usando o comando “ACQuire:MODE?”. Alguns comandos podem realizar funções e consultar um instrumento ao mesmo tempo. Por exemplo, o comando “\*CAL?” executa uma rotina de auto-calibração em alguns equipamentos e, em seguida, devolve os resultados da calibração.

Comandos semelhantes estão agrupados em uma hierarquia ou estrutura (“árvore”). Por exemplo, qualquer instrução para ler uma medição de um instrumento começará com “MEASure”. Sub-comandos específicos dentro da hierarquia são aninhados com dois pontos (:). Por exemplo, o comando para “medir uma tensão DC” seria da forma “MEASure:VOLTage:DC?”, e o comando para “medir uma corrente AC” seria igual a “MEASure:CURRent:AC?”.

Alguns comandos requerem argumentos adicionais. Argumentos são escritos após o comando, e são separados por um espaço. Por exemplo, o comando para definir o modo de *Trigger* de um instrumento para “normal”, pode ser escrito como “TRIGger:MODE NORMal”, onde a palavra “NORMal” é usada como argumento para o comando “TRIGger:MODE”.

Múltiplos comandos podem ser enviados para um instrumento em uma única cadeia de caracteres, basta separar os comandos com um caractere ponto e vírgula (;). Por exemplo, o comando para “medir uma tensão DC”, em seguida, “medir uma tensão AC”, seria enviado como “MEASure:VOLTage:DC?;MEASure:CURRent:AC?”. Comandos simples que começam com dois pontos (:) são interpretados em relação à raiz da árvore de comando. Caso contrário, eles referem-se implicitamente ao último nó do comando anterior (a menos que eles comecem com um asterisco). Por exemplo,

“:SOURce:FREQuency:STARt 100;STOP 200” é uma forma abreviada do comando “:SOURce:FREQuency:STARt 100;;SOURce:FREQuency:STOP 200”.

Como já foi dito, a sintaxe dos comandos SCPI mostra alguns caracteres maiúsculos e outros minúsculos. Para abreviar os comandos, basta o envio de apenas os caracteres maiúsculos. Por exemplo, o comando “SYSTem:COMMunicate:SERial:BAUD 2400”, que estabelece uma interface de comunicação RS-232 com *baudrate* de 2400 bits/s, poderia ser substituído pela sua forma abreviada “SYST:COMM:SER:BAUD 2400”. O comando de consulta “SYSTem:COMMunicate:SERial:BAUD?”, instrui o instrumento a relatar a sua taxa de transmissão atual.

Os comandos e parâmetros SCPI são enviados a partir de um controlador para um instrumento utilizando interfaces IEEE 488.1, VXIbus, RS-232, *Ethernet*, etc. Instrumentos que aceitam SCPI são muito flexíveis, e podem receber uma variedade de formatos de comandos e parâmetros, o que torna o aparelho mais fácil de programar. As respostas dos instrumentos, enviadas de volta para o controlador, podem ser dados ou informações de *status*. O formato SCPI de resposta do instrumento a uma consulta particular é bem definido, e reduz o esforço de programação. Informações de dados podem ser formatadas de modo que seja independente do dispositivo e da medição (CONSORTIUM et al., 1999).

Na Tabela 5 são apresentados os comandos obrigatórios, os quais todos os instrumentos que implementam SCPI devem possuir.

Tabela 5: Comandos obrigatórios em instrumentos com SCPI.

Comando	Função
*CLS	Limpar o estado atual do comando
*ESE	Habilita o <i>status</i> de evento padrão
*ESE?	Consulta o <i>status</i> de evento padrão
*ESR?	Consulta o registrador de <i>status</i> de evento padrão
*IDN?	Consulta a identificação do instrumento
*OPC	Comando de operação completa
*OPC?	Consulta se a operação foi completada
*RST	Comando de reset (reiniciar)
*SRE	Ativa a solicitação de serviço
*SRE?	Consulta se a solicitação de serviço está ativa
*STB?	Ler e retornar o byte status
*TST?	Realiza um teste interno e retorna o resultado
*WAI	Aguarda pela continuação do comando

## 2.9 Redes *Ethernet* e protocolo TCP/IP

O propósito geral dos primeiros sistemas computacionais era agilizar o processamento de informações a fim de se obter maior produtividade em atividades repetitivas, mantendo sempre a qualidade e a baixa probabilidade de erros. Ao longo dos anos, percebeu-se que a computação estava sendo sub-utilizada, e que se poderia usufruir da mesma de maneira colaborativa. Assim, haveria redução de custos para as empresas, uma vez que as máquinas das corporações compartilhariam recursos e *softwares*, e todo o gerenciamento poderia ser feito por um único computador mais poderoso, o **servidor**.

Foi considerando as vantagens citadas anteriormente, que surgiu a ideia de rede de computadores, ou rede de comunicação de dados. Nos primórdios das redes de computadores, tanto o *hardware* quanto o *software* eram proprietários, ou seja, dispositivos de fabricantes diferentes não conseguiam se comunicar entre si. Nos dias atuais, a tecnologia de redes é aberta, o que possibilitou a criação da **Internet**.

Uma rede de computadores é definida como sendo um conjunto de linhas e nós, em que cada nó pode ser representado por um dispositivo pertencente à rede, e linha é o meio físico (canal) que interliga os nós.

No começo, as redes públicas foram criadas para realizar apenas um tipo de serviço (monosserviço), a saber, o tráfego de voz para telefonia. Entretanto, com o desenvolvimento tecnológico e a demanda do mercado, as redes acabaram tendo que se adaptar e implementar o tráfego de dados, tornando-se redes de acesso a dados e redes de *backbone* (multisserviço).

Com o surgimento das redes de computadores, também surgiram os processos compartilhados, ou seja, um computador de maior poder de *hardware* (servidor) é responsável pelo gerenciamento dos demais computadores da rede. Para isso, apenas é preciso instalar um *software* de controle nesta máquina, e os outros dispositivos precisam ter permissões de acesso à ela. Além disso, os computadores interligados em uma rede, compartilham os periféricos instalados no computador de controle, o que é conhecido como computação colaborativa.

No que se refere à distância de abrangência, as redes de computadores podem ser classificadas como:

- **Rede LAN (*Local Area Network*)**: Interligam equipamentos à pequenas distâncias - cerca de dezenas de metros, no máximo - são utilizadas em redes internas

de empresas, estabelecimentos e redes caseiras de pequeno porte;

- **Rede MAN (*Metropolitan Area Network*):** Interligam equipamentos à distâncias de centenas de metros ou até algumas unidades de quilômetros;
- **Rede WAN (*Wide Area Network*):** Interligam equipamentos à distâncias de dezenas ou até centenas de quilômetros. Esse é o tipo de rede da internet - a rede mundial de computadores.

O comitê 802 do *IEEE* mantém três padrões para a implementação de redes LAN, que são:

- *Ethernet*: Rede aberta para qualquer tipo de dispositivo;
- *Token Ring*: Tipo de rede para dispositivos IBM;
- *Arc Net*: Padrão antigo e obsoleto.

O padrão que mais se difundiu foi o *Ethernet*, e este é o padrão utilizado na atualidade. Os motivos que levaram à sua grande aceitação são: baixo custo; boas velocidades de tráfego de dados; tecnologia conhecida e de fácil implementação; capacidade de trabalhar com um grande número de equipamentos.

Uma rede de comunicação é formada por no mínimo dois dispositivos interconectados. À medida que os sinais são tratados nestas máquinas, eles ficam disponíveis nos terminais de saída das mesmas, garantindo assim, que possa haver troca de informações entre elas. A informação trafega pela rede efetivamente através de dados binários (*bits*), que nada mais são do que níveis de tensão alto (para representar o *bit* 1) e baixo (para representar o *bit* 0), considerando uma lógica positiva.

Os meios de transmissão de dados em uma rede, também chamados de canais de comunicação, são os meios físicos por onde esses dados (ou sinais elétricos) trafegam. Basicamente, existem dois tipos de meios de transmissão: transmissão por cabos (*wireline*) e transmissão no espaço livre (*wireless*). Em geral, a escolha do meio físico para um projeto de rede adequado deve levar em consideração os seguintes aspectos: tipo de rede (local ou de grandes distâncias), serviço que será oferecido, distâncias a serem percorridas pelo sinal de informação, relevo do terreno e o número de multiplexações a serem transmitidas.

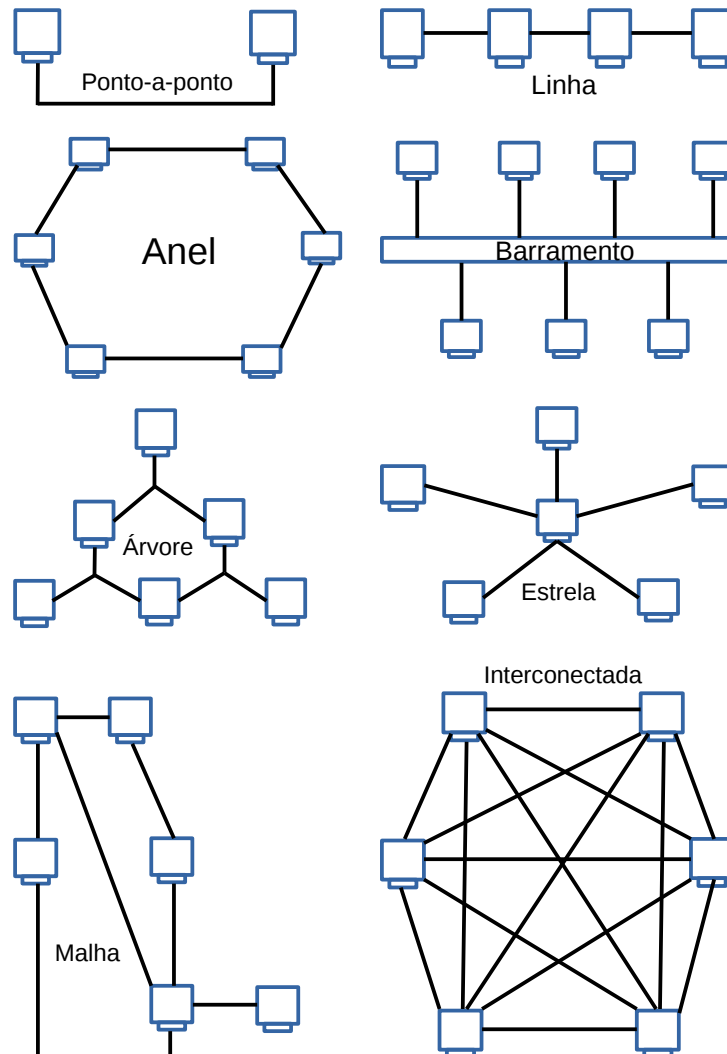
Na comunicação via cabos existem os cabos metálicos, capazes de conduzir sinais elétricos, que podem ser cabos coaxiais ou de par trançado; cabos ópticos, capazes de conduzir sinais luminosos, são divididos em fibras monomodo e multimodo de índice de refração degrau ou gradual (KEISER, 2000). Os cabos de par trançado possuem baixo custo, fácil instalação e manutenção, porém baixa capacidade de transmissão em bits por segundo (*bps*), o que se torna um problema para altas taxas de dados. Cabos coaxiais possuem taxas de transmissão maiores do que cabos de par trançado, além de possuírem excelente blindagem eletromagnética. Os cabos ópticos, por sua vez, apresentam grandes vantagens em comparação aos demais, como dimensões, peso, flexibilidade, imunidade a ruídos e altas taxas de transmissão de dados; porém, apresentam alto custo de implementação.

Para estabelecer uma rede, deve-se adotar uma ou mais topologias de rede. Topologia de rede é, essencialmente, a maneira como os nós (dispositivos) de uma rede estão interligados. Neste sentido, existem basicamente duas topologias de rede: topologia **física** e topologia **lógica**. A topologia física é a aparência visível da rede, ou seja, como os dispositivos e cabos estão distribuídos fisicamente no espaço. Já a topologia lógica define como os dados (sinais) irão trafegar na rede, sem necessariamente ter conhecimento da topologia física utilizada. No contexto de topologia lógica estão contidos os protocolos e métodos de comunicação, que podem ser reconfigurados dinamicamente por tipos especiais de equipamentos, como roteadores e *switches*. Os dois tipos de topologias lógicas mais comuns são o *Broadcast* e a passagem *Token*. Na primeira, um nó que queira se comunicar envia seus dados a todos os nós espalhados pela rede, este é o caso das redes *Ethernet*. Já na passagem de *Token*, um sinal de *Token* controla o envio de dados pela rede. Essa topologia é utilizada em redes *Token Ring* (MARTINEZ, 2016). A escolha da topologia adequada para cada caso, pode influenciar significativamente no desempenho da comunicação da rede. A Fig. 19 ilustra as oito topologias (físicas) básicas de rede.

A topologia em estrela é a mais utilizada na atualidade, e usa cabos de par trançado e um dispositivo concentrador (roteador) como ponto central da rede. O concentrador se encarrega de retransmitir todos os dados para todas as estações, com a vantagem de tornar mais fácil a localização de falhas, já que se um dos cabos, uma das portas do concentrador ou uma das placas de rede estiver com defeito, apenas o nó ligado ao componente defeituoso ficará fora da rede. As velocidades de transmissão em redes estrela podem chegar a 1000 Mbps dependendo da compatibilidade entre cabos, placas e dispositivo concentrador. Nessa topologia, os dados de informação não percorrem todos os nós. O concentrador se encarrega de entregar o pacote ao destinatário através do

caminho mais curto.

Figura 19: Topologias físicas de rede.



Alguns equipamentos encontrados na maioria das redes de comunicação são: placa de rede, *tranceiver*, *hub*, multiplexador, *switch*, roteador e *bridge* (ponte).

### 2.9.1 Protocolo TCP/IP

Um protocolo de comunicação é um conjunto de regras que devem ser seguidas para que os dispositivos que implementam este protocolo possam se comunicar, indepen-

dentemente do fabricante do dispositivo. Essa ideia surgiu em 1983, quando a Organização Internacional de Normalização (ISO - *International Standards Organization*) aprovou um modelo de arquitetura para sistemas abertos que definia diretivas genéricas para a comunicação entre dispositivos, independente da tecnologia de implementação. Esse modelo foi denominado como OSI (*Open Systems Interconnection*) e é referência mundial para a criação de novos padrões de comunicação (PINTO, 2010).

Com a criação do modelo OSI para desenvolvimento de protocolos de comunicação entre dispositivos, vários novos protocolos foram criados desde então, sendo uns dos principais, os protocolos TCP/IP, mundialmente conhecidos e utilizados para comunicação entre redes de computadores e dispositivos de monitoramento.

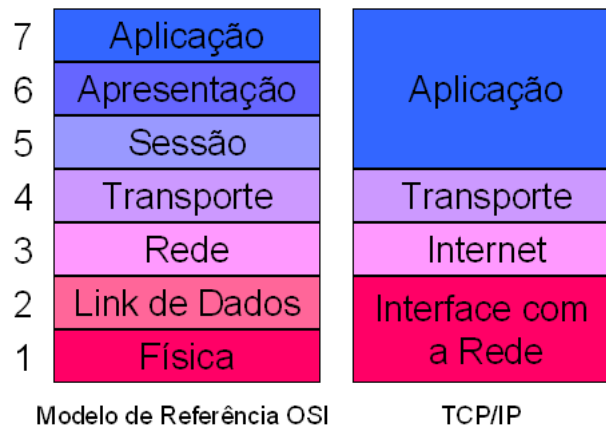
A partir do modelo OSI, as arquiteturas de redes são formadas por camadas (ou níveis), interfaces e protocolos. As camadas são processos implementados por *hardware* ou *software*, que se comunicam com o processo correspondente na outra máquina. Cada camada oferece um conjunto de serviços ao nível superior, usando funções realizadas no próprio nível e serviços disponíveis nos níveis inferiores. Em uma estrutura de rede em camadas, os dados trafegados em uma comunicação de um nível específico não são enviados diretamente ao processo do mesmo nível em outra estação. Os dados seguem o fluxo através de cada camada adjacente da máquina transmissora até o nível inicial, onde é transmitido, para então seguir o caminho contrário através de cada nível adjacente da máquina receptora.

Dentro dessa ideia, o modelo OSI define uma arquitetura genérica de sete camadas para o sistema computacional. Com exceção da camada mais alta, cada camada é usuária dos serviços prestados pela camada imediatamente inferior, e presta serviços para a camada imediatamente superior. Cada camada tem como função adicionar um cabeçalho aos dados do usuário a serem transmitidos para outro sistema. Assim, a função de cada camada do outro sistema é exatamente a inversa, ou seja, retirar os cabeçalhos dos dados que chegam e entregá-los ao usuário em sua forma original. As camadas do modelo de referência OSI, do nível mais alto ao mais baixo, são: aplicação, apresentação, sessão, transporte, rede, enlace e física.

O protocolo TCP/IP é o protocolo de rede mais utilizado atualmente e, na verdade, não é apenas um protocolo, mas sim um conjunto destes. Inclusive, o próprio nome (TCP/IP) faz referência a dois protocolos distintos, o TCP (*Transmission Control Protocol*) e o IP (*Internet Protocol*). Existem ainda, outros protocolos que compõem a pilha TCP/IP, tais como o FTP, o SMTP, o HTTP, o UDP, etc. O protocolo TCP/IP

possui quatro camadas, diferentemente do modelo OSI com suas sete camadas. Na Fig. 20 é possível ver um comparativo entre o modelo OSI e o protocolo TCP/IP.

Figura 20: Comparativo entre as camadas do modelo OSI e TCP/IP.



O funcionamento do protocolo TCP/IP é bastante complexo. Basicamente, a camada de aplicação após processar as requisições dos programas, comunica-se com outro protocolo da camada de transporte, normalmente o protocolo TCP. Na camada de transporte, os dados vindos da camada de aplicação são divididos em pacotes e enviados à camada imediatamente inferior, ou seja, à camada de internet. Outra responsabilidade da camada de transporte é a ordenação ou organização dos pacotes recebidos da rede, uma vez que estes podem chegar fora de ordem, e, também, verificar a integridade dos dados. Na camada de internet funciona o protocolo IP, o qual tem por finalidade pegar os pacotes recebidos da camada de transporte e adicionar informações de endereçamento virtual, ou seja, adiciona o endereço do dispositivo que está enviando os dados e do que irá receber esses dados. Tais endereços virtuais são conhecidos como endereços IP. A seguir, os pacotes são enviados para a camada imediatamente inferior - a camada de interface com a rede. Neste ponto, os pacotes são conhecidos como **datagramas**. A camada de interface com a rede recebe os pacotes enviados pela camada de internet, e então os envia para a rede, ou caso esteja recebendo dados, receberá os dados da rede. A composição desta camada depende do tipo de rede na qual o dispositivo está conectado. Atualmente, praticamente todos os dispositivos utilizam o tipo de rede *Ethernet*, no qual estão incluídas as redes sem fio (TORRES, 2007).

O padrão *Ethernet* é um conjunto de tecnologias que foi desenvolvido, inicialmente, para especificar o funcionamento de uma rede local, onde é possível encontrar diversos



tipos de cabeamentos e transmissão de dados. Este padrão é definido pelo órgão IEEE como 802.3 e é baseado no seguinte princípio: Todas as máquinas da rede *Ethernet* estão conectadas a uma mesma linha de comunicação. As redes *Ethernet* funcionam em um meio *broadcast*, ou seja, todos os dispositivos da rede recebem e enviam dados de e/ou para todos os demais dispositivos. Assim sendo, os dispositivos devem possuir endereços próprios, conhecidos como endereços de *hardware*, físico, *Ethernet* ou endereço MAC. Tal endereçamento é feito com base em uma sequência de 6 bytes (48 bits) e cada dispositivo é único na rede, ou seja, o endereço MAC é a “impressão digital” do equipamento. O padrão *Ethernet* funciona nas duas primeiras camadas do modelo OSI: camada física e camada de enlace. Na camada física é onde os dados são tratados em sua forma mais bruta, ou seja, pulsos elétricos. Já na camada de enlace, os dados são tratados em forma de pacotes para agilizar o processo de transmissão. Cada pacote *Ethernet* tem um cabeçalho de 14 octetos, onde estão contidos o endereço da fonte de transmissão e o endereço de destino. Dessa forma, cada dispositivo visualiza apenas os pacotes endereçados a si, mesmo tendo recebido pacotes destinados a outros dispositivos. A velocidade de transmissão dos padrões *Ethernet* é medida em bits por segundo, e existem atualmente três padrões de velocidades, são eles: *Standard Ethernet* (10Mbps), *Fast ethernet* (100Mbps) e *Gigabit Ethernet* (1000Mbps ou 1Gbps – 10Gbps para fibras ópticas). Como o padrão *Ethernet* se tornou o mais amplamente utilizado para LAN's, ele foi rapidamente estendido para redes MAN's e WAN's, o que resultou na utilização de componentes altamente confiáveis e de baixo custo e que estão disponíveis em todo o mundo, ou seja, padronizados.



## 3 Desenvolvimento

O primeiro passo de projeto foi o levantamento e detalhamento das funcionalidades dos dispositivos e *softwares* envolvidos no sistema, os quais estão todos descritos no cap. 2. Este passo é de extrema importância, pois embora existam muitas coisas “prontas” na literatura que podem ser reaproveitadas, muitas vezes é preciso adaptar, ou mesmo criar novas soluções para poder prosseguir. Desse modo, é de crucial importância, em um projeto, que se conheça muito bem o funcionamento dos dispositivos que compõem o sistema. As demais etapas do projeto são descritas neste capítulo, em suas seções e subseções subsequentes.

Com as ferramentas necessárias em mãos, passou-se a realizar testes de acionamento de cargas com Arduino, com o intuito de desenvolver, posteriormente, uma placa de circuito impresso (PCB - *Printed Circuit Board*) contendo o *driver* (ver cap. 2 seção 2.4.4) de potência para acionamento do motor, um circuito de alimentação para o Arduino, um circuito para acomodar dois sensores *hall* (BESSE et al., 2002)-(BRAGA, 2014)-(CASSIOLATO, 2006) e um sensor de temperatura.

### 3.1 Circuito de alimentação

Um dos passos cruciais do projeto foi a escolha da alimentação elétrica do sistema do posicionador. Levando em conta que seria preciso uma tensão de 12V para alimentar o motor de passo e uma tensão entre 7-12V para alimentar o Arduino, optou-se por instalar no sistema, uma fonte ATX (*Advanced Technology Extended*) de computador (BROWN, 2014), a qual apresenta baixo custo. A fonte ATX disponibiliza para o circuito de controle tensões de 12V, 5V e GND (*Ground*). Os 12V vão para o motor de passo e para um regulador de tensão LM-317, que rebaixa o nível de tensão para 9V, de forma a alimentar o Arduino. De acordo com a Tabela 4, o Arduino pode ser alimentado com 12V, porém não é recomendável utilizar essa tensão, pois o regulador de tensão interno do dispositivo pode aquecer demais. O esquemático do circuito rebaixador de tensão que utiliza o LM-317 é mostrado na Fig. 21. Este esquemático foi elaborado de acordo com o *datasheet* do regulador LM-317, que fornece todas as especificações necessárias para se trabalhar com segurança com o dispositivo. Os diodos D1 e D2, protegem o regulador contra curto-circuito, caso a saída seja conectada ao terra por acidente; os capacitores C3

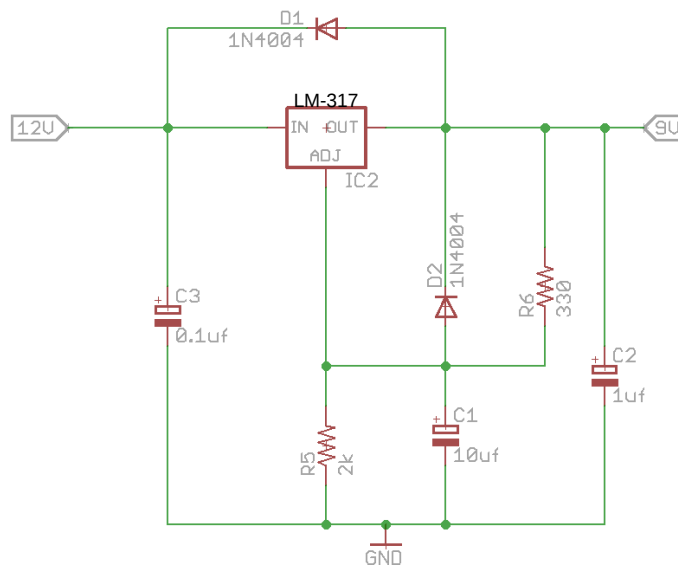
(entrada) e C2 (saída) agem como filtros de frequências para deixar a tensão CC o mais “limpa” possível. Esses capacitores são conhecidos como *bypass* (desvio), pois desviam as frequências indesejadas. O capacitor C1 é calculado para rejeição de *Ripple* de cerca de 15dB, e também é utilizado para proteção, sendo descarregado por D2 em caso de curto-circuito na saída. Os resistores R5 e R6 são responsáveis por ajustar a tensão de saída, de acordo com

$$V_o = V_{REF} \left( 1 + \frac{R5}{R6} \right) + I_{ADJ} R5, \quad (3.1)$$

onde  $V_{REF}$  é uma tensão de referência interna entre a saída e o terminal de ajuste, e equivale, segundo o *datasheet*, a 1,25V;  $I_{ADJ}$  é a corrente de ajuste, e está especificada para ser de no máximo  $100\mu A$ . A tensão de saída para alimentar o Arduino foi especificada para ser 9V, então, restam apenas R5 e R6 para serem calculados. O valor de R6 deve ser fixo, enquanto o valor de R5 é variado para obter a tensão de saída desejada. Fixando R6 em  $330\Omega$  e rearranjando (3.1) em termos de R5, tem-se

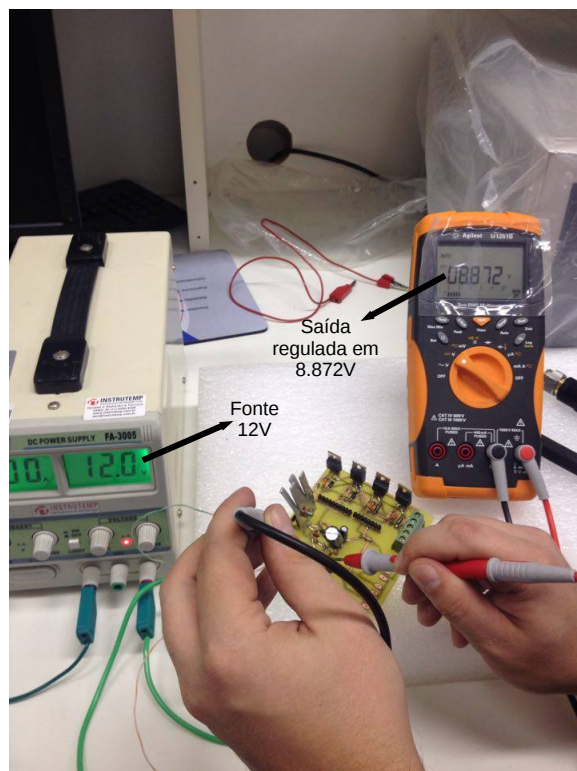
$$R5 = \frac{(V_o - V_{REF})}{\left( \frac{V_{REF}}{R6} + I_{ADJ} \right)} = \frac{9 - 1.25}{\left( \frac{1.25}{330} + 100^{-6} \right)} = 2k\Omega. \quad (3.2)$$

Figura 21: Esquemático do circuito rebaixador de tensão para o Arduino.



Uma resistência de  $2k\Omega$  não existe comercialmente, porém, é bastante trivial sua obtenção por meio de dois resistores de  $1k\Omega$  em série. O circuito de alimentação, após a montagem, apresentou excelente estabilidade e condições de operação, entregando na saída  $8,872V$ , como pode ser visto na Fig. 22.

Figura 22: Medida da tensão de saída do circuito regulador de tensão.



É importante salientar que o modo de alimentação para o Arduino e o sistema, aqui descrito, foi escolhido por razões de simplicidade, organização e robustez. A fonte ATX fornece, com sobra de recursos, as tensões e correntes necessárias ao sistema. Outra característica é que a fonte pode ser embutida dentro da estrutura giratória, junto com o restante do circuito (Arduino, *Shields*, sensor *hall*, etc). Assim, basta apenas ligar a fonte à energia, e todo o sistema poderá ser alimentado. Os sensores *hall* e o sensor de temperatura (LM35) poderiam ser alimentados pela saída de  $5V$  do próprio Arduino (ver Fig. 17), porém, de acordo com as especificações do fabricante do dispositivo, cada pino de I/O pode fornecer, individualmente, uma corrente de no máximo  $40mA$ , e uma

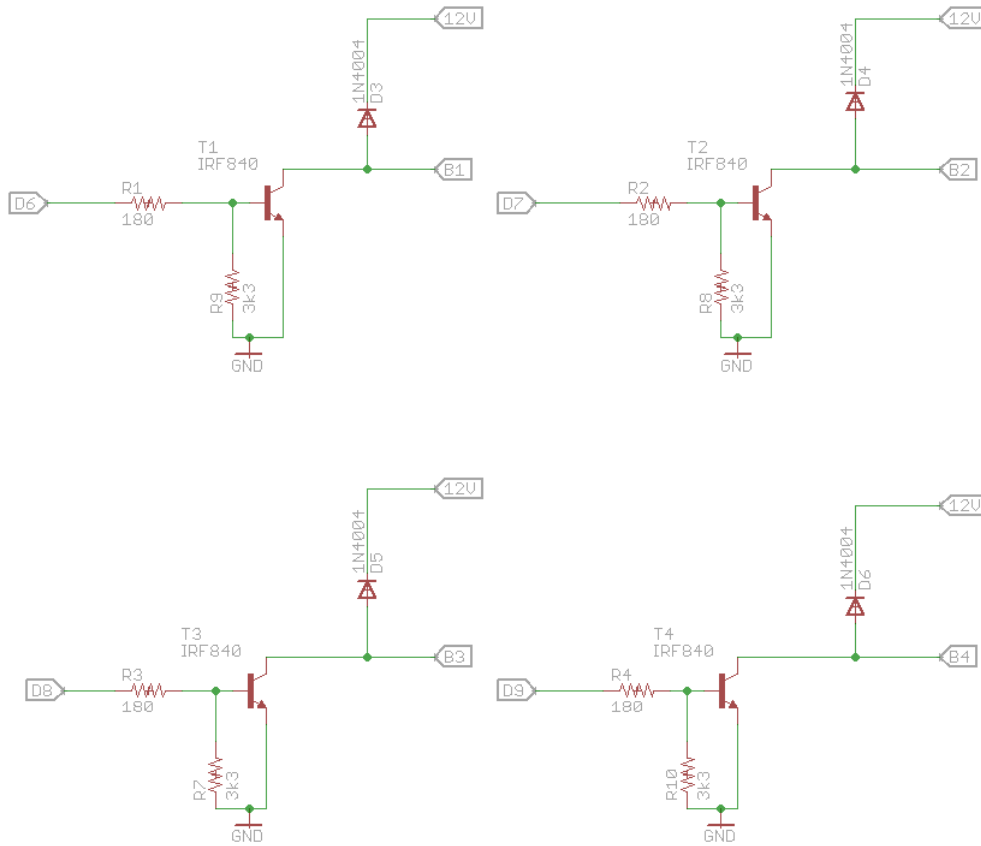
corrente de no máximo  $200mA$  no caso de um conjunto de pinos ligados. Como o sistema utiliza dois sensores *hall* e um sensor de temperatura, torna-se arriscado trabalhar com as baixas correntes fornecidas pelo Arduino. Além disso, ficam sobrando os pinos 3.3V e 5V, que podem ser utilizados posteriormente para alimentar algum outro módulo que se queira adicionar ao sistema.

## 3.2 Circuito de potência

Como já mencionado em outras seções, a estrutura giratória do sistema de medição utiliza um motor de passo para seu funcionamento. Também, foi visto na subseção 2.4.4 que, para acionar um motor através de um microcontrolador ou de um Arduino, é preciso utilizar um circuito de potência formado por transistores. No caso da subseção 2.4.4, foi exemplificado o circuito ponte H. Entretanto, para o projeto aqui desenvolvido, são utilizados transistores individuais para cada fase das bobinas. Optou-se por utilizar transistores FET (*Field Effect Transistor*) de potência modelo IRF840, os quais suportam consideráveis correntes (ver *datasheet* do dispositivo) e possuem diodos internos de proteção (diodos roda livre). Assim sendo, o sistema pode ser modificado para acomodar motores mais potentes e, conseqüentemente, antenas mais pesadas. A Fig. 23 ilustra o esquemático do circuito de potência para acionamento das quatro fases do motor.

Na Fig. 23, os diodos D3, D4, D5 e D6 são os referidos diodos roda livre. Embora os transistores possuam diodos de proteção internos, a colocação dos diodos externos faz aumentar ainda mais a segurança do circuito. Outra característica de segurança é a utilização dos resistores de *Gate* R1, R2, R3 e R4, que limitam a corrente drenada do Arduino em caso de curto-circuito interno nos transistores. Os comandos lógicos, provenientes do Arduino, são representados pelas *labels* (rótulos) D6, D7, D8 e D9, que representam os pinos de saída digitais 6, 7, 8 e 9, respectivamente. As *labels* B1, B2, B3 e B4, representam as fases das bobinas do motor e são ligadas no *Drain* (Dreno) dos transistores. O motor utilizado é unipolar (possui derivação central e características operacionais descritas na seção 2.4.1), onde a derivação é alimentada diretamente com 12V. Quando o *Gate* de algum transistor é acionado pelo Arduino, o chaveamento do transistor ocorre, tornando possível a passagem de corrente de *Dreno* para *Source* (fonte), e assim, alimentando uma fase de uma das bobinas do motor. Os resistores R7, R8, R9 e R10 são conhecidos como resistores de *pull-down* (ELECTRONICS, 2013) - (BACK, 2014), e servem para desativar o transistor após um acionamento, caso o mesmo não desarme sozinho.

Figura 23: Circuito de potência para acionamento de motor de passo.



O cálculo para os resistores de *Gate* é obtido pela lei de *Ohm*, descrita em (3.3). A tensão “*V*” equivale a 5 volts, proveniente do Arduino; a corrente “*I*” foi especificada para ser de no máximo  $30mA$ ,  $10mA$  abaixo da especificação de corrente máxima por pino de I/O do Arduino. Isolando *R* em (3.3) e substituindo-se os valores de *V* e *I*, obtém-se a resistência de  $166,6\Omega$ .

$$V = RI \quad (3.3)$$

A corrente *I* é inversamente proporcional à resistência *R*. Isso quer dizer que se *R* aumenta, *I* diminui. Então, qualquer valor maior ou igual ao encontrado irá garantir uma corrente menor ou igual a  $30mA$ . Assim sendo, uma resistência de *Gate* de  $180\Omega$ , como mostrado na Fig. 23, é suficiente para atender à especificação.

Na literatura encontram-se diversos valores para a utilização dos resistores de *pull-down*, sendo os valores mais utilizados o de  $3,3k\Omega$  e o de  $10k\Omega$ . A utilização dos

resistores de  $3,3K\Omega$  para o circuito de potência, apresentou ótimos resultados.

### 3.3 Circuito dos sensores

O circuito de alimentação e acionamento do posicionador também possui sensores, como já foi mencionado. Dois sensores *hall* são utilizados para o posicionamento correto da estrutura giratória, e um sensor LM35 é utilizado para verificar a temperatura do sistema. A Fig. 24 ilustra as conexões feitas para os dois sensores *hall*, e a Fig. 25 mostra as ligações para o sensor de temperatura LM35.

Figura 24: Circuito dos sensores *hall*.

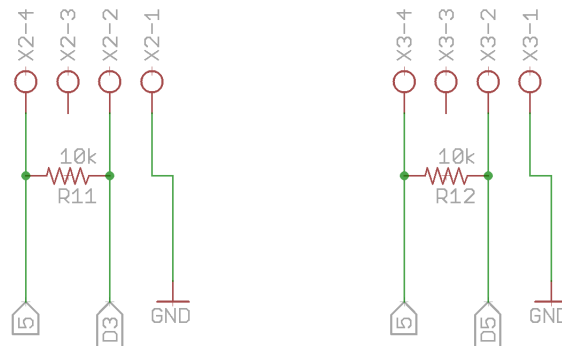
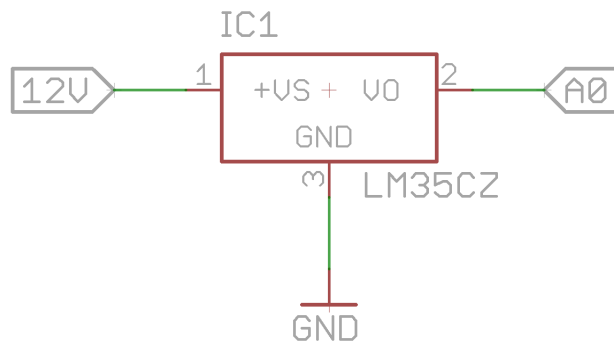


Figura 25: Ligações do sensor de temperatura LM35.



Na Fig. 24, X2-4, X2-3, X2-2, X2-1, X3-4, X3-3, X3-2 e X3-1 são conexões para os pinos de dois conectores de quatro terminais cada um, para que os sensores *hall* possam ser fixados em qualquer lugar na estrutura e conectados com o circuito controlador



através de fios. Nos pinos X2-4 - X3-4, é entregue uma tensão de 5V, proveniente da fonte ATX. Essa tensão não foi escolhida ao acaso. Os sensores *hall* podem ser alimentados com tensões bem mais altas, porém, a tensão de alimentação é a mesma que surge no terminal de saída do sensor sob a presença de um campo magnético. A tensão de saída do sensor é enviada ao Arduino para ser processada e para tomada de decisões. Como o Arduino trabalha com tensões internas de no máximo 5V, a alimentação dos sensores foi feita com essa tensão. Os resistores de  $10k\Omega$ , R11 e R12, servem para limitar a corrente entre entrada e saída e são especificados pelo fabricante do sensor. Os pinos X2-2 - X3-2 são as saídas dos sensores e são conectados aos pinos digitais do Arduino, D3 e D5, respectivamente. Os pinos X2-1 - X3-1 são conectados ao terra do circuito.

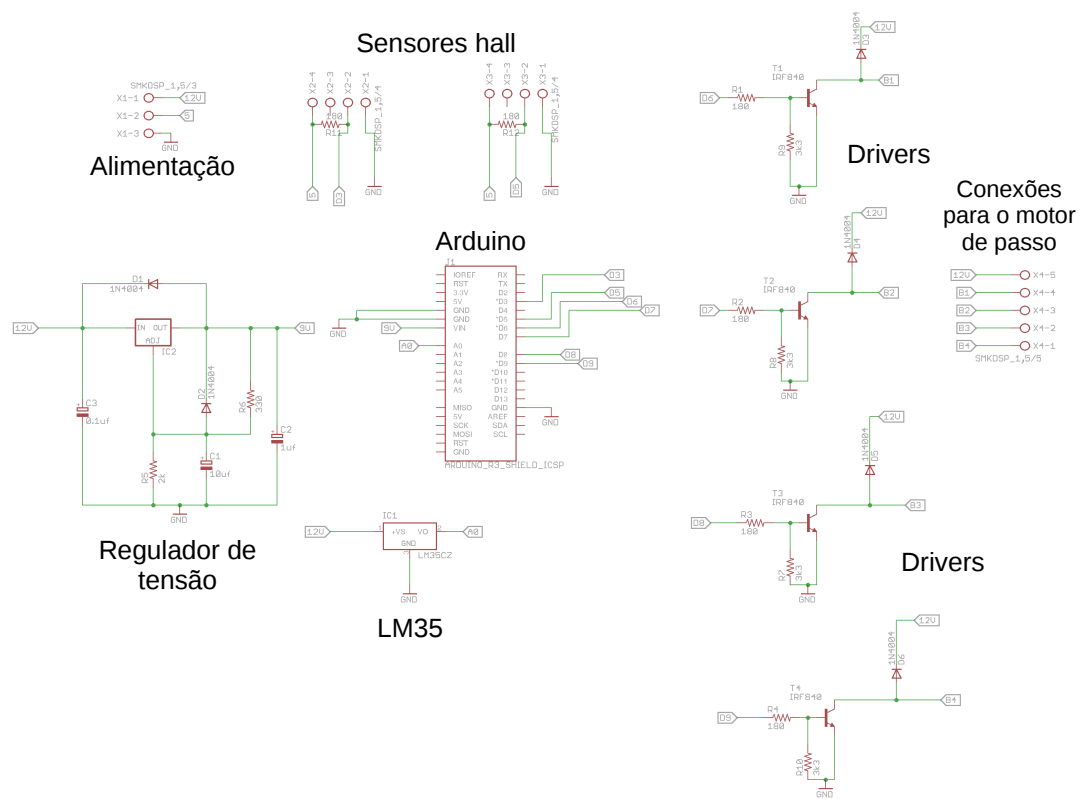
## 3.4 Circuito completo em PCB

Após testados em *protoboard*, os circuitos de alimentação, potência e sensores, foram integrados e montados em uma placa de circuito impresso de dupla face. O esquemático completo do circuito é mostrado na Fig. 26, e o *layout* para confecção da PCB, gerado a partir do esquemático, é apresentada na Fig. 27. Como pode ser observado, existem trilhas azuis e vermelhas. As trilhas azuis localizam-se no *top-layer* (camada de cima) da placa, e as trilhas vermelhas localizam-se no *bottom-layer* (camada de baixo). A escolha de dupla face para o projeto foi devida à necessidade de acomodar muitos componentes em uma área pequena de circuito, o que se tornaria muito difícil com uma única face. A desvantagem de se utilizar dupla face é em relação a dificuldade de soldar componentes grandes, como os conectores, por exemplo, que cobrem os buracos de seus pinos no *top-layer*. Este problema foi resolvido com a colocação de vias, para que nos componentes grandes a solda fosse feita apenas no *bottom-layer*. A placa de circuito impresso, já com todos os componentes soldados e já acoplada ao Arduino e *Ethernet Shield*, é mostrada em dois ângulos diferentes para melhor visualização, na Fig. 28.

## 3.5 Programação do Arduino

A plataforma Arduino possui uma linguagem própria de programação baseada em C/C++, e uma IDE de desenvolvimento (ver seção 2.5). O primeiro programa, desenvolvido para testes, apenas acionava sequencialmente as bobinas de um motor de passo no sentido horário, ou seja, apenas ativava sequencialmente os pinos de saída do Arduino. Em seguida, uma página *Web* programada em HTML (*Hyper-Text Markup*

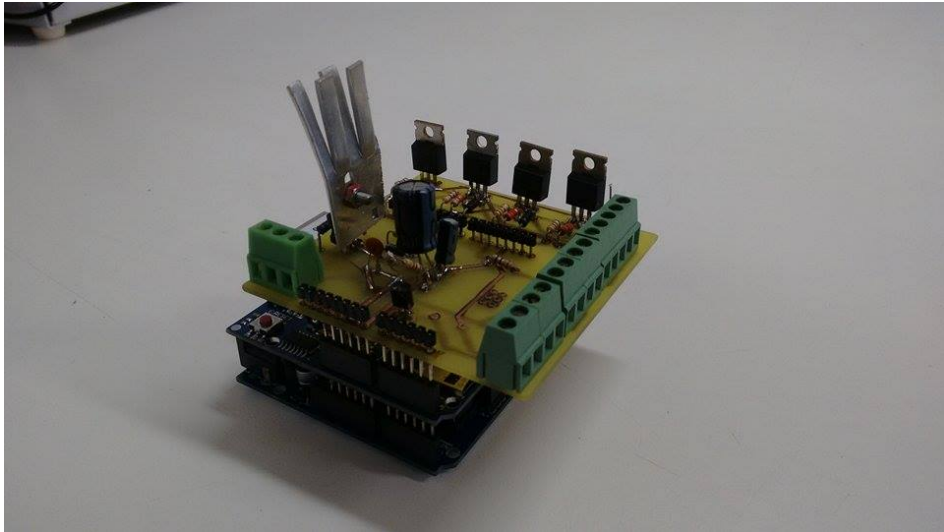
Figura 26: Esquemático completo do circuito desenvolvido.



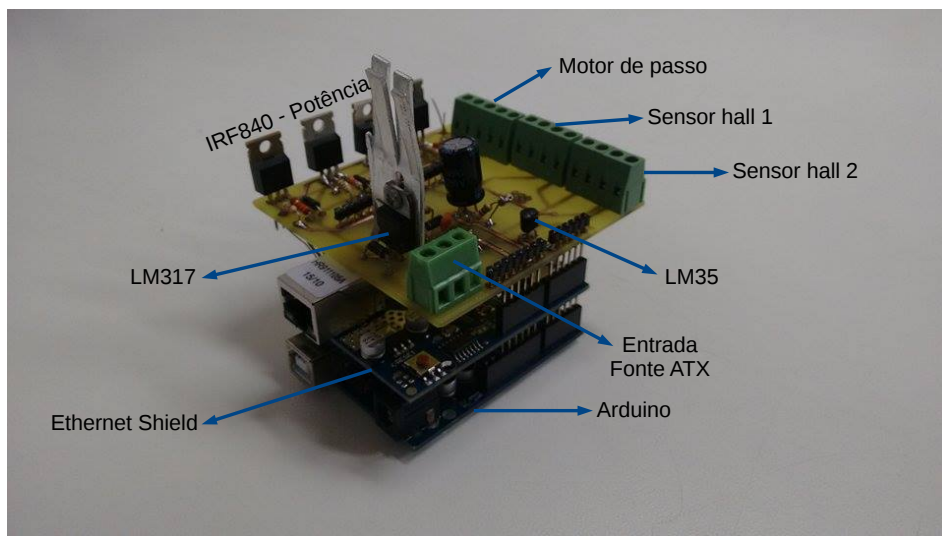
*Language*) foi desenvolvida e embarcada no código do Arduino. A página *Web* apresentou ótimos resultados, sendo capaz de acionar diversos dispositivos controlados pelo Arduino, tais como *leds*, *coolers* e motores de passo, além de apresentar a temperatura do sistema em tempo real. Um recurso interessante que foi adicionado ao HTML da página, é a transmissão, em tempo real, de um *streaming* de vídeo proveniente de uma *webcam*. Para isso ser possível, é necessário que um servidor de *streaming* esteja disponibilizando o fluxo da *webcam* na rede, através de algum *codec* de compressão como ogg, mpeg-2, mpeg-4, entre outros. Com este recurso, é possível, por exemplo, visualizar o sistema de medição remotamente através da rede ou da internet, e pode ser bastante útil para medições em câmaras anecoicas. O código completo utilizado para o Arduino, já com a programação da página *Web* embarcada, é apresentado no APÊNDICE C deste documento. De um modo geral, o código segue o algoritmo descrito pelo fluxograma apresentado na Fig. 29. Como pode ser visto, após o programa (*sketch*) ser iniciado, são feitas as importações



Figura 28: Placa do circuito finalizada e acoplada ao Arduino.



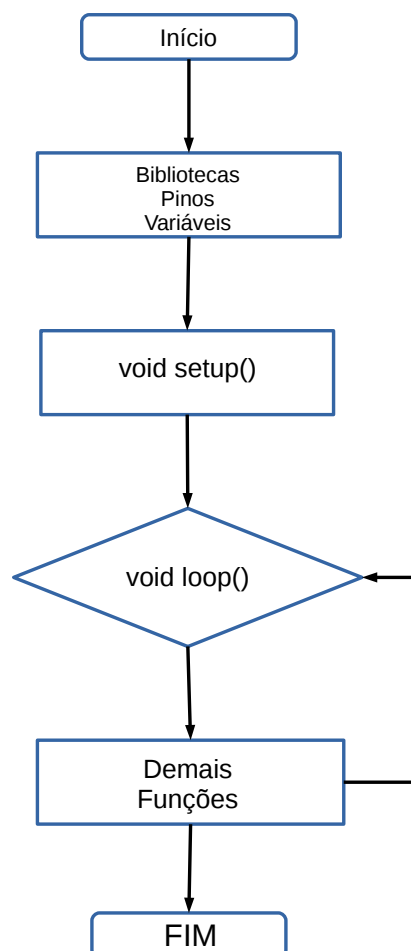
(a) Placa do circuito finalizada e acoplada ao Arduino.



(b) Identificação dos componentes do circuito

```
const int tempo = 4000;  
15 const int tempo2 = 700;  
const int LM35 = A0;  
17 float temperatura = 0;  
float valorLido = 0;  
19 int statePin3 = LOW;  
int statePin5 = LOW;  
21 int addr = 0;  
int value = 0;
```

Figura 29: Fluxograma geral do algoritmo do Arduino.



A biblioteca “SPI.h”, incluída na linha 1 do código anterior, é responsável pela comunicação entre o *Ethernet Shield* e o Arduino, por meio do protocolo SPI (*Serial Peripheral Interface*). A biblioteca “Ethernet.h” provê todo o necessário para criar um servidor *Web* capaz de receber comandos remotos por TCP/IP, bem como enviar dados de resposta à requisições de clientes. Esse servidor *Web* fica rodando no *Ethernet Shield*, e disponibiliza a página HTML embarcada no código do Arduino. A biblioteca “EEPROM.h” provê os recursos necessários para a gravação e leitura de dados na EEPROM (*Electrically-Erasable Programmable Read-Only Memory*) do microcontrolador Atmega328p. Este recurso é utilizado para guardar a última posição do motor de passo, de acordo com a última fase acionada. Como o acionamento de motores de passo é feito pela alimentação sequencial correta das fases das bobinas, é essencial que se tenha controle de qual bobina está ativa em cada acionamento. A memória EEPROM permite a leitura de dados mesmo após o dispositivo ser desenergizado.

O *Ethernet Shield* não vem com um endereço MAC de fábrica, de modo que é preciso configurar esse parâmetro no código. Isso é feito nas linhas 5 e 6 do código anterior, através do vetor “mac[ ]” do tipo *byte*, e pode ser utilizado qualquer endereço MAC que não esteja em uso na rede. As linhas de 7 a 11 configuram os parâmetros de rede tais como IP, *gateway*, máscara de sub-rede e porta de conexão. Esses parâmetros são de extrema importância, uma vez que são os responsáveis pelo envio e recebimento de dados para o(s) dispositivo(s) correto(s), e devem ser configurados de acordo com a rede que se deseja trabalhar. No presente caso, o servidor *Web* responde no IP “10.2.6.201”, porta “80” (padrão de servidores *Web*), em uma rede cuja máscara é “255.255.254.0” e cujo *gateway* responde no IP “10.2.6.1” (ver seção 2.9 para mais detalhes sobre redes). A linha 12 declara um cliente *Ethernet* chamado “client”. As demais linhas, até a linha 22, são declarações de variáveis que serão utilizadas ao longo do código.

Em seguida, o código executa sua primeira função - *void setup()* - que é responsável pela configuração geral do Arduino. Aqui, são definidos os pinos de I/O e inicializado o servidor *Web*, bem como são ativadas as comunicações serial (com *baudrate de 9600*) e TCP/IP. O trecho de código abaixo ilustra esses procedimentos.

```
1 void setup () {  
3     analogReference (INTERNAL) ;  
     pinMode (LM35 , INPUT) ;  
5     pinMode (3 , INPUT) ;  
     pinMode (5 , INPUT) ;  
7     pinMode (6 , OUTPUT) ;
```

```
pinMode(7, OUTPUT);
9 pinMode(8, OUTPUT);
pinMode(9, OUTPUT);
11 Ethernet.begin(mac, ip);
server.begin();
13 Serial.begin(9600);
15 }
```

Na linha 3 do código apresentado, a referência para os pinos analógicos do Arduino é configurada para “INTERNAL”. Este artifício é utilizado para conseguir melhor precisão na medida da temperatura com o LM35. O pino A0 (LM35) é definido como entrada (INPUT), e receberá as tensões provenientes do sensor de temperatura. Os pinos 3 e 5 são configurados como entrada (INPUT), e receberão as tensões dos sensores *hall*, quando esses sensores forem ativados. Os pinos de 6 a 9 são definidos como saídas, e enviarão os pulsos para o *driver* de acionamento, que, por sua vez, move o motor.

A função principal do código vem a seguir: *void loop()*. É aqui que o código realmente funciona: fazendo cálculos, armazenando valores, lendo sensores, enviando pulsos e requisitando outras funções. Abaixo, um trecho de código mostra o início da função.

```
1 void loop() {
3     valorLido = analogRead(LM35);
    temperatura = valorLido/9.31;
5     Serial.print("Temperatura: ");
    Serial.println(temperatura);
7     delay(400);
9     pagina();
11    if(readString.indexOf("bobina1on") >0){
13        digitalWrite(6, HIGH);
        digitalWrite(7, LOW);
15        digitalWrite(8, LOW);
        digitalWrite(9, LOW);
17        EEPROM.write(addr, 1);
        delay(tempo);
```

19

}

A primeira coisa que a função *void loop()* faz é ler o pino analógico do Arduino, que recebe informações (tensões) do sensor de temperatura LM35. Assim, na linha 4, é feito o cálculo da temperatura de acordo com o método descrito em (ARDUINO, 2016a) para se obter melhor resolução para os valores medidos. Para um teste de comunicação, as linhas 5 e 6 imprimem na porta serial, a *String* “Temperatura: ” seguida do valor da temperatura calculado na linha 4. Então, a palavra “Temperatura: 25”, por exemplo, pode ser visualizada no monitor serial da própria IDE do Arduino, ou por algum outro dispositivo que se comunique pelo protocolo serial. As leituras de temperatura são calculadas e enviadas à porta serial a cada nova iteração da função *void loop()*, assim como todas as outras funções e condições (if/else).

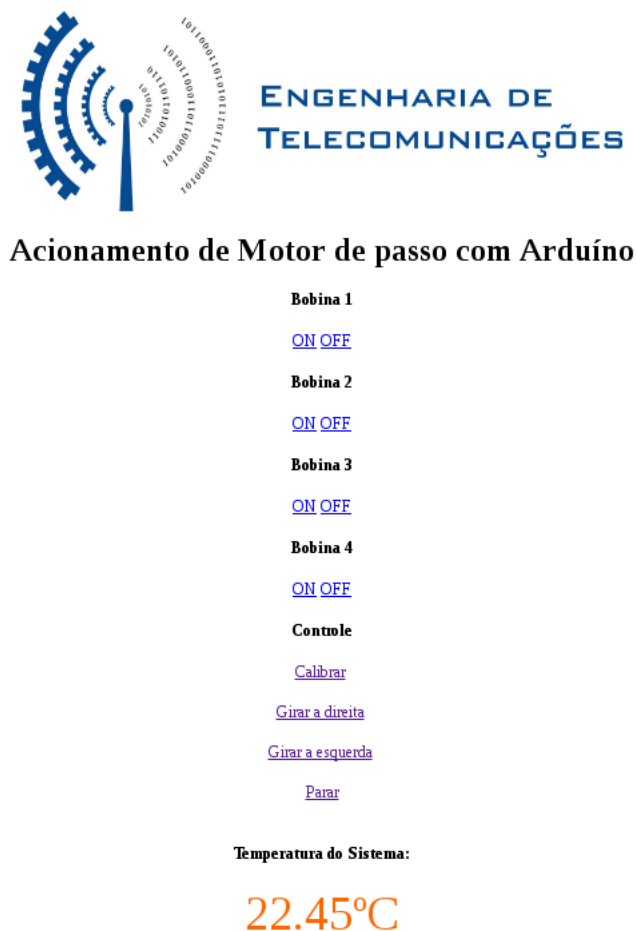
Após esperar um tempo de 400 ms (linha 7), a função “pagina()”, na linha 9, é chamada. Essa função tem três objetivos principais: ficar aguardando novas requisições de um cliente (navegador de internet, por exemplo); se uma requisição de cliente chegar, estabelecer a conexão e enviar ao cliente o HTML da página Web; e por último, ler e armazenar, na variável *readString*, os comandos enviados por um usuário, para tomada de decisão. A Fig. 30 mostra o *layout* da página, visto por um usuário através de um navegador cliente.

Quando a função “pagina()” termina sua execução, o código retorna à função *void loop()*, e retoma a execução de onde parou. Caso um usuário tenha clicado na opção de acionar a bobina 1, o trecho de código das linhas 11 até 20 é executado. Esse trecho de código aciona a primeira fase da sequência de acionamento das bobinas do motor, e mantém as outras fases desligadas. Logo em seguida, na linha 17, o inteiro “1” é armazenado na EEPROM do microcontrolador do Arduino para registrar que a bobina foi acionada. O trecho de código das linhas 11 a 20 é repetido para as outras 3 fases de acionamento. Note-se que as funções de controle estão todas fora da função *void loop()*, elas apenas são chamadas quando um retorno da função *void pagina()* as invoca, e após sua execução, retornam à função *void loop()*.

As funções de controle para a estrutura giratória são:

- ***void calibrar()***: Função que realiza o posicionamento automático da estrutura para que essa fique exatamente na origem (0°). Para tanto, a estrutura é girada



Figura 30: *Layout* da página HTML de controle do sistema giratório.

no sentido horário, até que um ímã fixado na estrutura encontre um dos sensores *hall* e o acione. Caso a estrutura esteja posicionada a um ângulo  $0^\circ < \theta < 180^\circ$ , ela irá girar no sentido horário até  $180^\circ$ , encontrar o segundo sensor *hall*, retornar no sentido anti-horário até encontrar o primeiro sensor *hall* (posicionado na origem), e então parar. Por outro lado, se a estrutura estiver posicionada a um ângulo  $180^\circ < \theta < 360^\circ$ , ela irá girar no sentido horário e encontrará o primeiro sensor *hall* diretamente, sem o auxílio do segundo sensor. Este artifício de calibragem foi escolhido para não haver enrolamentos dos fios da antena em teste - perceba-se que o sistema nunca dá uma volta completa de  $360^\circ$ , e sim duas voltas de  $180^\circ$  cada, uma no sentido horário e outra no sentido anti-horário;

- *void automaticoh()*: Essa função é chamada quando algum usuário clica em

“Girar a direita”, na página *Web* da Fig. 30. Quando isso acontece, a *String* “*readString*” guarda o valor “*authon*”, que é o responsável por acionar a função “*automaticoh()*”, que por sua vez, tem a tarefa de acionar as fases das bobinas do motor. A função “*automaticoh()*” é executada até que a posição da estrutura esteja em 180° ou até que o usuário clique em parar. Quando a estrutura chega em 180°, ela retorna automaticamente para 0°, e então para. Abaixo é descrito um trecho de código que caracteriza a função ‘*automaticoh()*’.

```
void automaticoh () {
2
   statePin3=digitalRead (3);
4   statePin5=digitalRead (5);

6   while (readString.indexOf ("authon") > 0 && statePin3==LOW) {

8       value = EEPROM.read (addr);

10      if (value == 1) {

12          digitalWrite (6, LOW);
13          digitalWrite (7, HIGH);
14          digitalWrite (8, LOW);
15          digitalWrite (9, LOW);
16          EEPROM.write (addr, 2);
17          delay (tempo);

18          pagina ();

20          statePin3=digitalRead (3);
21          statePin5=digitalRead (5);

24          if (readString.indexOf ("parar") >0 || statePin5==HIGH) {

26              desligar ();

28          }

30          if (statePin3==HIGH) {

32              voltar ();

34          }
```

```
36     else {  
38         digitalWrite(6, LOW);  
         digitalWrite(7, LOW);  
40         digitalWrite(8, HIGH);  
         digitalWrite(9, LOW);  
42         EEPROM.write(addr, 3);  
         delay(tempo);  
44     }
```

Note-se que a função “pagina()” é sempre chamada entre as execuções dos códigos. Isso é necessário para verificar, em tempo real, se o usuário clicou em algum novo comando, como “parar”, por exemplo. As linhas dentro do “while”, no código acima, são repetidas para todas as fases das bobinas, bem como para todos os valores possíveis que podem estar na EEPROM do microcontrolador. Assim sendo, a função “automaticoh()” toma decisões de acordo com a última fase acionada do motor, para que a sequência de acionamento não saia da ordem correta;

- **void automaticoah():** Essa função é idêntica à função “void automaticoh()”, diferindo apenas na sequência de acionamento das fases. Aqui, a sequência faz com que a estrutura gire no sentido anti-horário. O comando que invoca a função “void automaticoah()”, quando um usuário clica em “Girar à esquerda”, é “autahon”. Novamente, aqui o comando é passado para a função correspondente através da String “readString”;
- **void voltar():** A função “voltar()” é utilizada pela função “calibrar()” e pela função “automaticoh()” para retornar à origem (0°), fazendo o acionamento das fases no sentido anti-horário. Assim sendo, quando a estrutura estiver em 180° tendo partido de 0°, ela retorna automaticamente para a origem, e então, para;
- **void voltar2():** É utilizada pela função “void automaticoah()” para retornar à origem, e aciona as fases no sentido horário. Quando a estrutura encontra a origem (sensor 1 em 360°), a função “voltar2()” termina sua execução e desliga as fases das bobinas, fazendo com que a estrutura pare. O código então, volta para a função “void loop()” e começa tudo novamente, até que algum cliente faça nova requisição;

- ***void desligar()***: Como o próprio nome sugere, essa função é responsável por desligar as fases das bobinas do motor, ou seja, interromper qualquer tipo de movimento da estrutura. A função “*desligar()*” também limpa o conteúdo da variável “*readString*”, para assegurar que nenhum comando seja executado. Abaixo é descrita a função “*desligar()*”, em um trecho de código.

```
1 void desligar () {  
3     digitalWrite (6, LOW);  
     digitalWrite (7, LOW);  
5     digitalWrite (8, LOW);  
     digitalWrite (9, LOW);  
7     readString="";  
     readString="";  
9 }  
}
```

A função “*pagina()*” merece uma atenção especial, e está descrita no trecho de código abaixo.

```
1 void pagina () {  
3     EthernetClient client = server.available ();  
5     if (client) {  
         while (client.connected ()) {  
7             if (client.available () > 0) {  
                 char c = client.read ();  
9                 if (readString.length () < 100) {  
                     readString += c;  
11                }  
13                if (c == '\n') {  
                    client.println (F ("HTTP/1.1 200 OK"));  
15                    client.println (F ("Content-Type: text/html"));  
                    client.println ();  
17                    client.println (F ("<HTML>"));  
                    client.println (F ("<HEAD>"));  
19                    client.println (F ("<TITLE>Arduino – Acionamento de Motor de passo </  
TITLE>"));  
                    client.println (F ("</HEAD>"));  
                }  
            }  
        }  
    }  
}
```

```
21     client.println(F("<BODY><center><img src=
colocar_aqui_o_caminho_para_a_img height=200 width=600 align=bottom></
center>"));

23     client.println(F("<center><H1>Aacionamento de Motor de passo com Ardu&
iacute;no</H1></center>"));
    client.println(F("<center>"));

25

    client.println(F("<h4>Bobina 1</h4>"));
27     client.println(F("<a href=\"/?bobina1on\" target=\\"inlineframe\\">ON</
a>"));
    client.println(F("<a href=\"/?bobina1off\" target=\\"inlineframe\\">OFF
</a>"));

29

    client.println(F("<h4>Bobina 2</h4>"));
31     client.println(F("<a href=\"/?bobina2on\" target=\\"inlineframe\\">ON</
a>"));
    client.println(F("<a href=\"/?bobina2off\" target=\\"inlineframe\\">OFF
</a>"));

33

    client.println(F("<h4>Bobina 3</h4>"));
35     client.println(F("<a href=\"/?bobina3on\" target=\\"inlineframe\\">ON</a>
"));
    client.println(F("<a href=\"/?bobina3off\" target=\\"inlineframe\\">OFF</
a>"));

37

    client.println(F("<h4>Bobina 4</h4>"));
39     client.println(F("<a href=\"/?bobina4on\" target=\\"inlineframe\\">ON</a>
"));
    client.println(F("<a href=\"/?bobina4off\" target=\\"inlineframe\\">OFF</
a>"));

41     client.println(F("<h4>Controle</h4>"));
    client.println(F("<a href=\"/?calibrar\" target=\\"inlineframe\\">
Calibrar </a>"));

43     client.print(F("<BR>"));
    client.print(F("<BR>"));

45     client.println(F("<a href=\"/?authon\" target=\\"inlineframe\\">Girar a
direita </a>"));
    client.print(F("<BR>"));

47     client.print(F("<BR>"));
    client.println(F("<a href=\"/?autahon\" target=\\"inlineframe\\">Girar
a esquerda </a>"));

49     client.print(F("<BR>"));
```

```

    client.print(F("<BR>"));
51    client.println(F("<a href=\"/?parar\" target=\"inlineframe\">Parar</a
    >"));
    client.println(F("</center>"));
53
    client.print(F("<BR>"));
55
    client.print(F("<center><h4>Temperatura do Sistema: </h4> <font size
    =7> <font color=\"#ff6600\">  "));
57    client.print(temperatura);
    client.print(F("&#186;C </font></font></center>"));
59    client.print(F("<BR>"));
    client.println("<video id=video src=http://10.2.6.176/desktop.ogg
    type=video/ogg; codecs=theora autoplay=autoplay>");
61    client.println(F("<IFRAME name=inlineframe style=\"display:none\" >")
    );
    client.println(F("</IFRAME>"));
63    client.println(F("</BODY>"));
    client.println(F("</HTML>"));
65    delay(1);
    client.stop();
67
    }
69
    }
71
    }
73
    }
}

```

No código acima, as linhas de 3 a 11 são responsáveis por monitorar requisições de clientes, bem como estabelecer a conexão entre ambos (cliente e servidor). Após a “conversa” de estabelecimento de conexão, uma nova linha em branco é enviada pelo cliente, no caso de este ser um cliente HTTP (*Hyper-Text Transfer Protocol*), como um navegador de internet, por exemplo. Esta é justamente a condição para executar o “if” da linha 13 (\n = nova linha), a qual enviará para o cliente todo o código HTML da página Web de controle. Percebe-se, na linha 21, que é possível adicionar *links* para imagens no código HTML.

A função “*client.println()*” é quem envia o texto do HTML para o cliente. A função “*F()*” que aparece dentro da função “*client.println()*”, serve para poupar a memória dinâmica do Arduino. Esta função indica ao compilador que os trechos de texto fixo, a serem enviados para um cliente através da função “*println()*” e seus derivados, não devem ser copiados para a RAM. De acordo com a Tabela 4, o Arduino possui apenas 2kB de memória RAM, logo, seu limite teria excedido em muito sem a ajuda da função “*F()*” (CAMPOS, 2015b).

Na linha 60, tem-se a tag “*video*” do HTML. Ela serve para reproduzir um “*streaming*” de vídeo na página *Web*, proveniente de algum servidor na rede ou na internet. No caso da linha 60, existe um servidor de “*streaming*” na rede local no endereço de IP “*http://10.2.6.176*”, que está disponibilizando um fluxo de vídeo compactado em *ogg* utilizando o *codec theora*. Assim, é possível instalar um módulo de monitoramento via *webcam* no sistema do posicionador, de modo a visualizar, em tempo real, a medição caso esta seja feita dentro de uma câmara anecoica. Para disponibilizar o fluxo de imagem de uma *webcam* na rede, foi utilizado o *player* de vídeo “VLC”, atuando como servidor de “*streaming*” de vídeo.

A linha 65 executa um intervalo de tempo (*delay*) de 1ms, e a linha 66 encerra a comunicação cliente-servidor.

## 3.6 Interface Matlab

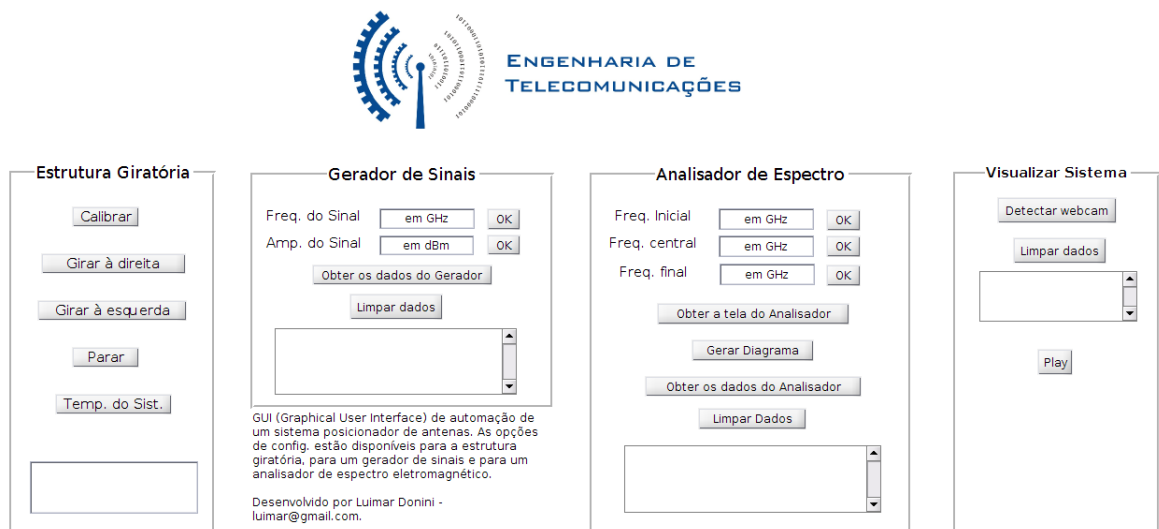
*Matlab* é uma linguagem de programação voltada ao desenvolvimento de algoritmos de natureza técnica. O nome *Matlab* vem de *Matrix Laboratory*, e foi originalmente desenvolvido para prover um acesso amigável ao tratamento de vetores e matrizes, aliás, os elementos básicos da linguagem são exatamente vetores e matrizes.

Atualmente, o *Matlab* dispõe de uma poderosa biblioteca de funções matemáticas, geração de gráficos e manipulação de dados que auxiliam muito o trabalho do programador. E ainda possui uma vasta coleção de bibliotecas denominadas *toolboxes*, utilizadas para áreas específicas como: equações diferenciais ordinárias, estatística, processamento de imagens, processamento de sinais, finanças, aeroespacial, controle de instrumentos, e várias outras.

A linguagem e o ambiente de programação permitem ainda que o usuário possa escrever suas próprias bibliotecas em *Matlab*. Assim, o usuário pode contribuir com a linguagem, incorporando a ela novas funções.

O fato de o *Matlab* possuir diversas funções prontas para se trabalhar com vetores e plotar gráficos foi que levou à escolha da utilização do *software*. Além disso, a comunicação com dispositivos externos tais como analisadores de espectro e Arduino, pode ser feita através de vários protocolos, como o protocolo TCP/IP utilizado para este trabalho. Este fato permite que o controle de todos os dispositivos do sistema de medidas possa ser feito via *Matlab*. A interface desenvolvida é apresentada na Fig. 31.

Figura 31: Interface *Matlab* de controle do sistema de medição.



O painel à esquerda na Fig. 31, possui os botões de controle da estrutura giratória, e realiza as mesmas funções que a página *Web*. O comando do *Matlab*, responsável por enviar sinais de controle ao Arduino, é o comando “*urlread()*”, que leva como parâmetro o endereço IP que se quer acessar, seguido do comando que executa a função desejada. O comando “*urlread()*” retorna todo o texto da URL que está acessando, no caso da página *Web* do *Ethernet Shield*, todo o código HTML da página é retornado ao *Matlab*. Estes dados de retorno não são úteis neste caso. Entretanto, ao enviar o endereço IP seguido do comando que executa uma função, como parâmetro da função “*urlread()*”, ela fará com que o comando seja executado pelo HTML da página, identicamente a um navegador. O comando “*urlread('http://10.2.6.201/?calibrar')*”, por exemplo, envia o comando para a calibragem do posicionador, supondo um *Ethernet Shield* com um servidor *Web* rodando no IP “10.2.6.201”. O mesmo comando é utilizado pelos outros botões de controle, mudando apenas o parâmetro que aciona a função correspondente (após o ponto de interrogação).



Nos dois painéis do meio, na Fig. 31, encontram-se os botões de configuração do gerador de sinais e do analisador de espectro. Para o gerador de sinais, apenas a amplitude e a frequência do sinal a ser transmitido devem ser configurados, pois o comando que ativa a saída de RF está implícito no comando que configura a amplitude do sinal. A opção de obter dados, tanto do gerador quanto do analisador, serve para testar a comunicação entre o *Matlab* e estes dispositivos. Em caso de se estabelecer corretamente a conexão TCP/IP, os dados dos dispositivos tais como fabricante, nome e modelo, são imprimidos na caixa de texto abaixo do botão “Limpar dados”. O botão “Limpar dados”, como o próprio nome sugere, exclui o conteúdo da caixa de texto, para que esta fique disponível para uma nova consulta.

Para enviar os dados digitados pelo usuário, para ambos gerador e analisador, são utilizados comandos SCPI (ver seção 2.8), além do protocolo de comunicação TCP/IP. O código *Matlab* que implementa a função para ajustar a frequência inicial do analisador de espectro, é apresentado a seguir:

```

1 function pushbutton18_Callback(hObject, eventdata, handles)
3  freq_start = get(handles.edit7, 'String');
   mxa_ip = '10.2.6.202';
5  mxa_port = 5025;
   mxa = tcpip(mxa_ip, mxa_port);
7  fopen(mxa);
   scpi_freq_start = ':FREQ:STAR %s GHz\n';
9  fprintf(mxa, scpi_freq_start, freq_start);

11 fclose(mxa);
   delete(mxa);
13 clear mxa;

```

Quando um usuário digita um valor de frequência (por exemplo: 1.5) na caixa de texto e clica em “OK”, a função “pushbutton18\_Callback()” acima, é chamada. Na linha 3, a função “*get()*” captura uma *String* digitada no campo de texto nomeado como “edit7”, que nesse caso, é a frequência digitada pelo usuário. As linhas 4 e 5, definem o endereço IP para onde os comandos serão enviados e a porta de conexão, neste caso, o IP e porta do analisador de espectro. Na linha 6, é criado um objeto TCP/IP e armazenado na variável “*mx*”. Na linha 7, a conexão é estabelecida. A linha 8 cria o texto com o comando SCPI apropriado para ser enviado ao analisador. Percebe-se que o comando

SCPI está em sua forma compacta e que possui um caractere de dois pontos (:) no começo, ou seja, refere-se à raiz da árvore de comandos. O comando “:FREQ:STAR <VALOR> GHz”, onde “<VALOR>” é definido pelo usuário, ajusta a frequência inicial do analisador de espectro para “VALOR GHz”. Na linha 9, o comando SCPI é construído por meio da concatenação da *String* da linha 8 com a *String* que guarda o valor digitado pelo usuário (*freq\_start*). Esse comando é imprimido no instrumento por meio do objeto TCP/IP criado (*mx*), que é parâmetro da função “fprintf()”. As linhas 11 a 13 encerram a comunicação com o instrumento.

É importante salientar que o analisador de espectro deve estar devidamente configurado e com os parâmetros de rede apropriados para que a conexão seja estabelecida, podendo-se assim, controlar remotamente o instrumento. As funções que implementam os ajustes de frequências central e final possuem a mesma sintaxe da função utilizada para a frequência inicial descrita anteriormente, mudando apenas o comando SCPI e o valor da frequência a ser enviado para o instrumento. Por exemplo, para ajustar uma frequência central de 2 GHz, o comando SCPI seria “:FREQ:CENT 2.0 GHz”, e para uma frequência final de 2.5 GHz, o comando utilizado é “:FREQ:STOP 2.5 GHz”.

As sintaxes das funções descritas para o analisador de espectro valem para o gerador de sinais. As únicas variáveis que diferem do código anterior são o IP do instrumento, porta de conexão, comando SCPI e o campo de texto onde o usuário digita o valor desejado.

Para a obtenção dos dados dos instrumentos, quando um usuário clica em “Obter dados do instrumento”, é implementada a função abaixo:

```

function pushbutton19_Callback(hObject, eventdata, handles)
2
    mxa_ip = '10.2.6.202';
4    mxa_port = 5025;
    mxa = tcpip(mxa_ip, mxa_port);
6    fopen(mxa);
    idn = query(mxa, '*IDN?');
8    set(findobj(gcf, 'Tag', 'edit8'), 'String', idn);
    fclose(mxa);
10   delete(mxa);
    clear mxa;

```

Note-se, na linha 7 do código acima, o comando SCPI descrito na Tabela 5,

responsável pela identificação dos instrumentos. A linha 8 apenas escreve, na caixa de texto, os caracteres recebidos referentes à identificação do instrumento (variável “idn”). Como pode ser visto nos códigos apresentados, o método de comunicação entre computador e instrumento é sempre o mesmo (TCP/IP).

O código que implementa a função de obter a tela do analisador é apresentado a seguir:

```

1 function pushbutton22_Callback(hObject, eventdata, handles)
3  mxa_ip = '10.2.6.202';
   mxa_port = 5025;
5  mxa=tcPIP(mxa_ip, 5025);
   set(mxa, 'InputBufferSize', 100000);
7  fopen(mxa);
   fprintf(mxa, ':FORM:DATA REAL,32 ');
9  nr_points = str2double(query(mxa, ':SWE:POIN?'));
   ref_lev = str2num(query(mxa, 'DISP:WIND:TRAC:Y:RLEV?'));
11 fprintf(mxa, ':TRAC? TRACE1');
   data = binblockread(mxa, 'float32 ');
13 fscanf(mxa);

15 figure(1)
   plot(1:nr_points, data)
17 xlim([1 nr_points])
   ylim([ref_lev-100 ref_lev])
19 grid on
   title('Swept SA trace')
21 xlabel('Point index')
   ylabel('Amplitude (dBm)')
23
   fclose(mxa);
25 delete(mxa);
   clear mxa;

```

A linha 6 do código ajusta o tamanho do *buffer* de entrada para receber os dados dos traços da tela. Esse parâmetro deve ser de pelo menos 4 vezes o número de pontos de traços para um formato real de 32 bits. A linha 8 define o formato de dados da tela para Real de 32 bits. A operação da linha 9 retorna e armazena o número de pontos da tela do instrumento. A linha 10 obtém o nível de referência do instrumento. As linhas 11 a 13

capturam e armazenam os dados dos traços da tela. As linhas 15 a 22 encarregam-se da plotagem dos dados obtidos, na tela do computador. Deste modo, é possível visualizar a tela do instrumento, remotamente e em tempo real. Perceba-se a contínua utilização de comandos SCPI embarcados no código *Matlab*.

O painel mais à direita na Fig. 31 - Visualizar sistema - é capaz de controlar uma *webcam* instalada no sistema de medidas, para visualização remota. Como nos outros painéis de controle da interface, o botão “Detectar *Webcam*” serve para verificar a existência de um dispositivo de captura de vídeo e retornar seus dados de configuração (da *webcam*) na caixa de texto. Em caso de comunicação bem sucedida, o botão “Play” é capaz de acionar o fluxo de vídeo da *webcam*, como descrito em (MATHWORKS, 2016).

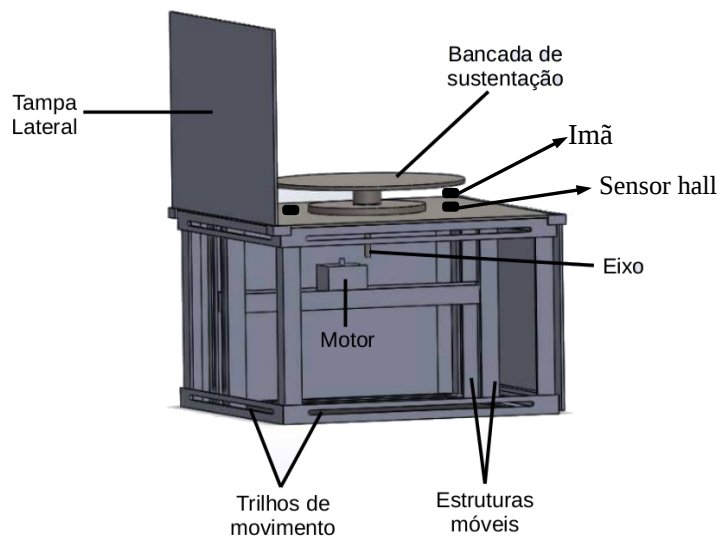
### 3.7 Estrutura giratória

A estrutura giratória foi desenhada de maneira a ser adaptável, isto é, estruturas móveis permitem que se façam ajustes no posicionador, a fim de acomodar um motor maior ou algum tipo de circuito, caso seja necessário. A Fig. 32 ilustra a estrutura projetada. Como pode ser observado, a estrutura possui trilhos de movimento que permitem que peças móveis possam ser realocadas. Isto permite que a estrutura seja adaptável nas três dimensões do sistema de coordenadas espaciais ( $x$ ,  $y$  e  $z$ ). Nas tampas laterais da estrutura existem dobradiças, para que se tenha acesso à parte interna do posicionador. A bancada de sustentação é movida pelo eixo da estrutura, que é conectado ao eixo do motor de passo. Além disso, um rolamento é colocado no eixo da estrutura para suavizar e diminuir o atrito do movimento. Este passo de projeto foi feito em parceria com um aluno do curso de Engenharia Mecânica.

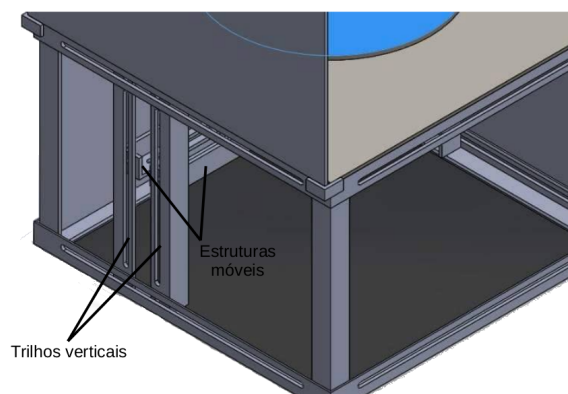
A estrutura foi feita em aço, de modo que foi necessário colocar absorvedores planares na mesma para evitar a reflexão das ondas eletromagnéticas. Os sensores *hall* foram colados nos absorvedores e ligados ao Arduino por meio de fios, que passam por baixo dos absorvedores.

A montagem final resultou em uma estrutura giratória extremamente leve (por causa do rolamento) e resistente (feita em aço). Um pequeno problema foi que a bancada de sustentação ficou ligeiramente inclinada. Este problema foi resolvido, em partes, com a compensação da inclinação no nivelamento do cano de sustentação das antenas, o qual vai em cima da bancada. No capítulo 4 são apresentadas as imagens do sistema montado na prática, onde é possível ver os componentes mencionados anteriormente. Entretanto,

Figura 32: Estrutura giratória.



(a) Detalhes de projeto.



(b) Partes móveis verticais

na Fig. 33, é possível visualizar imagens da estrutura isolada, ou seja, não conectada ao restante do sistema. Percebe-se, a presença de canos de PVC (*Polyvinyl Chloride*), que servem para a fixação e sustentação das antenas em teste. Também, nota-se a presença dos já mencionados absorvedores planares colados à estrutura, bem como dos sensores *hall*, abaixo da bancada de sustentação.

Figura 33: Estrutura giratória após montagem.



(a) Vista completa.



(b) Vista lateral.

(c) Sensor *hall*.

(d) Vista frontal.

## 4 Montagem do Sistema e Resultados

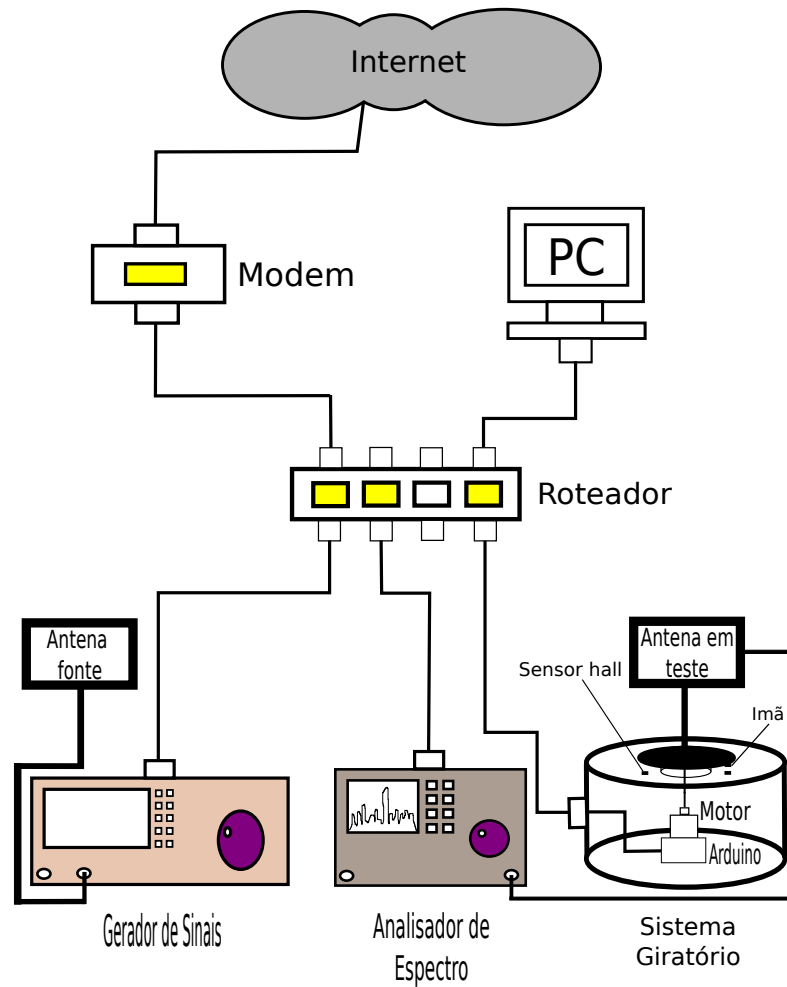
Após ter testado todas as partes do sistema individualmente, passou-se à sua montagem completa. O resultado ficou como ilustrado na Fig. 34. Como pode ser visto, o sistema fica disponível para acesso externo (internet). Entretanto, os testes realizados foram todos feitos em uma estrutura de rede local (LAN) utilizando a topologia em estrela (ver seção 2.9). Após conectados os equipamentos na rede (para gerar e obter a amplitude do sinal), ambos (gerador e analisador) foram configurados para operar em uma frequência central de 2,595 GHz. A configuração dos equipamentos foi toda realizada através da interface descrita na seção 3.6.

Para validar o sistema desenvolvido, foi realizada a caracterização do diagrama de irradiação de uma antena de microfita recebendo sinais em 2,595 GHz. Esta antena foi validada em campo distante (câmara anecoica) no IFI (Instituto de Fomento e Coordenação Industrial do Departamento de Ciência e Tecnologia Espacial) e construída na Universidade Federal do Pampa - campus Alegrete - conforme descrito em (SCHLOSSER, 2014). A Fig. 35 mostra a antena sendo validada em campo distante. Para a obtenção do diagrama de irradiação em campo próximo, foi utilizado um *Near Field Scanning* (NFS), na UNIPAMPA, conforme pode ser visto na Fig. 36.

O cenário de testes para o sistema de medição desenvolvido pode ser descrito da seguinte maneira: uma antena transmissora, operando em 2,595 GHz, foi conectada ao gerador de sinais e posicionada a uma distância de campo distante - mais do que 2 metros, neste caso - da antena receptora; no lado receptor, a antena em teste foi fixada ao sistema posicionador e conectada ao analisador de espectro. Todos os dispositivos - analisador de espectro, gerador de sinais, posicionador e controlador (computador) - foram interligados por meio de um roteador. Com as devidas ligações feitas, todo o controle da medição foi realizado através de um *notebook* contendo a interface em *Matlab*. Os parâmetros ajustados na interface, em relação a configuração do *setup* de medição para a antena de 2,595 GHz, podem ser visualizados na Fig. 37, enquanto que o cenário de medição, nas Fig. 38 e 39.

A Fig. 38 mostra uma foto do cenário onde foram feitos os testes do sistema de medição. A antena transmissora foi fixada em um pedestal, para que a mesma não balançasse durante a medida, e para que se pudesse ajustar sua altura. A Fig. 39 mostra a parte de recepção do sinal, onde encontram-se a antena em teste, o analisador de espectro

Figura 34: Ilustração do sistema de medição completo, após montagem.

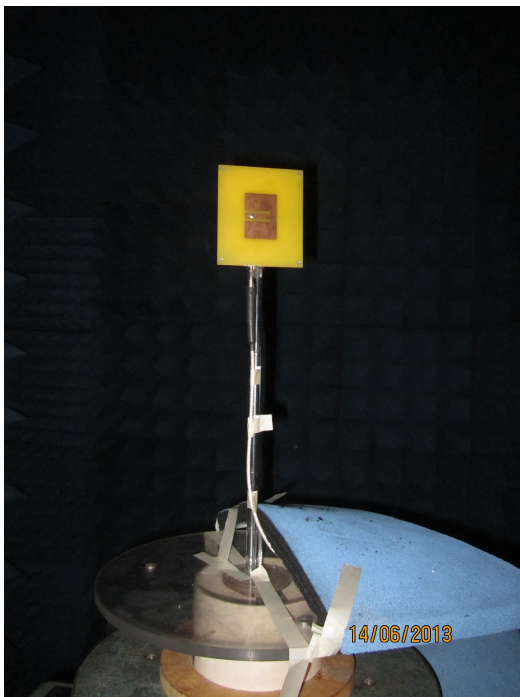


e o sistema posicionador.

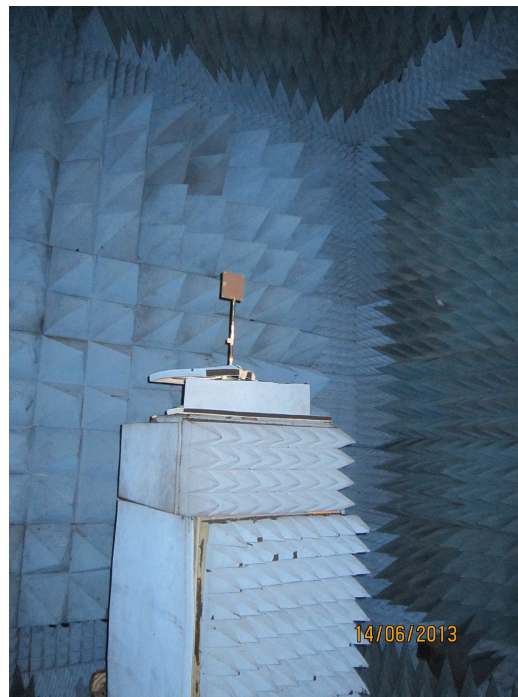
Para proceder com a medida, primeiramente calibrou-se o sistema para que o mesmo, após a colocação da antena em teste, ficasse posicionado exatamente na origem, isto é, em visada direta com a antena transmissora. Após a calibração, foi realizada a medida no sentido horário, ou seja,  $0^\circ \leq \theta \leq 180^\circ$ . As amplitudes recebidas pela antena em teste, para cada ângulo de rotação, foram guardadas em um vetor no *Matlab*. Em seguida, realizou-se a medida no sentido anti-horário ( $180^\circ \leq \theta \leq 360^\circ$ ), procedendo-se da mesma forma. O vetor resultante foi plotado juntamente com um vetor “*theta*”, que



Figura 35: Antena sendo validada na câmara anecoica do IFI.



(a) Visualização frontal da antena.



(b) Câmara anecoica e visualização traseira da antena.

representa os ângulos de passo da estrutura giratória, neste caso, passos de  $1,8^\circ$ . Após a medição e plotagem do diagrama, a curva obtida foi comparada às curvas que validaram a antena em teste. A Fig. 40 mostra as curvas mencionadas, plotadas em um mesmo gráfico para o plano H. É possível ver que todas as curvas apresentam comportamentos parecidos, sendo a curva em azul obtida através do sistema de medição aqui descrito. As imperfeições nos lóbulos traseiros (curva em azul), devem-se às reflexões da onda eletromagnética em objetos metálicos e paredes de concreto que circundavam o ambiente em que foi feita a medida. Mesmo assim, o diagrama obtido com o sistema de medição em espaço livre apresenta comportamento quase idêntico, na direção de apontamento principal, aos diagramas obtidos em simulação, câmara anecoica e NFS. Percebe-se que a curva em preto, na Fig. 40, é a que mais destoa dentre todas. Esta curva foi obtida em câmara anecoica, utilizando-se o *Near Field Scanning*. A curva em vermelho foi obtida através de um *software* de simulação eletromagnética chamado HFSS, e a curva em verde foi gerada na câmara anecoica do IFI.

Outra curva de interesse é o diagrama no plano E da antena em teste, o qual é mostrado na Fig. 41 juntamente com as curvas obtidas por simulação, câmara anecoica e

Figura 36: Antena sendo validada em campo próximo em um NFS.

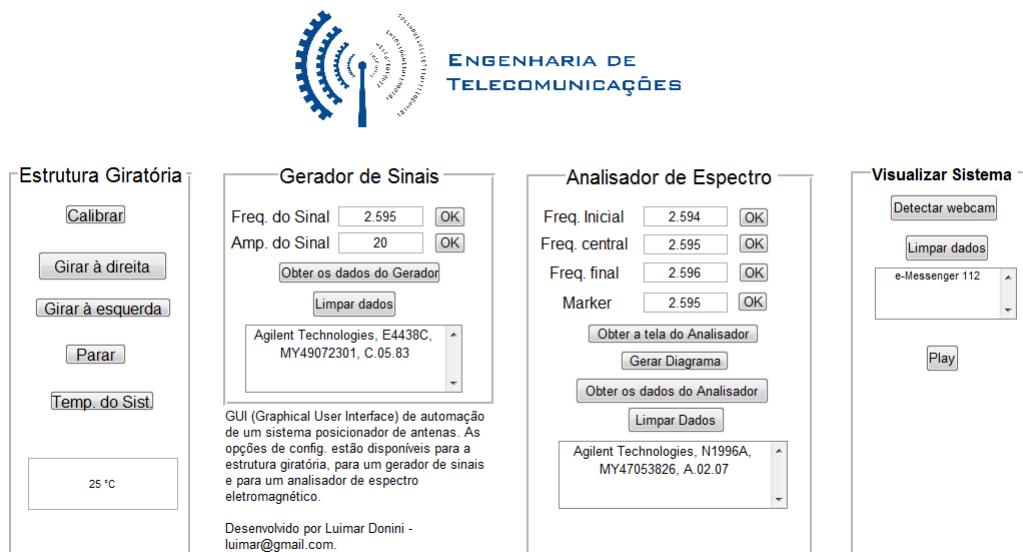


NFS.

O sistema projetado também foi utilizado para gerar o diagrama de irradiação, em campo distante e em espaço livre, de uma rede de antenas filamentosas cujo propósito é ser embarcada em um modelo real de aeronave radiocontrolada (YOSHIMOTO, 2016). Para esta medição, utilizou-se como antena transmissora um diedro refletor transmitindo sinais em uma frequência de 5,8 GHz. O diedro utilizado como transmissor pode ser visualizado na Fig. 42(a), e a rede de antenas filamentosas em teste é mostrada na Fig. 42(b).

A rede de antenas filamentosas em teste foi medida em três posições diferentes, e os diagramas obtidos em espaço livre foram plotados juntamente com os obtidos através de simulação eletromagnética (HFSS) e NFS. As Fig. 43, 44 e 45 ilustram a vista superior, lateral e frontal, respectivamente, do diagrama de irradiação que caracteriza a rede de antenas em teste. Note-se que os diagramas são apresentados de forma espelhada, uma

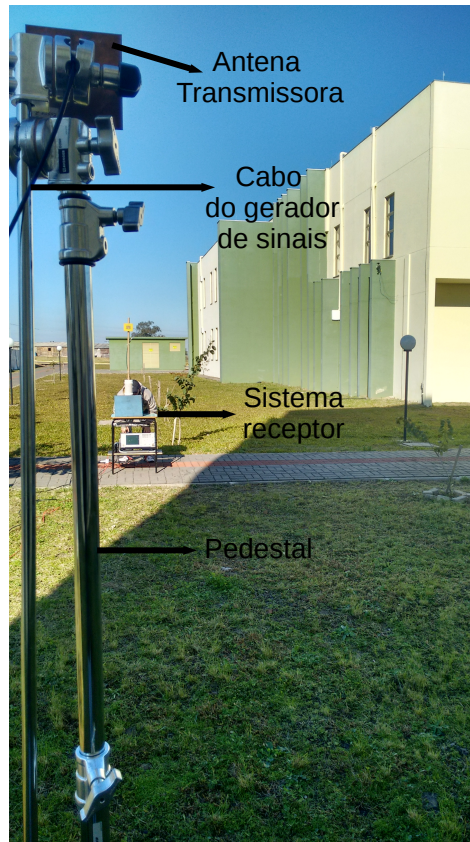
Figura 37: Interface com os parâmetros de configuração.



vez que a rede filamentar é simétrica.

As medidas realizadas para a antena em formato E (Fig. 39) e para a rede de antenas filamentosas apresentaram algumas discrepâncias em relação às curvas obtidas pelo NFS e HFSS, mostrando a necessidade de ambientes adequados para se instalar os equipamentos de medição. Neste sentido, não deveriam haver obstáculos no local, os quais provocam a reflexão da onda eletromagnética irradiada pela antena transmissora. No cenário em que foram realizadas as medições, o sistema ficou sujeito à interferências de prédios localizados entre 10 a 20 metros do posicionador. Como solução, a aplicação de uma antena transmissora mais diretiva poderia fornecer melhores resultados para as medidas, além da escolha de um ambiente mais adequado para medição. Outro fator que contribuiu para algumas imperfeições nas curvas obtidas foram as deficiências mecânicas do sistema, tais como o baixo torque do motor de passo. A solução mais conveniente, para este caso, seria a substituição do motor atual por um com maior torque. Reflexões da onda eletromagnética no solo, em árvores próximas e no próprio posicionador, também afetaram, em partes, o desempenho do sistema. Também, o alinhamento das antenas transmissoras e receptoras não foi realizado a partir de equipamento adequado para nivelar a estrutura, desta forma, a bancada de sustentação e as orientações das antenas podem ter ficado desnivelada e desalinhada, respectivamente.

Figura 38: Antena transmissora utilizada no sistema de medição - 2,595GHz.



A rede de antenas filamentosas da Fig. 42(b) foi medida em um dia que estava ventando, fazendo com que a estrutura balançasse, e, conseqüentemente, produzisse *ripples* na curva dos diagramas de irradiação.

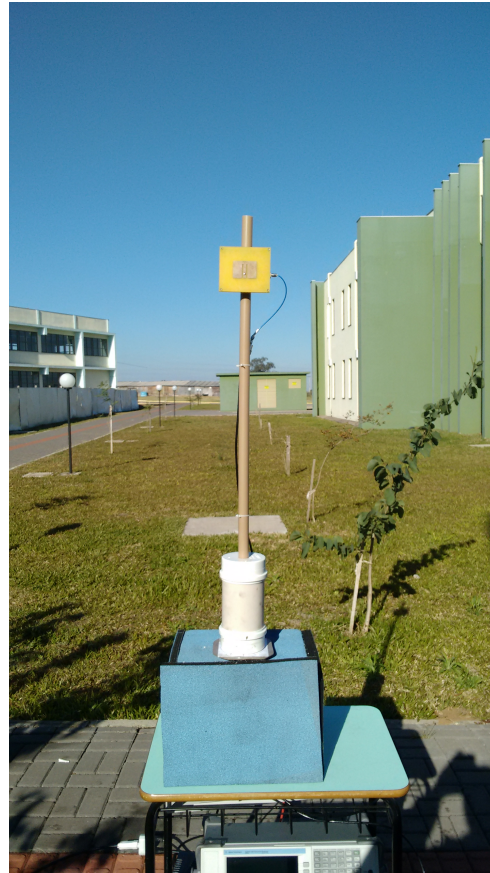
As medições, sem levar em consideração a montagem do sistema, foram feitas em um tempo médio de dez minutos cada uma, visto que o tempo de medição depende das configurações de aquisição de dados. A cada passo do motor, o valor da amplitude do sinal recebido pela antena em teste era lido do analisador de espectro através do *Matlab*. Esta leitura foi programada para acontecer a cada três segundos, e, este tempo foi sincronizado com o tempo de passo do motor, através da programação do Arduino.

Apesar das pequenas diferenças entre as curvas medidas, o sistema pode ser usado para caracterização de antenas. A principal vantagem está relacionada ao custo de implementação, que é apresentado na Tabela 6. O posicionador desenvolvido, juntamente

Figura 39: Sistema de recepção.



(a)



(b)

com a interface, apresenta um custo estimado entre R\$ 1.000,00 a R\$ 1.200,00, enquanto que produtos comerciais custam de dezenas a centenas de milhares de reais, tornando vantajosa a utilização do sistema projetado para a validação de protótipos em nível acadêmico.

Tabela 6: Estimativas de custo para o sistema desenvolvido.

Componente	Preço (em R\$)
Arduino + <i>Shield Ethernet</i> + componentes eletrônicos	150,00
Fonte de alimentação ATX	60,00
Motor de passo de alto torque	300,00 a 400,00
Estrutura em aço	300,00 a 400,00
Roteador	100,00
Cabos de par trançado	50,00
Canos de PCV	20,00
Total	1.000,00 a 1.200,00

Figura 40: Comparativo entre diagramas de irradiação obtidos por diferentes modos de medida no plano azimutal.

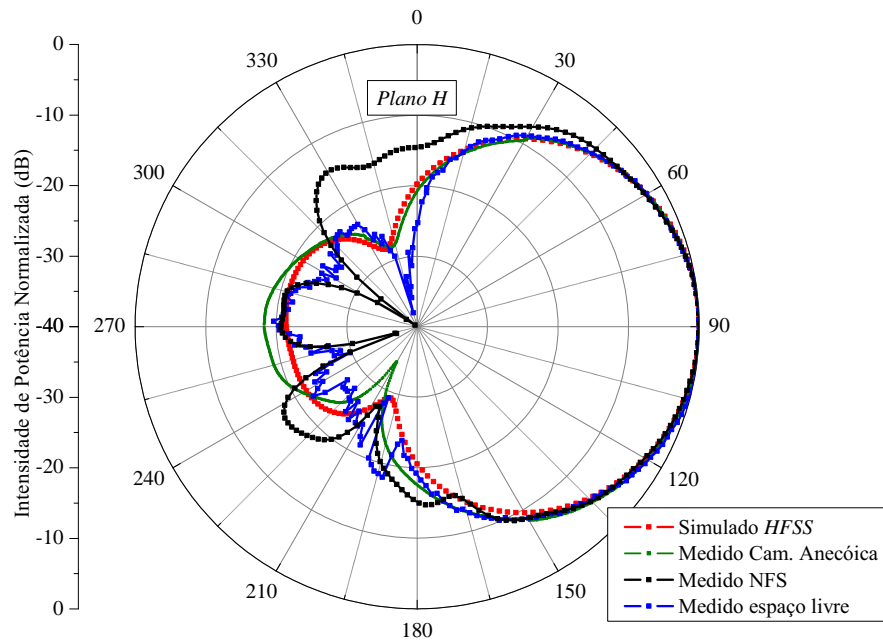


Figura 41: Comparativo entre diagramas de irradiação obtidos por diferentes métodos - plano de elevação.

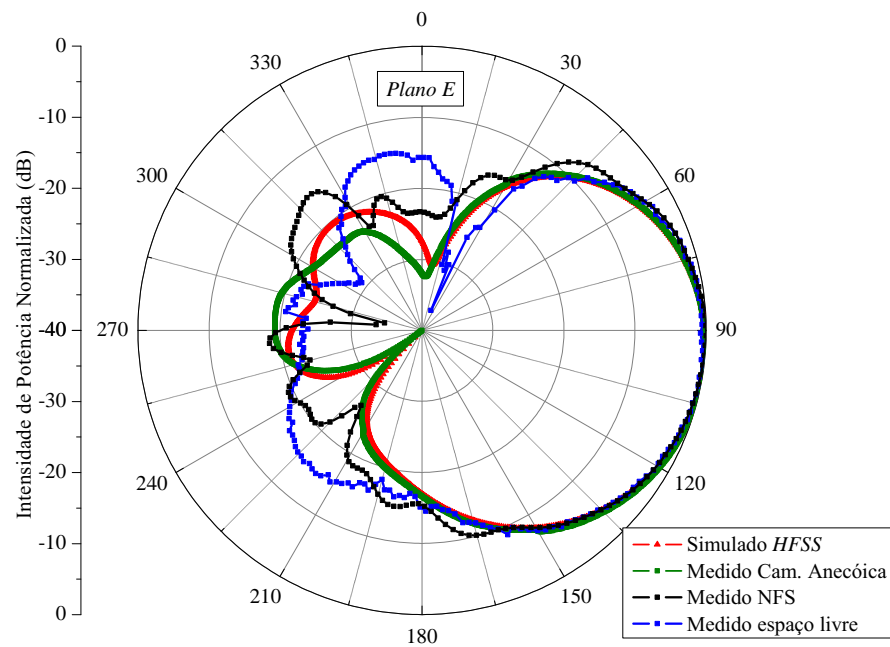
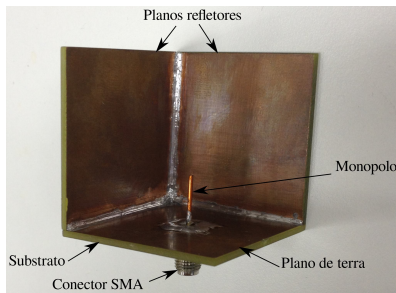
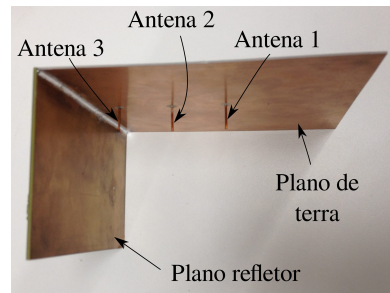


Figura 42: Antenas transmissora e receptora para testes à 5,8 GHz.



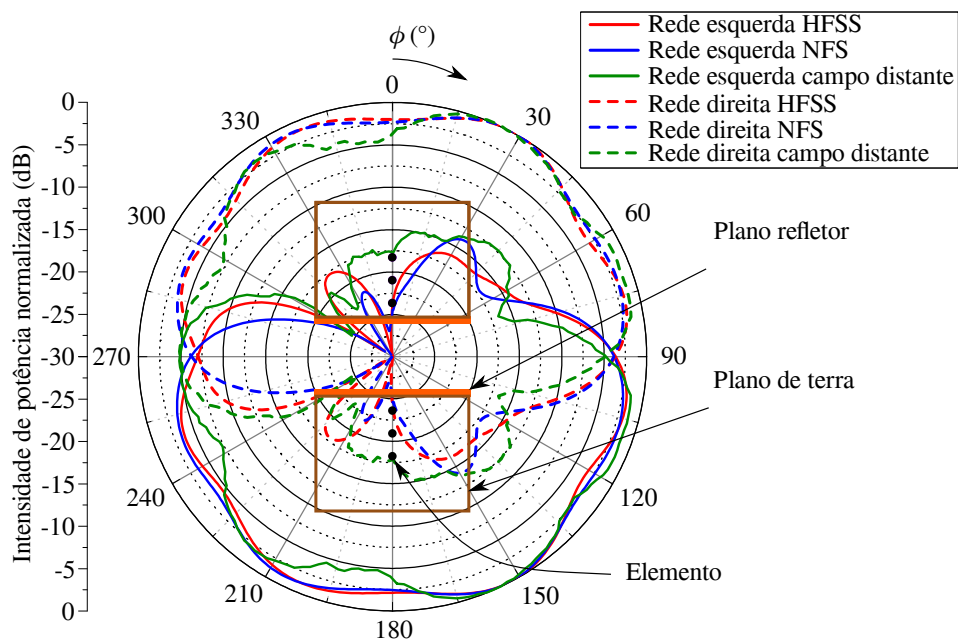
(a) Diedro refletor utilizado como transmissor.



(b) Rede de antenas filamentosas utilizada para recepção.

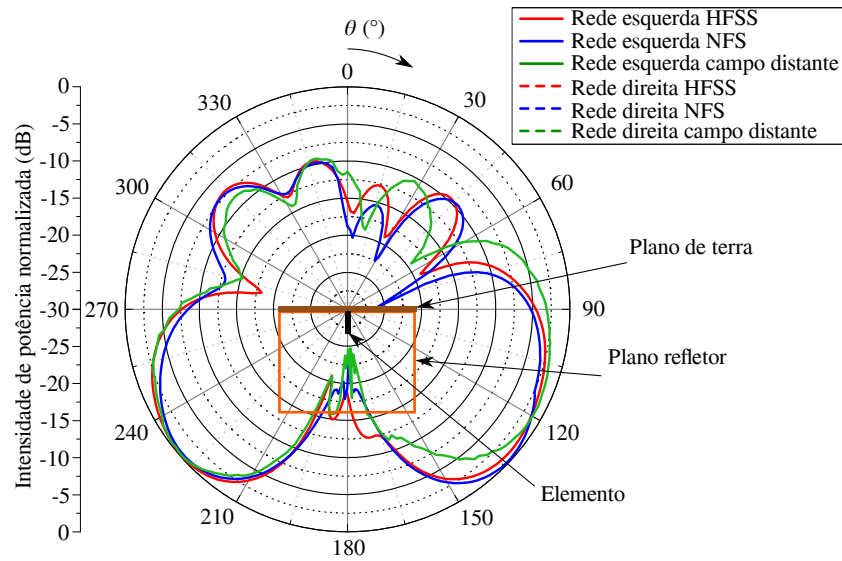
Fonte: (YOSHIMOTO, 2016).

Figura 43: Diagrama da rede de antenas filamentosas em teste - vista superior.



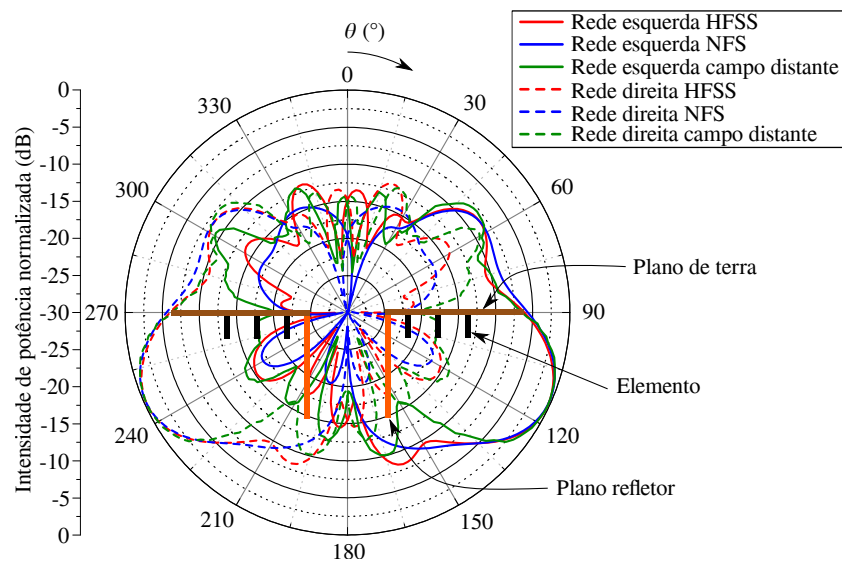
Fonte: (YOSHIMOTO, 2016).

Figura 44: Diagrama da rede de antenas filamentosares em teste - vista lateral.



Fonte: (YOSHIMOTO, 2016).

Figura 45: Diagrama da rede de antenas filamentosares em teste - vista frontal.



Fonte: (YOSHIMOTO, 2016).



## 5 Conclusão

No presente trabalho, foi apresentado o projeto de um posicionador automático de antenas, o qual foi acoplado a outros equipamentos para realizar medidas de diagramas de irradiação. Foram discutidos e detalhados todos os passos seguidos para a implementação do posicionador. Foi visto que todos os componentes do sistema precisam ser bem entendidos; caso contrário, a intercomunicação entre esses componentes seria inviável. Assim sendo, um estudo detalhado das principais funcionalidades dos equipamentos foi levantado, a fim de se conhecer seu comportamento e quais seriam as melhores opções e comandos de acesso remoto.

A ideia de se projetar um posicionador automático surgiu da necessidade de validar protótipos construídos em componentes curriculares do curso de Engenharia de Telecomunicações, como no componente de antenas. Um posicionador comercial apresenta um elevado custo de aquisição e, neste sentido, o projeto descrito é de baixo custo de implementação e bastante eficiente.

Foi construída uma estrutura giratória com movimento em um eixo, cuja rotação é dada por um motor de passo de  $1,8^\circ$  de precisão. Para o controle do motor e, conseqüentemente, da estrutura, foi desenvolvido um *driver* de potência à base de transistores, para chaveamento das fases das bobinas do motor. A placa do *driver* foi construída de maneira a acomodar um circuito de alimentação para um Arduino e três circuitos de sensores, utilizados para posicionamento e leitura de temperatura. O conjunto de acionamento e controle da estrutura é composto por um Arduino, uma *Shield Ethernet* e o circuito de potência mencionado. A escolha de utilizar Arduino para o projeto deveu-se à simplicidade de se trabalhar com a plataforma, alinhada ao baixo custo da placa.

Todo o sistema de medida é controlado remotamente através de um único dispositivo controlador, um *notebook*. A *Shield Ethernet* é capaz de armazenar um servidor *Web*, o qual pode ser acessado de um cliente qualquer, como um navegador de internet ou através do *Matlab* por TCP/IP. Este servidor *Web* é capaz de receber comandos e retransmiti-los ao Arduino, para que este execute a função desejada, como iniciar uma medição. O sistema conta com sensores para posicionamento correto da estrutura (calibração), para que as medições sejam mais precisas.

O projeto foi validado levantando-se o diagrama de irradiação de uma antena de

microfita e de uma rede de antenas filamentosas. As curvas obtidas com o sistema foram comparadas aos diagramas obtidos por outros métodos, tais como simulações em *software* e medidas em câmaras anecoicas (campo próximo ou distante). Os resultados obtidos foram bastante satisfatórios.

Como continuação deste trabalho, pretende-se realizar algumas melhorias no sistema, tais como a aquisição de um motor com maior torque; otimização de códigos e da comunicação de dados entre dispositivos; organização da estrutura interna do posicionador para acomodar os circuitos e a fonte de alimentação; posicionamento mais eficiente dos sensores para uma calibragem e medida mais precisas; aprimorar o método de fixação das antenas em teste, no posicionador; aprimorar o sistema de monitoramento, através de técnicas mais eficientes de transmissão de vídeo digital.

## Referências

- ARDUINO. *LM35HigherResolution*. 2016. Disponível em: <<http://playground.arduino.cc/Main/LM35HigherResolution>>. Citado na página 70.
- ARDUINO. *Using an Arduino as an AVR ISP (In-System Programmer)*. 2016. Disponível em: <<https://www.arduino.cc/en/Tutorial/ArduinoISP>>. Citado na página 41.
- BACK, M. *Resistor PULL UP e PULL DOWN*. 2014. Disponível em: <<http://arduinomais.blogspot.com.br/2014/05/resistor-pull-up-e-pull-down.html>>. Citado na página 60.
- BALANIS, C. A. *Teoria de Antenas*. Rio de Janeiro: LTC - tradução e revisão técnica J. R. Souza, 2009. Citado 8 vezes nas páginas 17, 18, 21, 22, 25, 27, 28 e 29.
- BESSE, P.-A. et al. Detection of a single magnetic microbead using a miniaturized silicon hall sensor. *Applied Physics Letters*, AIP Publishing, v. 80, n. 22, p. 4199–4201, 2002. Citado na página 57.
- BONFIM, M. *Analisador de Espectros*. 2003. Disponível em: <<http://www.eletr.ufpr.br/marlio/medidashf/apostila/apostila2a.pdf>>. Citado 2 vezes nas páginas 43 e 108.
- BRAGA, I. N. C. *Como funcionam os sensores de Efeito Hall (ART1050)*. 2014. Disponível em: <<http://www.newtonbraga.com.br/index.php/como-funciona/6640-como-funcionam-os-sensores-de-efeito-hall-art1050>>. Citado na página 57.
- BRITES, F. G.; SANTOS, V. P. d. A. Motor de passo. 2008. Citado na página 26.
- BROWN, B. C.; GOORA, F. G.; ROUSE, C. D. The design of an economical antenna-gain and radiation-pattern measurement system. *IEEE Antennas and Propagation Magazine*, v. 53, n. 4, p. 1–13, 2011. Citado 2 vezes nas páginas 17 e 21.
- BROWN, G. *Como funciona a fonte de alimentação de um computador*. 2014. Disponível em: <<http://tecnologia.hsw.uol.com.br/fonte-computador.htm>>. Citado na página 57.
- CAMPOS, A. *Entendendo os 6 pinos de ICSP dos Arduinos*. 2015. Disponível em: <<http://br-arduino.org/2015/05/arduino-icsp-attiny-atmega.html>>. Citado na página 39.
- CAMPOS, A. *Mais memória no Arduino: indo além dos 2KB de RAM com a PROGMEM*. 2015. Disponível em: <<http://br-arduino.org/2015/06/arduino-progmem-sram.html>>. Citado na página 77.

CASSIOLATO, C. *Sensor Hall – A tecnologia dos Posicionadores Inteligentes de última geração*. 2006. Disponível em: <[http://www.smar.com/brasil/noticias/conteudo?id\\_not=sensor-hall-a-tecnologia-dos-posicionadores-inteligentes-de-ultima-geracao](http://www.smar.com/brasil/noticias/conteudo?id_not=sensor-hall-a-tecnologia-dos-posicionadores-inteligentes-de-ultima-geracao)>. Citado na página 57.

CONSORTIUM, S. et al. Standard commands for programmable instruments (scpi) volume 1: Syntax and style. USA, May, 1999. Citado na página 48.

ELECTRONICS, A. *Resistor Pull Up e Pull Down - Circuitos Digitais - aula*. 2013. Disponível em: <<https://www.youtube.com/watch?v=AQ3PeiEw1gg>>. Citado na página 60.

ELETRÔNICA, S. *Analisadores de Espectro: Entenda a importância desse instrumento na Automação Industrial*. 2001. Disponível em: <<http://www.sabereletronica.com.br/artigos/2797-analisadores-de-espectro-entenda-a-importancia-desse-instrumento-na-automao-industrial>>. Citado na página 107.

ELETRONICO, R. *Arduino – Como gravar/regravar o bootloader (Com UNO no MEGA)*. 2014. Disponível em: <<https://robsoneltronico.wordpress.com/2014/08/22/arduino-como-gravarregravar-o-bootloader-com-uno-no-mega/>>. Citado na página 41.

FILHO, D. O. B. *Curso de Arduino - Aula 1 - O que é o Arduino*. 2012. Disponível em: <[http://www.robotizando.com.br/curso\\_arduino\\_o\\_que\\_e\\_arduino\\_pg1.php](http://www.robotizando.com.br/curso_arduino_o_que_e_arduino_pg1.php)>. Citado na página 39.

FUSCO, V. F. *Teoria e técnicas de antenas: princípios e prática*. [S.l.]: Bookman Editora, 2009. Citado na página 26.

GONÇALVES, J. A. B.; PINTO, A. L. C. Motor de passo - arduino. 2012. Citado 6 vezes nas páginas 30, 33, 34, 35, 36 e 38.

KEISER, G. *Optical fiber communication*. NY: McGraw-Hill, 2000. Citado na página 51.

KRAUS, J. D.; MARHEFKA, R. J. *Antennas for all Applications; 960 pages; ; ISBN 0072321032*. [S.l.]: McGraw-Hill Science/Engineering/Math (not provided), 2001. Citado na página 21.

KUMMER, W. H. Basic array theory. *Proceedings of the IEEE*, v. 80, n. 1, p. 127–140, 1992. Citado na página 21.

MARTINEZ, M. *Topologias de Redes*. 2016. Disponível em: <<http://www.infoescola.com/informatica/topologias-de-redes/>>. Citado na página 51.

MATHWORKS. *Acquire Images from Webcams*. 2016. Disponível em: <<http://www.mathworks.com/help/supportpkg/usbwebcams/ug/acquire-images-from-webcams.html>>. Citado na página 82.

- PINTO, P. *Redes – Sabe o que é o modelo OSI?* 2010. Disponível em: <<http://pplware.sapo.pt/tutoriais/networking/redes-sabe-o-que-e-o-modelo-osi/>>. Citado na página 53.
- POZAR, D. M. *Microwave engineering*. [S.l.]: John Wiley & Sons, 2009. Citado na página 23.
- SCHLOSSER, E. R. *Síntese de Redes Lineares de Antenas de Microfita com Diagramas de Irradiação Conformados para Sistemas de Comunicação 4G*. 2014. Citado na página 85.
- SOARES, K. *O que é um Arduino e o que pode ser feito com ele?* 2013. Disponível em: <<http://www.techtudo.com.br/noticias/noticia/2013/10/o-que-e-um-arduino-e-o-que-pode-ser-feito-com-ele.html>>. Citado na página 40.
- SOUZA, P. J. A. de. *Tutorial Motor de Passo - Parte 1: Introdução, Tipos, Modos de Acionamento*. 2012. Disponível em: <<http://labdegaragem.com/profiles/blogs/tutorial-sobre-motor-de-passo>>. Citado 4 vezes nas páginas 28, 30, 32 e 34.
- TACIO, P. *O QUE É E PARA QUE SERVE O ARDUINO*. 2013. Disponível em: <<http://www.mundodoshackers.com.br/o-que-e-e-para-que-serve-o-arduino>>. Citado na página 40.
- TECHNOLOGIES, K. *E4438C ESG Vector Signal Generator, 250 kHz to 6 GHz*. 2016. Disponível em: <<http://www.keysight.com/pt/pd-1000004297%3Aepsg%3Apro/epsg-vector-signal-generator?nid=-32463.536880956&cc=BR&lc=por>>. Citado 2 vezes nas páginas 111 e 116.
- TOLFO, S. M. Desenvolvimento de uma ferramenta computacional para síntese de redes de antenas. 2016. Citado 2 vezes nas páginas 24 e 26.
- TORRES, G. *Como o Protocolo TCP/IP funciona - Parte 1*. 2007. Disponível em: <<http://www.clubedohardware.com.br/artigos/como-o-protocolo-tcp-ip-funciona-parte-1/1351>>. Citado na página 54.
- YOSHIMOTO, E. *Projeto de Rede de Antenas Filamentares Embarcada em um Modelo Real de Aeronave Radiocontrolada*. 2016. Citado 3 vezes nas páginas 88, 93 e 94.
- ZHU, B.; LI, H.-f.; LI, H. Labview driver program to intelligence instrument based on scpi language [j]. *Instrument Technique and Sensor*, v. 9, p. 020, 2008. Citado na página 46.



# Apêndices





# APÊNDICE A – Tipos de analisadores de espectro

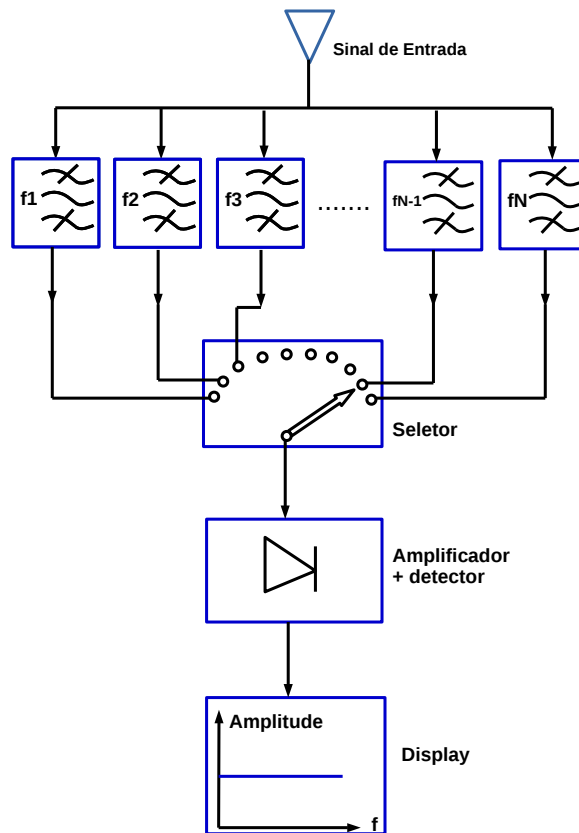
O analisador de espectro por banco de filtros possui filtros seletivos em frequência, cuja entrada é o sinal a ser analisado. Cada filtro possui uma frequência central e uma largura de banda, de modo a cobrir uma determinada faixa do espectro de frequências. A saída de cada filtro é retificada e então filtrada, onde o nível DC resultante é aplicado a um indicador visual como um display de LED's ou LCD, por exemplo. A medida é feita em paralelo.

Uma vez projetados os filtros, a frequência central e a largura de banda permanecem fixos, o que limita a faixa de frequências a ser analisada. Seu custo e complexidade de implementação tornam seu uso inviável quando uma alta resolução de frequência faz-se necessária, pelo grande número de filtros com uma largura de banda estreita. Essa topologia de analisador de espectro é largamente utilizada em indicadores de potência de áudio, onde a faixa de frequências é fixa (tipicamente 20Hz – 20kHz) e o número de bandas é relativamente pequeno (baixa resolução em frequência). A Fig. 46 mostra um diagrama em blocos com os componentes de um analisador de espectro por banco de filtros.

Uma forma de otimizar e minimizar o número de filtros usados na topologia banco de filtros, seria a utilização de um único filtro sintonizável em frequência através de um sinal de controle (rampa de tensão, controle digital), de modo a variar a frequência central ao longo da faixa espectral a ser analisada, fazendo-se uma varredura temporal. Dessa forma, o mesmo sinal de controle seria utilizado para indicar a frequência, podendo ser usado como eixo horizontal. Tal filtro sintonizável é realizável porém de difícil implementação, principalmente quando se trata de altas frequências como em sinais de comunicação via rádio, por exemplo.

Uma forma alternativa e mais simples de se fazer essa varredura, consiste na utilização de um filtro de frequência fixa associado a um processamento do sinal de entrada, de modo a deslocá-lo no espectro de frequência (varredura) de forma controlada. Uma forma simples de processamento é pela multiplicação analógica do sinal de entrada por um sinal senoidal (ou cossenoidal), cuja frequência pode ser facilmente controlada

Figura 46: Diagrama em blocos de um analisador de espectro por banco de filtros.



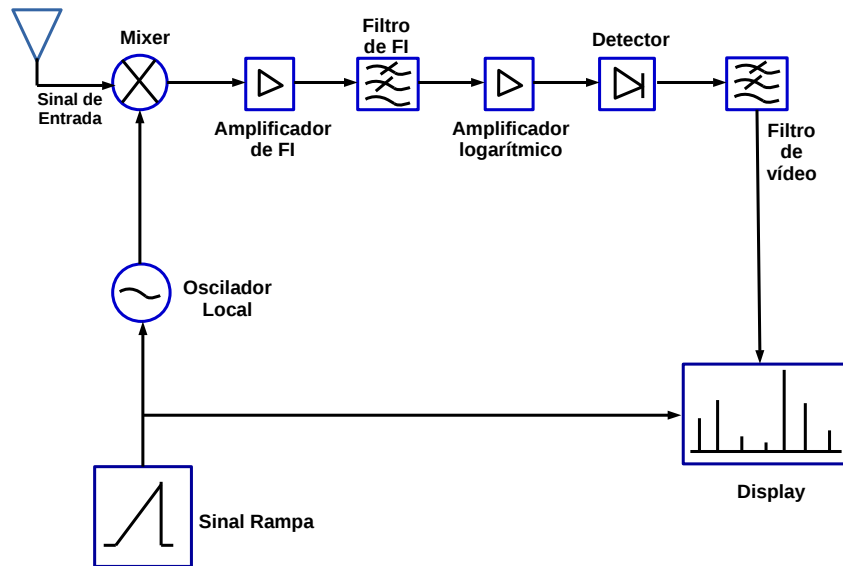
eletricamente. Este princípio é o mesmo utilizado em receptores de rádio AM, e a esse tipo de analisador dá-se o nome de analisador de espectro heteródino ou de varredura. Supondo que o sinal de entrada é composto por uma única frequência ( $\omega_i$ ), pode-se representar o processo de multiplicação por um outro sinal de frequência ( $\omega_l$ ) como descrito na eq. (A.1):

$$\text{COS}(\omega_l t) \text{COS}(\omega_i t) = \frac{\text{COS}(\omega_l + \omega_i)t + \text{COS}(\omega_l - \omega_i)t}{2} \quad (\text{A.1})$$

Assim sendo, dado um filtro de frequência fixa  $\omega_c$ , pode-se obter o resultado equivalente a um filtro variável pela varredura da frequência  $\omega_l$  multiplicada pelo sinal de entrada. O processo de multiplicação é efetuado por um dispositivo não linear denominado misturador, o qual é composto essencialmente de diodos. A varredura de frequência é obtida pela utilização de um oscilador local (LO) controlado por tensão. Na Fig. 47 é

esquemático, em diagrama de blocos, o funcionamento de um analisador de espectro por varredura (ou heteródino).

Figura 47: Diagrama em blocos de um analisador de espectro heteródino ou por varredura.



O funcionamento do circuito da Fig. 47 é essencialmente equivalente ao de um receptor de rádio AM (*Amplitude Modulation*) super-heteródino, e seus principais componentes são:

- **Seletor de escalas de entrada:** funciona de modo análogo ao de um osciloscópio, permitindo a adequação da amplitude do sinal de entrada ao instrumento.
- **Misturador:** é o principal elemento do circuito. Ele realiza, eletronicamente, a operação de multiplicação do sinal de entrada por um sinal senoidal de frequência  $f_{LO}$  (oscilador local), gerando em sua saída dois sinais principais correspondentes à soma e à diferença entre  $f_{LO}$  e a(s) frequência(s) presente(s) no sinal de entrada ( $f_{LO}+f_i$  e  $f_{LO}-f_i$ ). A parcela que será utilizada efetivamente na análise espectral, é o sinal diferença  $f_{LO}-f_i$ . Os sinais individuais  $f_{LO}$  e  $f_i$  também estão presentes na saída do misturador, devido à não idealidade da operação de multiplicação efetuada por esse circuito. O sinal na saída do misturador, também denominado sinal de frequência intermediária (IF), contém uma “cópia” do sinal de entrada transladado

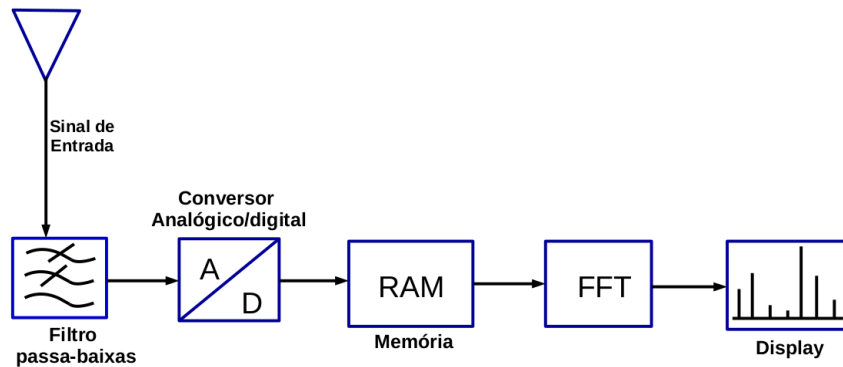
em frequência por um valor  $f_{LO}$ . Variando-se a frequência do oscilador local  $f_{LO}$ , desloca-se proporcionalmente o sinal de entrada no domínio da frequência.

- **Oscilador Local:** gera um sinal senoidal de frequência  $f_{LO}$  que é aplicado à uma das entradas do misturador. Consiste em um oscilador controlado por tensão (VCO - *Voltage Control Oscillator*), cuja frequência pode ser variada continuamente dentro de uma faixa espectral selecionada pelo usuário. Possui uma alta linearidade entre tensão de controle e a frequência de saída, pois a mesma tensão é utilizada na varredura horizontal do feixe do TRC (Tubo de Raios Catódicos).
- **Gerador de rampa:** gera uma rampa de tensão em função do tempo (função rampa), que é utilizada no controle da frequência do oscilador local e também na varredura horizontal do TRC. É gerada de forma idêntica ao sinal de varredura horizontal de um osciloscópio analógico.
- **Filtro de IF:** é um filtro passa faixa de frequência central fixa  $f_{IF}$ , usado para selecionar a parcela do sinal de IF que contém o sinal a ser analisado a partir do sinal diferença  $f_{LO}-f_i$ . A largura de banda desse filtro determina a resolução em frequência do instrumento (RWB – *Resolution BandWidth*), podendo ser ajustada de acordo com o tipo de medida e sinal de entrada. Para que se possa distinguir entre dois sinais de frequências próximas (*e.g.*: 10kHz e 11kHz), é necessário que o RBW seja inferior à diferença entre essas frequências.

Realizando-se uma varredura na frequência  $f_{LO}$ , a parcela do sinal de entrada presente em  $f_{LO}-f_i$  é transladada em frequência. À medida que frequências presentes no sinal de entrada coincidem com a frequência  $f_{IF}$ , um sinal correspondente pode ser detectado na saída do filtro. Este processo é equivalente à uma varredura na frequência  $f_{IF}$ , porém bem mais fácil de ser implementado na prática. A frequência  $f_{IF}$  coincide com o menor valor de  $f_{LO}$ . Para  $f_{LO} = f_{IF} \Rightarrow 0\text{Hz}$ , equivalente à um sinal DC. O sinal de saída é retificado e filtrado, sendo em seguida aplicado ao circuito de deflexão vertical do TRC, de maneira análoga ao osciloscópio analógico.

Quanto aos analisadores de espectro por FFT, a Fig. 48 ilustra seu diagrama em blocos. Pode-se dizer, a grosso modo, que a diferença entre o analisador tipo FFT e o heteródino, é a faixa de frequências em que cada um pode operar. O FFT é destinado para baixas frequências (na ordem de 1000 kHz) enquanto o heteródino é para altas (e extra-altas) frequências (vários GHz).

Figura 48: Diagrama em blocos de um analisador de espectro por FFT.



A primeira etapa no diagrama da Fig. 48, é um filtro passa-baixas, que limita a frequência do sinal de entrada. Após a filtragem, o sinal é enviado a um conversor analógico/digital e, por ser de natureza transitória, é então armazenado temporariamente no bloco de memória RAM (*Random Access Memory*). O quarto bloco do instrumento é composto pelos circuitos de processamento, cujo *software* possui um algoritmo de cálculo, que implementa a determinação da série de Fourier do sinal (FFT). Este bloco, segundo as taxas de amostragem, resgata os dados armazenados na RAM e, após os cálculos da FFT, mostra através de um diagrama de barras, as respectivas amplitudes das frequências harmônicas de um sinal em uma tela (ELETRÔNICA, 2001).

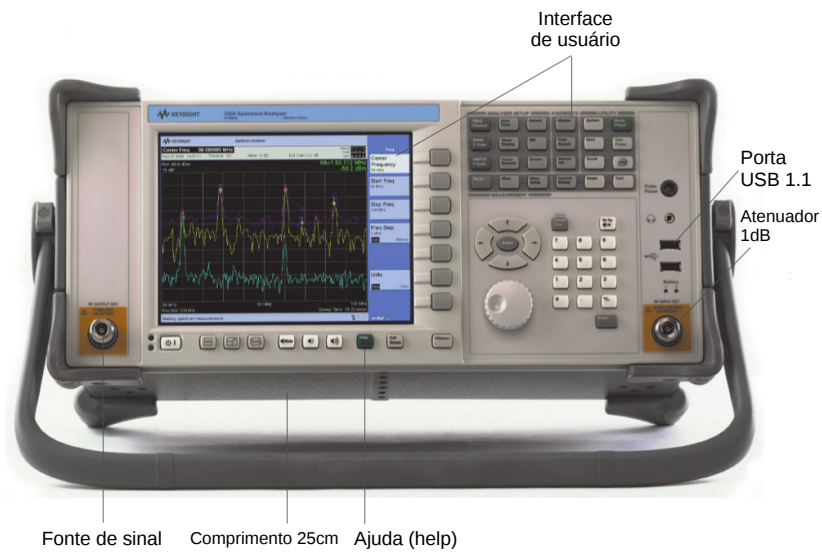
Analisadores de espectro modernos possuem inúmeras funções e controles, porém, as quatro principais são: faixa de frequência a ser exibida na tela, que determina o “tamanho” da figura a ser exibida na tela do analisador; faixa de nível, que determina os limites do sinal exibido; resolução da frequência, cujo ajuste é uma função do circuito de filtragem da frequência intermediária (IF), e é análogo ao controle “tempo/div” nos osciloscópios; sweep time, que é específico para os analisadores de espectro operando em modo heteródino, e determina o tempo necessário para a gravação do espectro de frequências a ser estudado.

É fato que a análise de espectro no domínio das frequências é mais comum no campo das telecomunicações, onde o estudo (e posterior ajuste) da frequência dos sinais transmitidos é fundamental para a boa performance do sistema. Entretanto, recentemente um novo modo de aplicação para o analisador de espectro ganhou muita importância: a automação industrial.

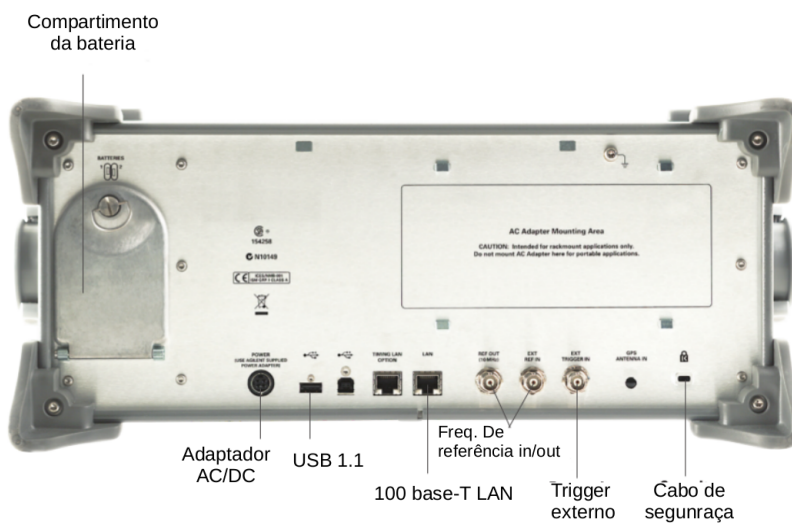
Muitos fabricantes de equipamentos de automação têm seu faturamento acres-

cido, em grande parte, pela exportação de seus produtos. Uma exigência comum dos consumidores internacionais é a “compatibilidade eletromagnética”. A compatibilidade eletromagnética (EMC) é um conjunto de características que garantem que determinado equipamento não emite interferências eletromagnéticas (EMI) acima dos níveis permitidos pelos órgãos internacionais competentes. A EMC passou a ser um fator de qualidade do produto, aí é que entra a utilidade do analisador de espectro nesse cenário. Este instrumento é capaz de avaliar o nível de emissão eletromagnética e, o mais importante, determinar qual (ou quais) sua(s) faixa(s) de frequência(s) (BONFIM, 2003). A Fig. 49 traz imagens da parte frontal (49(a)) e da parte traseira (49(b)), respectivamente, de um analisador de espectro comercial do tipo heteródino, modelo N1996A, fabricado pela empresa Keysight Technologies e que é usado para o projeto descrito no cap. 3.

Figura 49: Analisador de espectro heteródino.



(a) Parte frontal.



(b) Parte traseira.





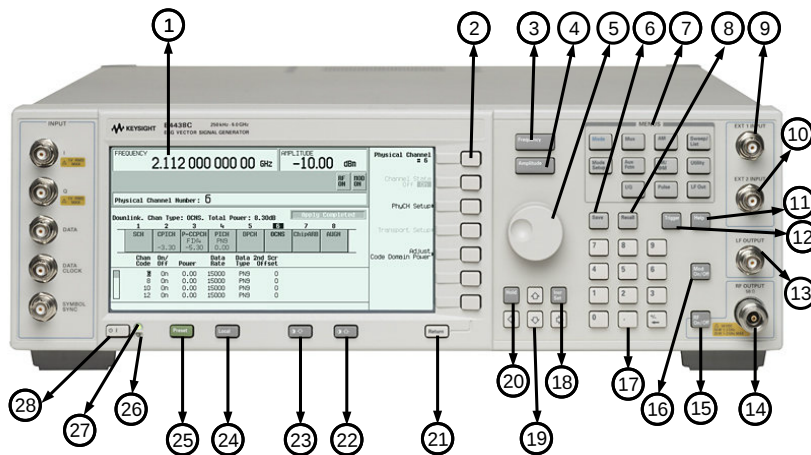
# APÊNDICE B – Detalhes do gerador de sinais E4438C

O gerador de sinais ESG E4438C possui três formas de operação: onda contínua (CW - *continuous wave*); sinal de varredura (*Swept Signal*) e modulação analógica.

No modo de operação de onda contínua, o gerador de sinal está definido para uma única frequência e um único nível de potência. No modo *Swept Signal*, o gerador de sinal varre uma gama de frequências e/ou níveis de energia. No modo de modulação analógica, o gerador de sinal modula o sinal CW utilizando um dos quatro tipos de modulação analógica: AM, FM,  $\Phi$ M ou modulação por pulso.

A Fig. 50 mostra a parte frontal do gerador de sinais da Keysight ESG E4438C com a numeração dos itens contidos no gerador, que serão discutidos a seguir.

Figura 50: Parte frontal do gerador de sinais E4438C da Keysight.



Fonte: Modificado de [Technologies \(2016\)](#).

Os itens numerados a seguir, fazem referência a Fig. 50.

1. **Display - visor:** O visor de LCD fornece informações sobre a função atual. A informação pode incluir indicadores de *status*, frequência, configurações de amplitude e mensagens de erro. As etiquetas para as teclas de função estão localizados no lado direito da tela.
2. **Teclas de função - *softkeys*:** ativam a função indicada pela etiqueta mostrada à esquerda de cada tecla.
3. **Botão *Frequency*:** Pressionando esta tecla, a função “frequência” fica ativa. É possível então, alterar a frequência de saída RF ou usar os menus para configurar atributos de frequência, como multiplicador, *offset* e referência.
4. **Botão *Amplitude*:** Ativa a função “Amplitude”, onde é possível alterar a amplitude de saída de RF ou usar os menus para configurar atributos de amplitude, como a busca de potência, nivelamento de usuário e ALC BW.
5. **Botão *Giratório (Knob)*:** Girando-se o botão, aumenta-se ou diminui-se um valor numérico ou muda-se um dígito selecionado ou função. Também é possível usar o botão para percorrer as listas ou selecionar itens em uma fileira. O botão usa o valor ***Incr Set*** em conjunto com a razão de giro do botão (definido com a tecla ***Step/Knob Ratio***) para determinar quanto cada volta do botão muda o valor da função ativa. Por exemplo, se o valor ***Incr Set*** para a função ativa é de 10 dB e a razão de giro do botão é de 50 para 1, então cada volta do botão muda a função ativa de 0,2 dB (1/50° de 10 dB). Ao modificar qualquer um dos valores (ou ambos), altera-se a quantidade de voltas do botão.
6. **Botão *Save (salvar)*:** Esta função permite gravar dados de registro de estado de memória do instrumento gerador de sinal. O registro de estado do instrumento é uma seção de memória dividida em 10 sequências numeradas de 0 a 9. Cada sequência contém 100 registros numeradas de 00 a 99. O botão ***Save*** fornece uma alternativa rápida para reconfigurar o gerador de sinais através do painel frontal ou com os comandos SCPI quando se muda entre diferentes configurações.
7. **Teclas de *Menu*:** Estas teclas permitem acessar menus das teclas programáveis, que permitem a configuração de lista e passo de varredura. Permitem ainda, a configuração das funções mais úteis, configuração da saída de LF (*Low Frequency*), e vários tipos de modulações analógicas.

8. **Teclas de Recall:** Esta tecla restaura qualquer estado do instrumento salvo anteriormente num registo de memória de estado do instrumento.
9. **Conector de entrada externa 1 (EXT 1 Input Connector):** Este conector de entrada BNC aceita um sinal de entrada para uso com AM, FM,  $\Phi$ M, e modulação por pulso. Os níveis que podem danificar o instrumento são 5 V *rms* e 10  $V_p$ .
10. **Conector de entrada externa 2 (EXT 2 Input Connector):** Este conector de entrada BNC aceita um sinal de entrada para uso com AM, FM,  $\Phi$ M, e modulação por pulso. Os níveis que podem danificar o instrumento são 5 V *rms* e 10  $V_p$ .
11. **Tecla Help (Ajuda):** exhibe uma breve descrição de qualquer tecla de função. Existem dois modos de ajuda disponíveis: simples e contínua. O modo simples vem predefinido de fábrica. Para alternar entre o modo simples e contínuo, deve-se pressionar as teclas **Utility > Instrument Info/Help Mode > Help Mode Single Cont.**
12. **Tecla Trigger (Disparo):** Esta tecla inicia um evento de disparo imediato para uma função como uma lista ou passo de varredura. O modo de disparo deve ser definido como fator chave antes de iniciar um evento de gatilho com esta tecla.
13. **Conector de saída de baixa frequência (LF OUTPUT Connector):** Este conector BNC é a saída para sinais de modulação gerados pelo gerador de função de baixa frequência (LF). Esta saída é capaz de entregar 3  $V_p$  (nominal) para uma carga de 50 $\Omega$ . Em geradores de sinais com a opção “1EM”, esta saída é transferida para um conector BNC fêmea, no painel traseiro.
14. **Conector de saída de Rádio Frequência (RF OUTPUT Connector):** Este conector fêmea tipo-N, é a saída de sinais de RF. A impedância da fonte é 50 $\Omega$ . Para Opções 501, 502, 503 e 504 os níveis de perigo são 50 V DC, 50 W para  $f \leq 2$  GHz e 25 W para  $f > 2$  GHz. Para opções 501, 502, 503 e 504, o circuito de proteção de potência reversa desarmará, no entanto, a potência nominal é de 1 W.
15. **Tecla RF ON/OFF:** Essa tecla alterna o estado de funcionamento do sinal de RF presente no conector de saída de RF. O indicador RF On/Off é sempre visível no visor para indicar se o RF está ligado ou desligado.
16. **Tecla Mod ON/OFF:** Esta tecla habilita ou desabilita todos os formatos de modulação ativos (AM, FM,  $\Phi$ M, ou pulso) que são aplicados ao sinal da portadora

de saída. Este botão não configura ou ativa uma modulação AM, FM,  $\Phi$ M, ou o formato de pulso; cada formato de modulação individual deve ser configurado e ativado (por exemplo, AM => AM On), ou nada será aplicado à saída para o sinal de portadora quando a tecla **Mod On/Off** está habilitada. O indicador **MOD ON/OFF**, que está sempre presente no visor, indica se os formatos de modulação ativos foram ativados ou desativados com a tecla **Mod On/Off**.

17. **Teclado Numérico (Numeric Keypad)**: Consiste de teclas numeradas de 0 a 9, uma tecla de ponto decimal (.) e uma tecla de *backspace*. A tecla de *backspace* permite apagar um valor ou especificar um valor negativo. Ao especificar um valor numérico negativo, o sinal negativo deve ser inserido antes de entrar o valor numérico.
18. **Tecla Incr Set Key**: Esta tecla permite definir o valor do incremento da função ativa atual. Quando a tecla é pressionada, o valor do incremento da função ativa atual aparece como a entrada ativa para a exibição. É possível utilizar o teclado numérico, botões de seta, ou o botão para ajustar o valor de incremento. Alterar o valor da função **Incr Set** também afeta o quanto cada volta do botão giratório muda o valor de uma função ativa, de acordo com a definição da razão atual do botão giratório.
19. **Teclas de setas (Arrow Keys)**: As teclas de seta para cima e para baixo são usadas para aumentar ou diminuir um valor numérico, percorrer listas exibidas, ou selecionar itens em uma linha de uma lista exibida. Dígitos individuais ou caracteres podem ser selecionados com as teclas de seta esquerda e direita. Uma vez que um dígito ou caractere individual é selecionado, o seu valor pode ser alterado usando as teclas de seta para cima e/ou para baixo.
20. **Tecla Hold (reter)**: Limpa a área de rótulo das teclas, a área de função ativa, e as áreas de texto do visor. As teclas de funções, as setas, os botões, o teclado numérico e a tecla **Incr Set**, não têm qualquer efeito uma vez que esta tecla for pressionada. Para terminar o modo de espera, pressiona-se qualquer outra tecla que não seja as mencionadas anteriormente.
21. **Tecla de retorno (Return)**: Esta tecla permite retornar ao menu anterior. Quando se está em um menu com mais de um nível, a tecla **Return** sempre retornará ao primeiro nível do menu.

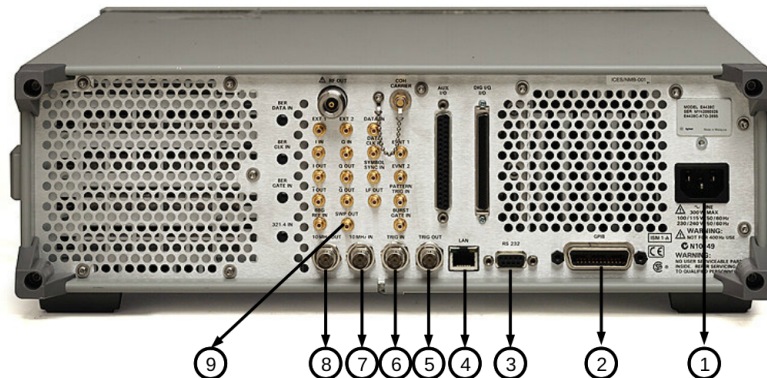
22. **Tecla de Aumento do Contraste do Visor:** Esta tecla, quando pressionada ou mantida, faz com que a imagem do visor escureça.
23. **Tecla de decrémento do Contraste do Visor:** Esta tecla, quando pressionada ou mantida, faz com que a imagem do visor fique mais clara.
24. **Tecla Local:** Esta tecla é usada para desativar a operação remota e devolver o gerador de sinais para o controle do painel frontal.
25. **Tecla Preset:** É utilizada para configurar o gerador de sinal para um estado conhecido (configuração de fábrica ou alguma outra configuração definida pelo usuário).
26. **Standby LED:** Este LED amarelo indica quando o interruptor de alimentação do gerador de sinal está em modo de espera.
27. **Line Power LED:** Este LED verde indica quando o interruptor de alimentação do gerador de sinal está definido como ligado.
28. **Power Switch:** Este interruptor liga o gerador de sinal quando definido para a posição **Ligado**, e desativa todas as funções do gerador de sinal quando em modo de espera. Em modo de espera, o gerador de sinal permanece conectado à fonte de alimentação, que ainda alimenta alguns circuitos internos.

A Fig. 51 mostra a parte traseira do analisador ESG E4438C com seus principais componentes enumerados.

O detalhamento dos itens a seguir, dizem respeito à Fig. 51.

1. **Entrada para alimentação AC:** A entrada do cabo de alimentação aceita um cabo de três pinos. A tensão da rede é ligada aqui.
2. **Conector GPIB:** O conector GPIB permite a comunicação com dispositivos compatíveis, tais como controladores externos (computador). É funcionalmente equivalente aos conectores LAN e RS-232.
3. **Conector RS-232:** Este conector é do tipo fêmea DB-9 e consiste em uma porta serial RS-232 que pode ser usada para controlar o gerador de sinal remotamente. É funcionalmente equivalente aos conectores GPIB e LAN.

Figura 51: Parte traseira do gerador de sinais E4438C da Keysight.



Fonte: Modificado de [Technologies \(2016\)](#).

4. **Conector LAN:** Comunicação via LAN é suportada pelo gerador de sinal por meio do conector **LAN** (área de rede local). O conector de rede local permite que o gerador de sinal possa ser programado remotamente por um computador ou dispositivo controlador conectado à **LAN**. A distância entre um computador e o gerador de sinais, é limitada a 100 metros (10Base-T), supondo a utilização de um único cabo de rede.
5. **Conector TRIG OUT:** Este conector BNC fêmea emite um sinal TTL que é colocado em nível alto no início de uma sequência existente, ou no início da espera do ponto de gatilho em modo de varrimento manual. O sinal TTL vai para nível baixo quando o tempo de espera é longo, quando o ponto de gatilho é recebido, ou uma vez por varredura durante uma varredura LF. A polaridade lógica pode ser invertida.
6. **Conector TRIG IN:** Este conector BNC fêmea aceita um sinal CMOS para operações, como ponto-a-ponto em modo de varredura manual ou uma varredura LF no modo de oscilação externo. O disparo pode ocorrer tanto do lado positivo quanto do lado negativo. Os níveis de perigo são  $V > +5,5$  volts e  $V < -0,5$  volts.
7. **Conector de entrada de 10MHz:** Este conector BNC fêmea aceita um sinal de -3,5 a 20 dBm proveniente de uma referência externa de 1, 2, 5, ou 10 MHz  $\pm$  0,2 ppm. A impedância de entrada nominal é de 50 $\Omega$ . O gerador de sinal detecta quando

um sinal de referência válida está presente neste conector, e muda automaticamente o modo de operação de “interno” para o modo de “referência externa”. O gerador de sinal irá mudar automaticamente apenas de interno para referência externa, quando o instrumento estiver no modo padrão de fábrica, ou se a tecla de função ***Ref Oscillator Source Auto Off On*** estiver ativada.

8. ***Conector de Saída de 10MHz***: Este conector BNC fêmea fornece um nível de sinal nominal de  $3,9 \text{ dBm} \pm 2 \text{ dB}$  e uma impedância de  $50\Omega$  de saída. A precisão é determinada pela base de tempo utilizada.
9. ***Conector Sweep OUT***: Este conector BNC fêmea fornece uma gama de tensões de 0 a 10 V. Quando o gerador de sinal está no modo de varredura, a varredura do sinal varia de 0 V no início do varrimento, até +10 V no final do varrimento. Isto é feito independentemente da largura de varrimento. No modo CW este conector não disponibiliza nenhum sinal em sua saída. A impedância de saída é inferior a  $1\Omega$ .





# APÊNDICE C – Código do servidor *Web*

```
1  #include <SPI.h>
   #include <Ethernet.h>
3  #include <EEPROM.h>

5  byte mac[] = {
   0xDE, 0xAD, 0xBE, 0xEF, 0xFE, 0xED };
7  IPAddress ip(10,2,6,201);
   byte gateway[] = {10,2,6,1};
9  byte subnet[] = { 255, 255, 254, 0 };
   IPAddress myserver(0,0,0,0);
11 EthernetServer server(80);
   EthernetClient client;
13 String readString;
   const int tempo = 3000;
15 const int tempo2 = 700;
   const int LM35 = A0;
17 float temperatura = 0;
   float valorLido = 0;
19 int statePin3=LOW;
   int statePin5=LOW;
21 int addr = 0;
   int value = 0;
23 int aux = 0;
   boolean desliga = false;
25
   void setup(){
27
   analogReference(INTERNAL);
29   pinMode(LM35, INPUT);
   pinMode(3, INPUT);
31   pinMode(5, INPUT);
   pinMode(6, OUTPUT);
33   pinMode(7, OUTPUT);
   pinMode(8, OUTPUT);
35   pinMode(9, OUTPUT);
   Ethernet.begin(mac, ip);
37   server.begin();
   Serial.begin(9600);
```

```
39     }
41
42
43 void loop() {
44
45     valorLido = analogRead(LM35);
46     temperatura = valorLido/9.31;
47     Serial.print("Temperatura: ");
48     Serial.println(temperatura);
49     delay(400);
50
51     pagina();
52
53     if(readString.indexOf("bobina1on") >0){
54
55         digitalWrite(6, HIGH);
56         digitalWrite(7, HIGH);
57         digitalWrite(8, LOW);
58         digitalWrite(9, LOW);
59         EEPROM.write(addr, 1);
60         delay(tempo);
61     }
62
63     if(readString.indexOf("bobina2on") >0){
64
65         digitalWrite(6, LOW);
66         digitalWrite(7, HIGH);
67         digitalWrite(8, HIGH);
68         digitalWrite(9, LOW);
69         EEPROM.write(addr, 2);
70         delay(tempo);
71     }
72
73     if(readString.indexOf("bobina3on") >0){
74
75         digitalWrite(6, LOW);
76         digitalWrite(7, LOW);
77         digitalWrite(8, HIGH);
78         digitalWrite(9, HIGH);
79         EEPROM.write(addr, 3);
80     }
81 }
```

```
    delay (tempo);
83
}
85
if (readString.indexOf("bobina4on") >0){
87
    digitalWrite(6, HIGH);
89
    digitalWrite(7, LOW);
    digitalWrite(8, LOW);
91
    digitalWrite(9, HIGH);
    EEPROM.write(addr, 4);
93
    delay (tempo);
95
}
97
if (readString.indexOf("direita") >0){
99
    direita();
101
}
103
if (readString.indexOf("esquerda") >0){
105
    esquerda();
107
}
109
if (readString.indexOf("autahon") >0){
111
    automaticoah();
113
}
115
if (readString.indexOf("authon") >0){
117
    automaticoh();
119
}
121
if (readString.indexOf("calibrar") >0){
123
    calibrar();
```

```
125     }
127     if(readString.indexOf("voltar") >0){
129         voltar();
131     }
133     if(readString.indexOf("back") >0){
135         voltar2();
137     }
139     if(readString.indexOf("bobina1off") >0 || readString.indexOf("
bobina2off") >0 || readString.indexOf("bobina3off") >0 || readString.
indexOf("bobina4off") >0 || readString.indexOf("parar") >0)
141     {
143         desligar();
145     }
147     readString="";
149     readString="";
151     digitalWrite(6, LOW);
153     digitalWrite(7, LOW);
155     digitalWrite(8, LOW);
157     digitalWrite(9, LOW);
159 }
161 void calibrar(){
163     statePin5=digitalRead(5);
165     while(readString.indexOf("calibrar") >0 && statePin5==LOW){
        value = EEPROM.read(addr);
```

```
167     if (value == 4) {
169         digitalWrite(6, HIGH);
171         digitalWrite(7, HIGH);
173         digitalWrite(8, LOW);
175         digitalWrite(9, LOW);
177         EEPROM.write(addr, 1);
179         delay(tempo2);
181
183         pagina();
185
187         statePin3=digitalRead(3);
189         statePin5=digitalRead(5);
191
193         if (statePin3==HIGH){
195             voltar();
197         }
199
201         pagina();
203
205         if (readString.indexOf("parar") >0 || statePin5==HIGH){
207             desligar();
209
211         }
213
215         else {
217
219             digitalWrite(6, LOW);
221             digitalWrite(7, HIGH);
223             digitalWrite(8, HIGH);
225             digitalWrite(9, LOW);
227             EEPROM.write(addr, 2);
229             delay(tempo2);
231
233         }
235
237         pagina();
239
241         statePin3=digitalRead(3);
243         statePin5=digitalRead(5);
```

```
209     if (statePin3==HIGH) {
210         voltar ();
211     }
212
213     pagina ();
214
215     if (readString.indexOf("parar") >0 || statePin5==HIGH) {
216
217         desligar ();
218
219     }
220
221     else {
222
223         digitalWrite (6, LOW);
224         digitalWrite (7, LOW);
225         digitalWrite (8, HIGH);
226         digitalWrite (9, HIGH);
227         EEPROM.write (addr, 3);
228         delay (tempo2);
229
230     }
231
232     pagina ();
233
234     statePin3=digitalRead (3);
235     statePin5=digitalRead (5);
236
237     if (statePin3==HIGH) {
238         voltar ();
239     }
240
241     pagina ();
242
243     if (readString.indexOf("parar") >0 || statePin5==HIGH) {
244
245         desligar ();
246
247     }
248
249     else {
250
251         digitalWrite (6, HIGH);
```

```
digitalWrite(7, LOW);
253 digitalWrite(8, LOW);
digitalWrite(9, HIGH);
255 EEPROM.write(addr, 4);
delay(tempo2);
257
}
259
statePin3=digitalRead(3);
261 statePin5=digitalRead(5);
pagina();
263
}
265
if (value == 3) {
267
digitalWrite(6, HIGH);
269 digitalWrite(7, LOW);
digitalWrite(8, LOW);
271 digitalWrite(9, HIGH);
EEPROM.write(addr, 4);
273 delay(tempo2);
275
pagina();
277
statePin3=digitalRead(3);
statePin5=digitalRead(5);
279
if (statePin3==HIGH){
281   voltar();
}
283
pagina();
285
if (readString.indexOf("parar") >0 || statePin5==HIGH){
287
desligar();
289
}
291
else {
293
digitalWrite(6, HIGH);
```

```
295     digitalWrite(7, HIGH);
      digitalWrite(8, LOW);
297     digitalWrite(9, LOW);
      EEPROM.write(addr, 1);
299     delay(tempo2);

301 }

303 pagina();

305 statePin3=digitalRead(3);
      statePin5=digitalRead(5);
307
      if(statePin3==HIGH){
309         voltar();
      }

311 pagina();

313 if(readString.indexOf("parar") >0 || statePin5==HIGH){
315     desligar();
317 }

319 else {
321     digitalWrite(6, LOW);
323     digitalWrite(7, HIGH);
      digitalWrite(8, HIGH);
325     digitalWrite(9, LOW);
      EEPROM.write(addr, 2);
327     delay(tempo2);

329 }

331 pagina();

333 statePin3=digitalRead(3);
      statePin5=digitalRead(5);
335
      if(statePin3==HIGH){
337         voltar();
```



```
    }
339
    pagina ();
341
    if (readString.indexOf("parar") >0 || statePin5==HIGH){
343
        desligar ();
345
    }
347
    else {
349
        digitalWrite (6, LOW);
351        digitalWrite (7, LOW);
        digitalWrite (8, HIGH);
353        digitalWrite (9, HIGH);
        EEPROM.write (addr, 3);
355        delay (tempo2);
357
    }
359
    statePin3=digitalRead (3);
    statePin5=digitalRead (5);
361    pagina ();
363 }
365 if (value == 2) {
367     digitalWrite (6, LOW);
        digitalWrite (7, LOW);
369     digitalWrite (8, HIGH);
        digitalWrite (9, HIGH);
371     EEPROM.write (addr, 3);
        delay (tempo2);
373
    pagina ();
375
    statePin3=digitalRead (3);
377    statePin5=digitalRead (5);
379
    if (statePin3==HIGH){
        voltar ();
```

```
381     }
383     pagina ();
385     if (readString.indexOf("parar") >0 || statePin5==HIGH){
387         desligar ();
389     }
391     else {
393         digitalWrite (6, HIGH);
395         digitalWrite (7, LOW);
397         digitalWrite (8, LOW);
399         digitalWrite (9, HIGH);
401         EEPROM.write (addr, 4);
403         delay (tempo2);
405     }
407     pagina ();
409     statePin3=digitalRead (3);
411     statePin5=digitalRead (5);
413     if (statePin3==HIGH){
415         voltar ();
417     }
419     pagina ();
421     if (readString.indexOf("parar") >0 || statePin5==HIGH){
423         desligar ();
425     }
427     else {
429         digitalWrite (6, HIGH);
431         digitalWrite (7, HIGH);
433         digitalWrite (8, LOW);
```

```
digitalWrite(9, LOW);
425 EEPROM.write(addr, 1);
delay(tempo2);
427
}
429
pagina();
431
statePin3=digitalRead(3);
433 statePin5=digitalRead(5);
435
if(statePin3==HIGH){
    voltar();
437 }
439
pagina();
441
if(readString.indexOf("parar") >0 || statePin5==HIGH){
443     desligar();
445 }
447
else {
449     digitalWrite(6, LOW);
digitalWrite(7, HIGH);
451 digitalWrite(8, HIGH);
digitalWrite(9, LOW);
453 EEPROM.write(addr, 2);
delay(tempo2);
455
}
457
statePin3=digitalRead(3);
459 statePin5=digitalRead(5);
pagina();
461
}
463
if (value == 1) {
465     digitalWrite(6, LOW);
```

```
467     digitalWrite(7, HIGH);
468     digitalWrite(8, HIGH);
469     digitalWrite(9, LOW);
470     EEPROM.write(addr, 2);
471     delay(tempo2);

472
473     pagina();

474
475     statePin3=digitalRead(3);
476     statePin5=digitalRead(5);
477
478     if(statePin3==HIGH){
479         voltar();
480     }
481
482     pagina();
483
484     if(readString.indexOf("parar") >0 || statePin5==HIGH){
485
486         desligar();
487     }
488
489     else {
490
491         digitalWrite(6, LOW);
492         digitalWrite(7, LOW);
493         digitalWrite(8, HIGH);
494         digitalWrite(9, HIGH);
495         EEPROM.write(addr, 3);
496         delay(tempo2);
497
498     }
499
500     pagina();
501
502
503     statePin3=digitalRead(3);
504     statePin5=digitalRead(5);
505
506     if(statePin3==HIGH){
507         voltar();
508     }
509
```

```
pagina ();
511
    if (readString.indexOf("parar") >0 || statePin5==HIGH){
513
        desligar ();
515
    }
517
    else {
519
        digitalWrite (6, HIGH);
521        digitalWrite (7, LOW);
        digitalWrite (8, LOW);
523        digitalWrite (9, HIGH);
        EEPROM.write(addr, 4);
525        delay (tempo2);
527
    }
529
    pagina ();

531    statePin3=digitalRead (3);
    statePin5=digitalRead (5);
533
    if (statePin3==HIGH){
535        voltar ();
    }
537
    pagina ();
539
    if (readString.indexOf("parar") >0 || statePin5==HIGH){
541
        desligar ();
543
    }
545
    else {
547
        digitalWrite (6, HIGH);
549        digitalWrite (7, HIGH);
        digitalWrite (8, LOW);
551        digitalWrite (9, LOW);
        EEPROM.write(addr, 1);
```

```
553     delay (tempo2);
555
557     statePin3=digitalRead (3);
559     statePin5=digitalRead (5);
561     pagina ();
563 }
565 }
567 void automaticoh () {
569     while (readString.indexOf ("authon") > 0 && aux<101){
571         value = EEPROM.read (addr);
573         if (value == 1) {
575             digitalWrite (6, LOW);
577             digitalWrite (7, HIGH);
579             digitalWrite (8, HIGH);
581             digitalWrite (9, LOW);
583             EEPROM.write (addr, 2);
585             aux = aux+1;
587             delay (tempo);
589             pagina ();
591             if (aux==100){
593                 voltar ();
595                 break;
597             }
599             pagina ();
601             if (readString.indexOf ("parar") >0){
```

```
        desligar();
597    }
599    else {
601        digitalWrite(6, LOW);
603        digitalWrite(7, LOW);
605        digitalWrite(8, HIGH);
        digitalWrite(9, HIGH);
        EEPROM.write(addr, 3);
607        aux = aux+1;
        delay(tempo);
609    }
611    pagina();
613    if(aux==100){
615        voltar();
617        break;
619    }
621    pagina();
623    if(readString.indexOf("parar") >0){
625        desligar();
627    }
629    else {
631        digitalWrite(6, HIGH);
        digitalWrite(7, LOW);
633        digitalWrite(8, LOW);
        digitalWrite(9, HIGH);
635        EEPROM.write(addr, 4);
        aux = aux+1;
637        delay(tempo);
```

```
639     }
641     pagina ();
643     if (aux==100){
645         voltar ();
647         break;
649     }
651     pagina ();
653     if (readString.indexOf("parar") >0){
655         desligar ();
657     }
659     else {
661         digitalWrite (6, HIGH);
663         digitalWrite (7, HIGH);
665         digitalWrite (8, LOW);
667         digitalWrite (9, LOW);
669         EEPROM.write (addr, 1);
671         aux = aux+1;
673         delay (tempo);
675     }
677     pagina ();
679     }
681     if (value == 2) {
        digitalWrite (6, LOW);
        digitalWrite (7, LOW);
        digitalWrite (8, HIGH);
        digitalWrite (9, HIGH);
        EEPROM.write (addr, 3);
        aux = aux+1;
```



```
683     delay (tempo) ;
685     pagina () ;
687     if (aux==100){
689         voltar () ;
691         break ;
693     }
695     pagina () ;
697     if (readString.indexOf("parar") >0){
699         desligar () ;
701     }
703     digitalWrite (6, HIGH) ;
705     digitalWrite (7, LOW) ;
707     digitalWrite (8, LOW) ;
709     digitalWrite (9, HIGH) ;
711     EEPROM.write (addr, 4) ;
713     aux = aux+1 ;
715     delay (tempo) ;
717     }
719     pagina () ;
721     if (aux==100){
723         voltar () ;
        break ;
    }
    pagina () ;
    if (readString.indexOf("parar") >0){
```

```
725     desligar ();
727
729     }
731
733     else {
735         digitalWrite (6, HIGH);
737         digitalWrite (7, HIGH);
739         digitalWrite (8, LOW);
741         digitalWrite (9, LOW);
743         EEPROM.write (addr, 1);
745         aux = aux+1;
747         delay (tempo);
749     }
751
753     pagina ();
755
757     if (aux==100){
759         voltar ();
761         break;
763     }
765
767     pagina ();
769
771     if (readString.indexOf("parar") >0 || statePin5==HIGH){
773         desligar ();
775     }
777
779     else {
781         digitalWrite (6, LOW);
783         digitalWrite (7, HIGH);
785         digitalWrite (8, HIGH);
787         digitalWrite (9, LOW);
789         EEPROM.write (addr, 2);
791         aux = aux+1;
793         delay (tempo);
```

```
769     }
771     pagina();
773 }
775 if (value == 3) {
777     digitalWrite(6, HIGH);
778     digitalWrite(7, LOW);
779     digitalWrite(8, LOW);
780     digitalWrite(9, HIGH);
781     EEPROM.write(addr, 4);
782     aux = aux+1;
783     delay(tempo);
785     pagina();
787     if (aux==100){
789         voltar();
790         break;
791     }
793     pagina();
795     if(readString.indexOf("parar") >0){
797         desligar();
799     }
801     else {
803         digitalWrite(6, HIGH);
804         digitalWrite(7, HIGH);
805         digitalWrite(8, LOW);
806         digitalWrite(9, LOW);
807         EEPROM.write(addr, 1);
808         aux = aux+1;
809         delay(tempo);
```

```
811     }
813     pagina ();
815     if (aux==100){
817         voltar ();
819         break;
821     }
823     pagina ();
825     if (readString.indexOf("parar") >0){
827         desligar ();
829     }
831     else {
833         digitalWrite (6, LOW);
835         digitalWrite (7, HIGH);
837         digitalWrite (8, HIGH);
839         digitalWrite (9, LOW);
841         EEPROM.write (addr, 2);
843         aux = aux+1;
845         delay (tempo);
847     }
849     pagina ();
851     if (aux==100){
853         voltar ();
855         break;
857     }
859     pagina ();
```

```
855     if (readString.indexOf("parar") >0){
857         desligar();
859     }
861     else {
863         digitalWrite(6, LOW);
865         digitalWrite(7, LOW);
867         digitalWrite(8, HIGH);
869         digitalWrite(9, HIGH);
871         EEPROM.write(addr, 3);
873         aux = aux+1;
875         delay(tempo);
877     }
879     pagina();
881 }
883     if (value == 4) {
885         digitalWrite(6, HIGH);
887         digitalWrite(7, HIGH);
889         digitalWrite(8, LOW);
891         digitalWrite(9, LOW);
893         EEPROM.write(addr, 1);
895         aux = aux+1;
897         delay(tempo);
899         pagina();
901     if (aux==100){
903         voltar();
905         break;
907     }
909     pagina();
```

```
897     if(readString.indexOf("parar") >0){
899         desligar();
901     }
903     else {
905         digitalWrite(6, LOW);
906         digitalWrite(7, HIGH);
907         digitalWrite(8, HIGH);
908         digitalWrite(9, LOW);
909         EEPROM.write(addr, 2);
910         aux = aux+1;
911         delay(tempo);
913     }
915     pagina();
917     if(aux==100){
919         voltar();
920         break;
921     }
923     pagina();
925     if(readString.indexOf("parar") >0){
927         desligar();
929     }
931     else {
933         digitalWrite(6, LOW);
934         digitalWrite(7, LOW);
935         digitalWrite(8, HIGH);
936         digitalWrite(9, HIGH);
937         EEPROM.write(addr, 3);
938         aux = aux+1;
```

```
    delay ( tempo );
941 }
943
945 pagina ( ) ;
947
949 if ( aux==100){
951     voltar ( ) ;
953     break ;
955 }
957
959 pagina ( ) ;
961
963 if ( readString.indexOf( " parar " ) >0){
965     desligar ( ) ;
967 }
969
971 else {
973     digitalWrite ( 6 , HIGH ) ;
975     digitalWrite ( 7 , LOW ) ;
977     digitalWrite ( 8 , LOW ) ;
979     digitalWrite ( 9 , HIGH ) ;
981     EEPROM.write ( addr , 4 ) ;
    aux = aux+1 ;
    delay ( tempo ) ;
}
```

```
983 void automaticoah () {
985     while (readString.indexOf("autahon") >0 && aux<101){
987         value = EEPROM.read(addr);
989         if (value == 1) {
991             digitalWrite(6, HIGH);
992             digitalWrite(7, LOW);
993             digitalWrite(8, LOW);
994             digitalWrite(9, HIGH);
995             EEPROM.write(addr, 4);
996             aux = aux+1;
997             delay(tempo);
999             if(aux==100){
1001                 voltar2();
1002                 break;
1003             }
1005             pagina();
1007             if(readString.indexOf("parar") >0){
1009                 desligar();
1011             }
1013             else {
1015                 digitalWrite(6, LOW);
1016                 digitalWrite(7, LOW);
1017                 digitalWrite(8, HIGH);
1018                 digitalWrite(9, HIGH);
1019                 EEPROM.write(addr, 3);
1020                 aux = aux+1;
1021                 delay(tempo);
1023             }
1025 }
```



```
1027     if (aux==100){
1029         voltar2 ();
1031         break;
1033     }
1035     pagina ();
1037     if(readString.indexOf("parar") >0){
1039         desligar ();
1041     }
1043     digitalWrite(6, LOW);
1045     digitalWrite(7, HIGH);
1047     digitalWrite(8, HIGH);
1049     digitalWrite(9, LOW);
1051     EEPROM.write(addr, 2);
1053     aux = aux+1;
1055     delay(tempo);
1057 }
1059 pagina ();
1061 if (readString.indexOf("parar") >0){
1063     desligar ();
1065 }
1067 else {
```

```
1069     digitalWrite(6, HIGH);
1071     digitalWrite(7, HIGH);
1073     digitalWrite(8, LOW);
1075     digitalWrite(9, LOW);
1077     EEPROM.write(addr, 1);
1079     aux = aux+1;
1081     delay(tempo);
1083 }
1085
1087     pagina();
1089 }
1091
1093     if (value == 2) {
1095         digitalWrite(6, HIGH);
1097         digitalWrite(7, HIGH);
1099         digitalWrite(8, LOW);
1101         digitalWrite(9, LOW);
1103         EEPROM.write(addr, 1);
1105         aux = aux+1;
1107         delay(tempo);
1109
1111         if (aux==100){
1113             voltar2();
1115             break;
1117         }
1119         pagina();
1121
1123         if(readString.indexOf("parar") >0){
1125             desligar();
1127         }
1129
1131         else {
1133             digitalWrite(6, HIGH);
```

```
digitalWrite(7, LOW);
1113 digitalWrite(8, LOW);
digitalWrite(9, HIGH);
1115 EEPROM.write(addr, 4);
aux = aux+1;
1117 delay(tempo);

}
1119

if(aux==100){
1121

    voltar2();
    break;
1123
}
1125

pagina();
1127

if(readString.indexOf("parar") >0){
1129

    desligar();
1131
}
1133

else {
1135

digitalWrite(6, LOW);
1137 digitalWrite(7, LOW);
digitalWrite(8, HIGH);
1139 digitalWrite(9, HIGH);
EEPROM.write(addr, 3);
1141 aux = aux+1;
delay(tempo);
1143
}
1145

if(aux==100){
1147

    voltar2();
    break;
1149
}
1151
}
1153
```

```
1155     pagina ();
1157     if (readString.indexOf("parar") >0){
1159         desligar ();
1161     }
1163     else {
1165         digitalWrite (6, LOW);
1166         digitalWrite (7, HIGH);
1167         digitalWrite (8, HIGH);
1168         digitalWrite (9, LOW);
1169         EEPROM.write (addr, 2);
1170         aux = aux+1;
1171         delay (tempo);
1173     }
1175     pagina ();
1177 }
1179 if (value == 3) {
1181     digitalWrite (6, LOW);
1182     digitalWrite (7, HIGH);
1183     digitalWrite (8, HIGH);
1184     digitalWrite (9, LOW);
1185     EEPROM.write (addr, 2);
1186     aux = aux+1;
1187     delay (tempo);
1189     if (aux==100){
1191         voltar2 ();
1192         break;
1193     }
1195     pagina ();
1197 }
```

```
1199     if (readString.indexOf("parar") >0){
1201         desligar();
1203     }
1205     else {
1207         digitalWrite(6, HIGH);
1209         digitalWrite(7, HIGH);
1211         digitalWrite(8, LOW);
1213         digitalWrite(9, LOW);
1215         EEPROM.write(addr, 1);
1217         aux = aux+1;
1219         delay(tempo);
1221     }
1223     if (aux==100){
1225         voltar2();
1227         break;
1229     }
1231     pagina();
1233     if (readString.indexOf("parar") >0){
1235         desligar();
1237     }
1239     else {
1241         digitalWrite(6, HIGH);
1243         digitalWrite(7, LOW);
1245         digitalWrite(8, LOW);
1247         digitalWrite(9, HIGH);
1249         EEPROM.write(addr, 4);
1251         aux = aux+1;
1253         delay(tempo);
```

```
1241     }
1243     if (aux==100){
1245         voltar2 ();
1246         break;
1247     }
1249     pagina ();
1251     if (readString.indexOf("parar") >0){
1253         desligar ();
1255     }
1257     else {
1259         digitalWrite (6, LOW);
1261         digitalWrite (7, LOW);
1262         digitalWrite (8, HIGH);
1263         digitalWrite (9, HIGH);
1264         EEPROM.write (addr, 3);
1265         aux = aux+1;
1266         delay (tempo);
1267     }
1269     pagina ();
1271 }
1273 if (value == 4) {
1275     digitalWrite (6, LOW);
1276     digitalWrite (7, LOW);
1277     digitalWrite (8, HIGH);
1278     digitalWrite (9, HIGH);
1279     EEPROM.write (addr, 3);
1280     aux = aux+1;
1281     delay (tempo);
1283 }
```

```
1285     if (aux==100){
1287         voltar2 ();
1289         break;
1291     }
1293     pagina ();
1295     if(readString.indexOf("parar") >0){
1297         desligar ();
1299     }
1301     digitalWrite(6, LOW);
1303     digitalWrite(7, HIGH);
1305     digitalWrite(8, HIGH);
1307     digitalWrite(9, LOW);
1309     EEPROM.write(addr, 2);
1311     aux = aux+1;
1313     delay(tempo);
1315 }
1317 if (aux==100){
1319     voltar2 ();
1321     break;
1323 }
1325     pagina ();
1327     if(readString.indexOf("parar") >0){
1329         desligar ();
1331     }
1333 }
1335     else {
```

```
1327     digitalWrite (6, HIGH);
1329     digitalWrite (7, HIGH);
1331     digitalWrite (8, LOW);
1333     digitalWrite (9, LOW);
1335     EEPROM.write (addr, 1);
1337     aux = aux+1;
1339     delay (tempo);
1341 }
1343
1345 if (aux==100){
1347     voltar2 ();
1349     break;
1351 }
1353
1355 pagina ();
1357
1359 if (readString.indexOf ("parar") >0){
1361     desligar ();
1363 }
1365
1367 else {
1369     digitalWrite (6, HIGH);
1371     digitalWrite (7, LOW);
1373     digitalWrite (8, LOW);
1375     digitalWrite (9, HIGH);
1377     EEPROM.write (addr, 4);
1379     aux = aux+1;
1381     delay (tempo);
1383 }
1385
1387 pagina ();
1389 }
```





```
1409     client.println(F("<h4>Bobina 1</h4>"));
1411     client.println(F("<a href=\\\"/?bobina1on\\\" target=\\\"inlineframe\\\">ON</a>"));
1413     client.println(F("<a href=\\\"/?bobina1off\\\" target=\\\"inlineframe\\\">OFF</a>"));
1415     client.println(F("<h4>Bobina 2</h4>"));
1417     client.println(F("<a href=\\\"/?bobina2on\\\" target=\\\"inlineframe\\\">ON</a>"));
1419     client.println(F("<a href=\\\"/?bobina2off\\\" target=\\\"inlineframe\\\">OFF</a>"));
1421     client.println(F("<h4>Bobina 3</h4>"));
1423     client.println(F("<a href=\\\"/?bobina3on\\\" target=\\\"inlineframe\\\">ON</a>"));
1425     client.println(F("<a href=\\\"/?bobina3off\\\" target=\\\"inlineframe\\\">OFF</a>"));
1427     client.println(F("<h4>Bobina 4</h4>"));
1429     client.println(F("<a href=\\\"/?bobina4on\\\" target=\\\"inlineframe\\\">ON</a>"));
1431     client.println(F("<a href=\\\"/?bobina4off\\\" target=\\\"inlineframe\\\">OFF</a>"));
1433     client.print(F("<BR>"));
1435     client.println(F("<h4>Girar Passo-a-Passo</h4>"));
1437     client.println(F("<a href=\\\"/?direita\\\" target=\\\"inlineframe\\\">Direita</a>"));
1439     client.println(F("<a href=\\\"/?esquerda\\\" target=\\\"inlineframe\\\">Esquerda</a>"));
1441     client.println(F("<h4>Controle</h4>"));
1443     client.println(F("<a href=\\\"/?calibrar\\\" target=\\\"inlineframe\\\">Calibrar</a>"));
1445     client.print(F("<BR>"));
1447     client.print(F("<BR>"));
1449     client.println(F("<a href=\\\"/?authon\\\" target=\\\"inlineframe\\\">Girar a direita</a>"));
1451     client.print(F("<BR>"));
1453     client.print(F("<BR>"));
```

```
1439     client.println(F(" <a href=?/?autahon? target=?inlineframe?>Girar
a esquerda</a>"));
    client.print(F("<BR>"));
1441     client.print(F("<BR>"));
    client.println(F(" <a href=?/?voltar? target=?inlineframe?>Voltar
AH</a>"));
1443     client.print(F("<BR>"));
    client.print(F("<BR>"));
1445     client.println(F(" <a href=?/?back? target=?inlineframe?>Voltar H
</a>"));
    client.print(F("<BR>"));
1447     client.print(F("<BR>"));
    client.println(F(" <a href=?/?parar? target=?inlineframe?>Parar</a
>"));
1449     client.println(F("</center>"));

    client.print(F("<BR>"));

1453     client.print(F("<center><h4>Temperatura do Sistema: </h4> <font size
=7> <font color=?#ff6600?>  "));
    client.print(temperatura);
1455     client.print(F("&#186;C </font></font></center>"));
    client.print(F("<BR>"));
1457     client.println("<video id=video src=http://10.2.6.176/desktop.ogg
type=video/ogg; codecs=theora autoplay=autoplay>");
    client.println(F("<IFRAME name=inlineframe style=?display:none? >")
);
1459     client.println(F("</IFRAME>"));
    client.println(F("</BODY>"));
1461     client.println(F("</HTML>"));

1463     delay(1);
    client.stop();

1465     }

1467     }

1469     }

1471     }
}

1473
```

```
1475 void desligar () {
1477     digitalWrite (6, LOW);
1479     digitalWrite (7, LOW);
1481     digitalWrite (8, LOW);
1483     digitalWrite (9, LOW);
1485     desliga = true;
1487     readString="";
1489     readString="";
1491 }
1493 void voltar () {
1495     desliga = false;
1497     aux = 0;
1499     statePin5=digitalRead (5);
1501     while (desliga==false && statePin5==LOW) {
1503         value = EEPROM.read (addr);
1505         if (value == 1) {
1507             digitalWrite (6, HIGH);
1509             digitalWrite (7, LOW);
1511             digitalWrite (8, LOW);
1513             digitalWrite (9, HIGH);
1515             EEPROM.write (addr, 4);
1517             delay (tempo2);
1519             pagina ();
1521             statePin5=digitalRead (5);
1523             if (readString.indexOf ("parar") >0 || statePin5==HIGH) {
1525                 desligar ();
1527                 break;
1529             }
1531         }
1533     }
```

```
1519     else {
1520
1521         digitalWrite(6, LOW);
1522         digitalWrite(7, LOW);
1523         digitalWrite(8, HIGH);
1524         digitalWrite(9, HIGH);
1525         EEPROM.write(addr, 3);
1526         delay(tempo2);
1527     }
1528
1529     pagina();
1530
1531     statePin5=digitalRead(5);
1532
1533     if(readString.indexOf("parar") >0 || statePin5==HIGH){
1534
1535         desligar();
1536         break;
1537     }
1538
1539     else {
1540
1541         digitalWrite(6, LOW);
1542         digitalWrite(7, HIGH);
1543         digitalWrite(8, HIGH);
1544         digitalWrite(9, LOW);
1545         EEPROM.write(addr, 2);
1546         delay(tempo2);
1547     }
1548
1549     pagina();
1550
1551     statePin5=digitalRead(5);
1552
1553     if(readString.indexOf("parar") >0 || statePin5==HIGH){
1554
1555         desligar();
1556         break;
1557     }
1558
1559 }
```

```
1561     else {
1563         digitalWrite(6, HIGH);
1565         digitalWrite(7, HIGH);
1567         digitalWrite(8, LOW);
1569         digitalWrite(9, LOW);
1571         EEPROM.write(addr, 1);
1573         delay(tempo2);
1575     }
1577     pagina();
1579     statePin5=digitalRead(5);
1581 }
1583 if (value == 2){
1585     digitalWrite(6, HIGH);
1587     digitalWrite(7, HIGH);
1589     digitalWrite(8, LOW);
1591     digitalWrite(9, LOW);
1593     EEPROM.write(addr, 1);
1595     delay(tempo2);
1597     pagina();
1599     statePin5=digitalRead(5);
1601     if(readString.indexOf("parar") >0 || statePin5==HIGH){
1603         desligar();
1605         break;
1607     }
1609     else {
1611         digitalWrite(6, HIGH);
1613         digitalWrite(7, LOW);
1615         digitalWrite(8, LOW);
1617         digitalWrite(9, HIGH);
```

```
1605 EEPROM.write(addr, 4);
      delay(tempo2);
1607 }
1609 pagina();
1611 statePin5=digitalRead(5);
1613 if(readString.indexOf("parar") >0 || statePin5==HIGH){
1615     desligar();
      break;
1617 }
1619 else {
1621     digitalWrite(6, LOW);
1623     digitalWrite(7, LOW);
1625     digitalWrite(8, HIGH);
1627     digitalWrite(9, HIGH);
      EEPROM.write(addr, 3);
      delay(tempo2);
1629 }
1631 pagina();
1633 statePin5=digitalRead(5);
1635 if(readString.indexOf("parar") >0 || statePin5==HIGH){
1637     desligar();
      break;
1639 }
1641 else {
1643     digitalWrite(6, LOW);
1645     digitalWrite(7, HIGH);
      digitalWrite(8, HIGH);
```

```
1647     digitalWrite(9, LOW);
1648     EEPROM.write(addr, 2);
1649     delay(tempo2);
1650
1651 }
1652
1653 pagina();
1654 statePin5=digitalRead(5);
1655
1656 }
1657
1658 if (value == 3){
1659
1660     digitalWrite(6, LOW);
1661     digitalWrite(7, HIGH);
1662     digitalWrite(8, HIGH);
1663     digitalWrite(9, LOW);
1664     EEPROM.write(addr, 2);
1665     delay(tempo2);
1666
1667     pagina();
1668
1669     statePin5=digitalRead(5);
1670
1671     if(readString.indexOf("parar") >0 || statePin5==HIGH){
1672
1673         desligar();
1674         break;
1675
1676     }
1677
1678     else {
1679
1680         digitalWrite(6, HIGH);
1681         digitalWrite(7, HIGH);
1682         digitalWrite(8, LOW);
1683         digitalWrite(9, LOW);
1684         EEPROM.write(addr, 1);
1685         delay(tempo2);
1686
1687     }
1688
1689     pagina();
```



```
1691 statePin5=digitalRead(5);
1693 if(readString.indexOf("parar") >0 || statePin5==HIGH){
1695     desligar();
1697     break;
1699 }
1701 else {
1703     digitalWrite(6, HIGH);
1705     digitalWrite(7, LOW);
1707     digitalWrite(8, LOW);
1709     digitalWrite(9, HIGH);
1711     EEPROM.write(addr, 4);
1713     delay(tempo2);
1715 }
1717 pagina();
1719 statePin5=digitalRead(5);
1721 if(readString.indexOf("parar") >0 || statePin5==HIGH){
1723     desligar();
1725     break;
1727 }
1729 else {
1731     digitalWrite(6, LOW);
1733     digitalWrite(7, LOW);
1735     digitalWrite(8, HIGH);
1737     digitalWrite(9, HIGH);
1739     EEPROM.write(addr, 3);
1741     delay(tempo2);
1743 }
```

```
1733     pagina();
1734     statePin5=digitalRead(5);
1735 }
1736
1737 if (value == 4){
1738
1739     digitalWrite(6, LOW);
1740     digitalWrite(7, LOW);
1741     digitalWrite(8, HIGH);
1742     digitalWrite(9, LOW);
1743     EEPROM.write(addr, 3);
1744     delay(tempo2);
1745
1746     pagina();
1747
1748     statePin5=digitalRead(5);
1749
1750     if(readString.indexOf("parar") >0 || statePin5==HIGH){
1751
1752         desligar();
1753         break;
1754     }
1755
1756     else {
1757
1758         digitalWrite(6, LOW);
1759         digitalWrite(7, HIGH);
1760         digitalWrite(8, HIGH);
1761         digitalWrite(9, LOW);
1762         EEPROM.write(addr, 2);
1763         delay(tempo2);
1764
1765     }
1766
1767     pagina();
1768
1769     statePin5=digitalRead(5);
1770
1771     if(readString.indexOf("parar") >0 || statePin5==HIGH){
1772
1773         desligar();
```

```
1777     break;
1779 }
1781 else {
1783     digitalWrite(6, HIGH);
1785     digitalWrite(7, HIGH);
1787     digitalWrite(8, LOW);
1789     digitalWrite(9, LOW);
1791     EEPROM.write(addr, 1);
1793     delay(tempo2);
1795 }
1797 pagina();
1799 statePin5=digitalRead(5);
1801 if(readString.indexOf("parar") >0 || statePin5==HIGH){
1803     desligar();
1805     break;
1807 }
1809 else {
1811     digitalWrite(6, HIGH);
1813     digitalWrite(7, LOW);
1815     digitalWrite(8, LOW);
1817     digitalWrite(9, HIGH);
1819     EEPROM.write(addr, 4);
1821     delay(tempo2);
1823 }
1825 pagina();
1827 statePin5=digitalRead(5);
1829 }
1831 pagina();
```

```
1819     statePin5=digitalRead(5);
1821 }
1823     desligar();
1825 }
1827 void voltar2(){
1829     desliga = false;
1830     aux = 0;
1831     statePin5=digitalRead(5);
1833     while(statePin5==LOW){
1835         value = EEPROM.read(addr);
1837         if (value == 1){
1839             digitalWrite(6, LOW);
1840             digitalWrite(7, HIGH);
1841             digitalWrite(8, HIGH);
1842             digitalWrite(9, LOW);
1843             EEPROM.write(addr, 2);
1844             delay(tempo);
1845
1846             pagina();
1847
1848             statePin5=digitalRead(5);
1849
1850             if(readString.indexOf("parar") >0 || statePin5==HIGH){
1851
1852                 desligar();
1853                 break;
1854
1855             }
1856
1857             else {
1858
1859                 digitalWrite(6, LOW);
1860                 digitalWrite(7, LOW);
1861                 digitalWrite(8, HIGH);
```

```
digitalWrite(9, HIGH);
1863 EEPROM.write(addr, 3);
delay(tempo2);
1865
}
1867
pagina();
1869
statePin5=digitalRead(5);
1871
if(readString.indexOf("parar") >0 || statePin5==HIGH){
1873
    desligar();
1875    break;
1877
}
1879
else {
1881
    digitalWrite(6, HIGH);
    digitalWrite(7, LOW);
1883    digitalWrite(8, LOW);
    digitalWrite(9, HIGH);
1885    EEPROM.write(addr, 4);
    delay(tempo2);
1887
}
1889
pagina();
1891
statePin5=digitalRead(5);
1893
if(readString.indexOf("parar") >0 || statePin5==HIGH){
1895
    desligar();
    break;
1897
}
1899
else {
1901
    digitalWrite(6, HIGH);
1903    digitalWrite(7, HIGH);
    digitalWrite(8, LOW);
```

```
1905     digitalWrite(9, LOW);
1906     EEPROM.write(addr, 1);
1907     delay(tempo2);
1908
1909 }
1910
1911 pagina();
1912 statePin5=digitalRead(5);
1913
1914 }
1915
1916
1917 if (value == 2){
1918
1919     digitalWrite(6, LOW);
1920     digitalWrite(7, LOW);
1921     digitalWrite(8, HIGH);
1922     digitalWrite(9, HIGH);
1923     EEPROM.write(addr, 3);
1924     delay(tempo2);
1925
1926     pagina();
1927
1928     statePin5=digitalRead(5);
1929
1930     if(readString.indexOf("parar") >0 || statePin5==HIGH){
1931
1932         desligar();
1933         break;
1934
1935     }
1936
1937     else {
1938
1939         digitalWrite(6, HIGH);
1940         digitalWrite(7, LOW);
1941         digitalWrite(8, LOW);
1942         digitalWrite(9, HIGH);
1943         EEPROM.write(addr, 4);
1944         delay(tempo2);
1945
1946     }
1947 }
```

```
1949   pagina();
1951   statePin5=digitalRead(5);
1953   if(readString.indexOf("parar") >0 || statePin5==HIGH){
1955       desligar();
1957       break;
1959   }
1961   else {
1963       digitalWrite(6, HIGH);
1965       digitalWrite(7, HIGH);
1967       digitalWrite(8, LOW);
1969       digitalWrite(9, LOW);
1971       EEPROM.write(addr, 1);
1973       delay(tempo2);
1975   }
1977   pagina();
1979   statePin5=digitalRead(5);
1981   if(readString.indexOf("parar") >0 || statePin5==HIGH){
1983       desligar();
1985       break;
1987   }
1989   else {
1991       digitalWrite(6, LOW);
1993       digitalWrite(7, HIGH);
1995       digitalWrite(8, HIGH);
1997       digitalWrite(9, LOW);
1999       EEPROM.write(addr, 2);
2001       delay(tempo2);
2003   }
```

```
1991     pagina();
1993     statePin5=digitalRead(5);
1995 }
1997 if (value == 3){
1999     digitalWrite(6, HIGH);
2001     digitalWrite(7, LOW);
2003     digitalWrite(8, LOW);
2005     digitalWrite(9, HIGH);
2007     EEPROM.write(addr, 4);
2009     delay(tempo2);
2011     pagina();
2013     statePin5=digitalRead(5);
2015     if(readString.indexOf("parar") >0 || statePin5==HIGH){
2017         desligar();
2019         break;
2021     }
2023     else {
2025         digitalWrite(6, HIGH);
2027         digitalWrite(7, HIGH);
2029         digitalWrite(8, LOW);
2031         digitalWrite(9, LOW);
2033         EEPROM.write(addr, 1);
        delay(tempo2);
    }
    pagina();
    statePin5=digitalRead(5);
    if(readString.indexOf("parar") >0 || statePin5==HIGH){
```



```
    desligar();
2035    break;

2037 }

2039 else {

2041     digitalWrite(6, LOW);
2042     digitalWrite(7, HIGH);
2043     digitalWrite(8, HIGH);
2044     digitalWrite(9, LOW);
2045     EEPROM.write(addr, 2);
2046     delay(tempo2);
2047 }

2049 pagina();

2051 statePin5=digitalRead(5);

2053 if(readString.indexOf("parar") >0 || statePin5==HIGH){

2055     desligar();
2056     break;

2059 }

2061 else {

2063     digitalWrite(6, LOW);
2064     digitalWrite(7, LOW);
2065     digitalWrite(8, HIGH);
2066     digitalWrite(9, HIGH);
2067     EEPROM.write(addr, 3);
2068     delay(tempo2);
2069 }

2071 pagina();

2073 statePin5=digitalRead(5);

2075 }
```

```
2077  if (value == 4){
2079      digitalWrite(6, HIGH);
2081      digitalWrite(7, HIGH);
2083      digitalWrite(8, LOW);
2085      digitalWrite(9, LOW);
2087      EEPROM.write(addr, 1);
2089      delay(tempo2);
2091
2093      pagina();
2095
2097      statePin5=digitalRead(5);
2099
2101      if(readString.indexOf("parar") >0 || statePin5==HIGH){
2103          desligar();
2105          break;
2107      }
2109
2111      else {
2113          digitalWrite(6, LOW);
2115          digitalWrite(7, HIGH);
2117          digitalWrite(8, HIGH);
2119          digitalWrite(9, LOW);
2121          EEPROM.write(addr, 2);
2123          delay(tempo2);
2125      }
2127
2129      pagina();
2131
2133      statePin5=digitalRead(5);
2135
2137      if(readString.indexOf("parar") >0 || statePin5==HIGH){
2139          desligar();
2141          break;
2143      }
2145
2147      else {
```

```
2121     digitalWrite(6, LOW);
2122     digitalWrite(7, LOW);
2123     digitalWrite(8, HIGH);
2124     digitalWrite(9, HIGH);
2125     EEPROM.write(addr, 3);
2126     delay(tempo2);
2127
2128 }
2129
2130 pagina();
2131
2132 statePin5=digitalRead(5);
2133
2134 if(readString.indexOf("parar") >0 || statePin5==HIGH){
2135
2136     desligar();
2137     break;
2138
2139 }
2140
2141 else {
2142
2143     digitalWrite(6, HIGH);
2144     digitalWrite(7, LOW);
2145     digitalWrite(8, LOW);
2146     digitalWrite(9, HIGH);
2147     EEPROM.write(addr, 4);
2148     delay(tempo2);
2149
2150 }
2151
2152 pagina();
2153 statePin5=digitalRead(5);
2154
2155 }
2156
2157 pagina();
2158 statePin5=digitalRead(5);
2159
2160
2161 }
```

```
2163     desligar ();
2165 }
2167 void direita () {
2169     value = EEPROM.read (addr);
2171     if (value == 1) {
2173         digitalWrite (6, LOW);
2174         digitalWrite (7, HIGH);
2175         digitalWrite (8, HIGH);
2176         digitalWrite (9, LOW);
2177         EEPROM.write (addr, 2);
2178         delay (tempo);
2179
2180         pagina ();
2181
2182         statePin3=digitalRead (3);
2183         statePin5=digitalRead (5);
2184
2185         pagina ();
2186
2187         if (readString.indexOf ("parar") >0){
2188
2189             desligar ();
2190
2191         }
2192
2193     }
2194
2195     if (value == 2){
2196
2197         digitalWrite (6, LOW);
2198         digitalWrite (7, LOW);
2199         digitalWrite (8, HIGH);
2200         digitalWrite (9, HIGH);
2201         EEPROM.write (addr, 3);
2202         delay (tempo);
2203
2204         pagina ();
2205     }
```

```
statePin3=digitalRead(3);
2207 statePin5=digitalRead(5);

2209 pagina();

2211 if(readString.indexOf("parar") >0){
2213     desligar();
2215 }
2217 }

2219 if (value == 3){
2221     digitalWrite(6, HIGH);
2222     digitalWrite(7, LOW);
2223     digitalWrite(8, LOW);
2224     digitalWrite(9, HIGH);
2225     EEPROM.write(addr, 4);
2226     delay(tempo);
2227
2228     pagina();
2229
2230     statePin3=digitalRead(3);
2231     statePin5=digitalRead(5);
2232
2233     pagina();

2235     if(readString.indexOf("parar") >0){
2237         desligar();
2239     }
2241 }

2243 if (value == 4){
2245     digitalWrite(6, HIGH);
2246     digitalWrite(7, HIGH);
2247     digitalWrite(8, LOW);
2248     digitalWrite(9, LOW);
```

```
2249     EEPROM.write(addr, 1);
        delay(tempo);
2251
        pagina();
2253
        statePin3=digitalRead(3);
2255     statePin5=digitalRead(5);

2257     pagina();

2259     if(readString.indexOf("parar") >0){

2261         desligar();

2263     }

2265 }

2267 }

2269 void esquerda(){

2271     value = EEPROM.read(addr);

2273     if (value == 1) {

2275         digitalWrite(6, HIGH);
        digitalWrite(7, LOW);
2277         digitalWrite(8, LOW);
        digitalWrite(9, HIGH);
2279     EEPROM.write(addr, 4);
        delay(tempo);

2281
        pagina();
2283
        statePin3=digitalRead(3);
2285     statePin5=digitalRead(5);

2287     pagina();

2289     if(readString.indexOf("parar") >0){

2291         desligar();
```

```
2293     }
2295 }
2297 if (value == 2){
2299     digitalWrite(6, HIGH);
2301     digitalWrite(7, HIGH);
2303     digitalWrite(8, LOW);
2305     digitalWrite(9, LOW);
2307     EEPROM.write(addr, 1);
2309     delay(tempo);
2311     pagina();
2313     statePin3=digitalRead(3);
2315     statePin5=digitalRead(5);
2317     pagina();
2319     if(readString.indexOf("parar") >0){
2321         desligar();
2323     }
2325 }
2327 if (value == 3){
2329     digitalWrite(6, LOW);
2331     digitalWrite(7, HIGH);
2333     digitalWrite(8, HIGH);
2335     digitalWrite(9, LOW);
2337     EEPROM.write(addr, 2);
2339     delay(tempo);
2341     pagina();
2343     statePin3=digitalRead(3);
2345     statePin5=digitalRead(5);
```

```
2335     pagina ();
2337     if (readString.indexOf("parar") >0){
2339         desligar ();
2341     }
2343 }
2345 if (value == 4){
2347     digitalWrite (6, LOW);
2349     digitalWrite (7, LOW);
2349     digitalWrite (8, HIGH);
2351     digitalWrite (9, HIGH);
2351     EEPROM.write (addr, 3);
2353     delay (tempo);
2355     pagina ();
2357     statePin3=digitalRead (3);
2359     statePin5=digitalRead (5);
2361     pagina ();
2363     if (readString.indexOf("parar") >0){
2365         desligar ();
2367     }
2369 }
```

postextuais/codigo\_arduino.ino